

JAERI-M

8729

ROSA-Ⅲ実験RUN704の実験解析

1980年3月

菊池 治<sup>\*</sup>・小泉 安郎・早田 邦久・田坂 完二

日本原子力研究所  
Japan Atomic Energy Research Institute

この報告書は、日本原子力研究所が JAERI-M レポートとして、不定期に刊行している研究報告書です。入手、複製などのお問合せは、日本原子力研究所技術情報部（茨城県那珂郡東海村）あて、お申しこしください。

JAERI-M reports, issued irregularly, describe the results of research works carried out in JAERI. Inquiries about the availability of reports and their reproduction should be addressed to Division of Technical Information, Japan Atomic Energy Research Institute, Tokai-mura, Naka-gun, Ibaraki-ken, Japan.

### ROSA-III 実験 RUN 704 の実験解析

日本原子力研究所東海研究所安全工学部

菊池 治<sup>\*</sup>・小泉 安郎

早田 邦久・田坂 完二

(1980年1月30日受理)

ROSA-III 計画の目的は、沸騰水型原子炉の冷却材喪失事故を実験的に模擬し、現象の解明および安全解析コードの評価と改良を行なうことである。本報では、Run 704 実験の実験後解析について述べる。

Run 704 は、再循環ポンプ吸込側配管の両端破断を模擬し、緊急炉心冷却系をすべて作動させた実験である。ポンプ側と炉容器側の破断時期に 2 秒のずれがあったが、それ以外はほぼ予定通りの実験条件であった。

RELAP4 J コードによる実験後解析で、系圧力変化については実験とほぼ一致する結果を得た。しかし、気水分離モデルが不十分のため、炉心内気水分布は正しく表現されず、したがってヒータ表面温度分布は実験結果と相異する。これは、これまでの ROSA-III 実験後解析の結果と同様である。

今後の課題として、特性測定の面からは各部抵抗係数・ポンプ特性を実測してこれを計算の入力とすること、実験の面からはバイパス域・上部プレナム等の温度分布・水位を測定すること、および炉心入口・主蒸気・破断流等の重要な流量を確実に測定すること、さらに計算の面では気水分離モデルを改良することが重要である。

\* 東京芝浦電気株式会社

Post-Test Analysis of ROSA-III Run 704

Osamu KIKUCHI\*, Yasuo KOIZUMI, Kunihisa SODA and Kanji TASAKA

Division of Reactor Safety

Tokai Research Establishment, JAERI

(Received January 30, 1980)

Purposss of the ROSA-III program are to clarify phenomera in a loss-of-coolant accident of BWR and to evaluate and improve safety analysis code by integral simulation tests. This report describes post-test analysis of Run 704.

Run 704 simulated a double-ended break in the main recirculation pump suction line with the whole emergency core cooling system activation. The actual test conditions were the same as those specified except a two seconds delay in the two breaks.

Post-test analysis using RELAP4J code gave a transient system pressure close to that measured. However, the phase description in the core is not expressed properly in the analysis due to the insufficient phase separation model. The calculated heater surface temperature profile is thus different from that measured, similarly to other ROSA-III post-test analysis made so far.

Problems for the future are measurement of flow resistance coefficients and pump characteristics for code inputs and improvement of the phase separation model.

Keywords : Post-Test Analysis, Double-Ended Break, Recirculation Line, BWR, LOCA, ROSA-III Facility, ECCS, RELAP4J Code, Thermal-Hydraulic Behavior, System Pressure, Heater Surface Temperature.

---

\* Toshiba Corporation

## 目 次

1 諸 言 .....	1
2 実験装置および実験条件 .....	2
2.1 実験装置 .....	2
2.2 実験条件 .....	3
3 解析条件 .....	20
3.1 ノード分割 .....	20
3.2 初期条件 .....	20
3.3 破断条件 .....	20
3.4 炉心出力 .....	21
3.5 給水とECCS .....	21
3.6 ポンプ特性 .....	21
3.7 臨界流モデル .....	21
3.8 主蒸気 .....	21
3.9 抵抗係数 .....	21
3.10 気水分離モデル .....	22
3.11 時間ステップ .....	22
4 結 果 .....	35
4.1 系圧力 .....	35
4.2 ダウンカマ水位 .....	35
4.3 破断ループ .....	36
4.4 健全ループ .....	37
4.5 シュラウド内部 .....	38
5 結 言 .....	63
謝 辞 .....	64
参考文献 .....	64
付録A ケース2 .....	65
付録B ケース3 .....	82
付録C ケース1の入力リスト .....	97
付録D ケース3の入力リスト .....	102

## CONTENTS

1.	INTRODUCTION -----	1
2.	TEST FACILITY AND TEST CONDITIONS -----	2
2.1	Test Facility -----	2
2.2	Test Conditions -----	3
3.	Calculation Conditions -----	20
3.1	Nodalization -----	20
3.2	Initial Condition -----	20
3.3	Break Condition -----	20
3.4	Core Power -----	21
3.5	Feed Water and ECCS -----	21
3.6	Pump Characteristics -----	21
3.7	Critical Flow Model -----	21
3.8	Main Steam -----	21
3.9	Flow Resistance Coefficient -----	21
3.10	Phase Separation Model -----	22
3.11	Time Step -----	22
4.	RESULTS -----	35
4.1	System Pressure -----	35
4.2	Downcomer Mixture Level -----	35
4.3	Broken Loop -----	36
4.4	Intact Loop -----	37
4.5	Inside Shroud -----	38
5.	CONCLUSIONS -----	63
	ACKNOWLEDGEMENT -----	64
	REFERENCES -----	64
	APPENDIX A Case 2 -----	65
	APPENDIX B Case 3 -----	82
	APPENDIX C Input List of Case 1 -----	97
	APPENDIX D Input List of Case 3 -----	102

## LIST OF TABLES

Table 2.1	Primary Characteristics of BWR6 and ROSA-III -----	9
Table 2.2	Comparison of Heater Assemblies 1 and 2 -----	15
Table 2.3	Test Condition -----	17
Table 3.1	Comparison of Calculation Conditions -----	23
Table 3.2	Description of Volumes -----	27
Table 3.3	Description of Junctions -----	28
Table 3.4	Description of Heat Slabs -----	30

## LIST OF FIGURES

Fig.2.1	Schematic Drawing of ROSA-III Test Facility -----	4
Fig.2.2	Flow Diagram and Instrumentation Location of ROSA-III Facility -----	5
Fig.2.3	Instrumentation in the ROSA-III Pressure Vessel -----	7
Fig.2.4	Thermocouple Locations Around Upper Tie Plate -----	8
Fig.2.5	Axial Power Distribution of Heater Rod -----	14
Fig.2.6	ROSA-III Upper Plenum and Separator -----	16
Fig.2.7	Power Transient -----	19
Fig.3.1	Node and Junction Representation of ROSA-III -----	25
Fig.3.2	Core Nodalization -----	32
Fig.3.3	Measured Feed Water Flow Rates -----	33
Fig.3.4	Measured ECCS Injection Rate -----	33
Fig.3.5	Assumed Main Steam Flow Rate -----	34
Fig.4.1	Steam Dome Pressure, Case 1 -----	43
Fig.4.2	Calculated Mixture Levels in Downcomer, Case 1 -----	43
Fig.4.3	Calculated Downcomer Mixture Level and Measured Downcomer Head, Case 1 -----	44
Fig.4.4	Measured Broken Loop Pressure, Vessel Side -----	44
Fig.4.5	Measured Broken Loop Pressure, Pump Side -----	45
Fig.4.6	Calculated Broken Loop Pressure, Case 1 -----	45
Fig.4.7	Calculated Vessel Side Brak Flow, Case 1 -----	46
Fig.4.8	Calculated Pump Side Brak Flow, Case 1 -----	46
Fig.4.9	Broken Loop Recirculation Pump Speed, Case 1 -----	47

Fig.4.10	Broken Loop Recirculation Pump Head, Case 1 -----	47
Fig.4.11	Broken Loop Jet Pump Drive-Suction Differential Pressure, Case 1 -----	48
Fig.4.12	Broken Loop Jet Pump Discharge-Suction Differential Pressure, Case 1 -----	48
Fig.4.13	Calculated Broken Loop Jet Pump Flow Rates, Case 1 ----	49
Fig.4.14	Intact Loop Recirculation Pump Speed, Case 1 -----	49
Fig.4.15	Intact Loop Recirculation Pump Head, Case 1 -----	50
Fig.4.16	Intact Loop Jet Pump Drive-Suction Differential Pressure, Case 1 -----	50
Fig.4.17	Intact Loop Jet Pump Discharge-Suction Differential Pressure, Case 1 -----	51
Fig.4.18	Calculated Intact Loop Jet Pump Flow Rates, Case 1 ----	51
Fig.4.19	Measured Lower Plenum Temperatures -----	52
Fig.4.20	Calculated Lower Plenum Temperatures, Case 1 -----	52
Fig.4.21	Differential Pressure Between Lower Plenum and Upper Plenum, Case 1 -----	53
Fig.4.23	Differential Pressure Between Upper Plenum and Steam Dome, Case 1 -----	54
Fig.4.24	Differential Pressure Between Lower Plenum and Steam Dome, Case 1 -----	54
Fig.4.25	Measured Mixture Levels in Shroud -----	55
Fig.4.26	Raw Data of Level Probes in Core -----	56
Fig.4.27	Calculated Mixture Levels in Lower Plenum, Case 1 ----	57
Fig.4.28	Calculated Qualities in Core, Case 1 -----	57
Fig.4.29	Measured Temperatures around Upper Tie Plate, Channel Central region -----	58
Fig.4.30	Measured Temperatares around Upper Tie Plate, Channel Peripheral region -----	58
Fig.4.31	Measured Heater Surface Temperatures on Rod A33 -----	59
Fig.4.32	Heater Surface Temperature at Position 2 (Above Center), Case 1 -----	59
Fig.4.33	Heater Surface Temperature at Position 4 (Center), Case 1 -----	60
Fig.4.34	Heater Surface Temperature at Position 6 (Below Center), Case 1 -----	60
Fig.4.35	Calculated Total Core Heat Transfer Rate, Case 1 -----	61
Fig.4.36	Calculated Masses in Upper Plenum and Separator,	

Case 1 -----	61
Fig.4.37 Calculated Masses in Bypass and Guide Tube, Case 1 -----	62
Fig.A.1 Steam Dome Pressure, Case 2 -----	68
Fig.A.2 Calculated Mixture Levels in Downcomer, Case 2 -----	68
Fig.A.3 Calculated Downcomer Mixture Level and Measured Downcomer Head, Case 2 -----	69
Fig.A.4 Calculated Broken Loop Pressure, Case 2 -----	69
Fig.A.5 Calculated Vessel Side Break Flow, Case 2 -----	70
Fig.A.6 Calculated Pump Side Break Flow, Case 2 -----	70
Fig.A.7 Broken Loop Recirculation Pump Head, Case 2 -----	71
Fig.A.8 Broken Loop Jet Pump Drive-Suction Differential Pressure, Case 2 -----	71
Fig.A.9 Broken Loop Jet Pump Discharge-Suction Differential Pressure, Case 2 -----	72
Fig.A.10 Calculated Broken Loop Jet Pump Flow Rates, Case 2 -----	72
Fig.A.11 Intact Loop Recirculation Pump Head , Case 2 -----	73
Fig.A.12 Intact Loop Jet Pump Drive-Suction Differential Pressure, Case 2 -----	73
Fig.A.13 Intact Loop Jet Pump Discharge-Suction Differential Pressure, Case 2 -----	74
Fig.A.14 Calculated Intact Loop Jet Pump Flow Rates, Case 2 -----	74
Fig.A.15 Calculated Lower Plenum Temperatures, Case 2 -----	75
Fig.A.16 Differential Pressure Between Lower Plenum and Upper Plenum, Case 2 -----	75
Fig.A.17 Calculated Core Inlet Flow Rate, Case 2 -----	76
Fig.A.18 Differential Pressure Between Upper Plenum and Steam Dome, Case 2 -----	76
Fig.A.19 Differential Pressure Between Lower Plenum and Steam Dome, Case 2 -----	77
Fig.A.20 Calculated Mixture Levels in Lower Plenum, Case 2 -----	77
Fig.A.21 Calculated Qualities in Core, Case 2 -----	78
Fig.A.22 Heater Surface Temperature at Position 2 (Above Center), Case 2 -----	78
Fig.A.23 Heater Surface Temperature at Position 4 (Center), Case 2 -----	79
Fig.A.24 Heater Surface Temperature at Position 6 (Below Center), Case 2 -----	79
Fig.A.25 Calculated Total Core Heat Transfer Rate, Case 2 -----	80

Fig.A.26	Calculated Total Masses in Upper Plenum and Separator, Case 2 -----	80
Fig.A.27	Calculated Total Masses in Bypass and Guide Tube Case 2 -----	81
Fig.A.28	Calculated Total Masses in Core, Case 2 -----	81
Fig.A.29	Calculated Total Masses in Lower Plenum, Case 2 -----	82
Fig.B.1	Steam Dome Pressure, Case 3 -----	84
Fig.B.2	Calculated Mixture Levels in Downcomer, Case 3 -----	84
Fig.B.3	Calculated Downcomer Mixture Level and Measured Head, Case 3 -----	85
Fig.B.4	Calculated Broken Loop Pressure, Case 3 -----	85
Fig.B.5	Calculated Vessel Side Break Flow, Case 3 -----	86
Fig.B.6	Calculated Pump Side Break Flow, Case 3 -----	86
Fig.B.7	Broken Loop Recirculation Pump Head, Case 3 -----	87
Fig.B.8	Broken Loop Jet Pump Drive-Suction Differential Pressure, Case 3 -----	87
Fig.B.9	Broken Loop Jet Pump Discharge-Suction Differential Pressure, Case 3 -----	88
Fig.B.10	Calculated Broken Loop Jet Pump Flow Rates, Case 3 -----	88
Fig.B.11	Intact Loop Recirculation Pump Head, Case 3 -----	89
Fig.B.12	Intact Loop Jet Pump Drive-Suction Differential Pressure, Case 3 -----	89
Fig.B.13	Intact Loop Jet Pump Discharge-Suction Differential Pressure, Case 3 -----	90
Fig.B.14	Calculated Intact Loop Jet Pump Flow Rates, Case 3 -----	90
Fig.B.15	Calculated Lower Plenum Temperatures, Case 3 -----	91
Fig.B.16	Differential Pressure Between Lower Plenum and Upper Plenum, Case 3 -----	91
Fig.B.17	Calculated Core Inlet Flow Rate, Case 3 -----	92
Fig.B.18	Differential Pressure Between Upper Plenum and Steam Dome, Case 3 -----	92
Fig.B.19	Differential Pressure Between Lower Plenum and Steam Dome, Case 3 -----	93
Fig.B.20	Calculated Mixture Levels in Lower Plenum, Case 3 -----	93
Fig.B.21	Calculated Qualities in Core, Case 3 -----	94
Fig.B.22	Heater Surface Temperature at Position 2 (Above Center), Case 3 -----	94
Fig.B.23	Heater Surface Temperature at Position 4 (Center),	

Case 3 -----	95
Fig.B.24 Heater Surface Temperature at Position 6 (Below Center), Case 3 -----	95
Fig.B.25 Calculated Total Core Heat Transfer Rate, Case 3 -----	96
Fig.B.26 Calculated Total Masses in Upper Plenum and Separator, Case 3 -----	96
Fig.B.27 Calculated Total Masses in Bypass and Guide Tube, Case 3 -----	97

## 1. 諸 言

軽水炉の緊急炉心冷却系（ECCS）は、一次系配管の破断による冷却材喪失事故（LOCA）を仮定しても、燃料表面温度を十分に低くおさえるように設計されている。

日本原子力研究所では、LOCA の伝熱流動現象を把握し、ECCS の性能を評価するための研究の一環として、ROSA-III 計画を進めている。ROSA-III (Rig of Safety Assessment-III) は、沸騰水型原子炉(BWR) の LOCA を模擬するための総合的実験装置である。

ROSA-III 計画の目的は、BWR の LOCA 時の伝熱流動現象を模擬実験を通して把握すること、この実験データを用いて LOCA 解析コードの評価を行なうこと、そして必要に応じて解析コードの改良ないし開発を行なうことである。

ROSA-III による総合実験は、昭和53年春開始以来現在までに11回行なわれ、データの検討と解析が進められている。これまでに、三つの実験 Run 701, 702, 703 に関して、RELAP4J コード<sup>(1)</sup>を使った実験後解析を行なった<sup>(2)(3)(4)</sup>。その結果、シュラウド内側にも気水分離モデルを適用すべきであること、またそれによって系圧力変化は実験と解析がほぼ一致すること、しかしそれでもヒータ表面温度の計算結果は実験結果とかなり相異することなどがわかった。

本報告では、これまでの解析結果をもとにして、Run 704 実験の解析を行ない、実験データとの比較・検討を行なう。Run 704 実験は、再循環ポンプ吸込側配管の 200%両端破断を模擬し、ECCS はすべて作動させるものであった。結果的に両端破断を模擬したこの二つの破断口の破断時期に 2 秒のずれがあったが、それ以外はほぼ予定通りの実験条件であった。この実験はこれまでの ROSA-III 実験のうちで、BWR 設計基準事故に最も近い条件で行なった標準的実験であり、その意味で特に重要である。

## 2. 実験装置および実験条件

### 2.1 実験装置

ROSA-III 実験装置の概略およびRun 704の場合の測定位置を図 2.1～2.4 に示す。基本的には、General Electric 社の BWR/6 251/848<sup>(5)</sup> を基にし、各部の体積を 1/424 に縮小してある。実炉と ROSA-III との各部の比較を表 2.1 に示す。

炉心部には、間接通電型電気ヒータの模擬燃料集合体を用いる。軸方向出力分布は、図 2.5 に示すように、チョップトコサイン分布を階段近似したものである。同図には、ヒータ上の温度測定位置をも示す。一番上のポジション 1 から一番下のポジション 7 までの 7か所である。各集合体の水平断面形状は、現在使われている実炉の 8×8 配列燃料集合体(ウォータロッド 1 本を含む。)と同一寸法であるが、炉心長さは実炉の 1/2 である。集合体数は、実炉の 848 体に対し、ROSA-III では 4 体である。

圧力容器、配管などは、Run 701～703 で用いたものをそのまま Run 704 でも用いたが、模擬燃料集合体は、Run 701～703 実験終了後新しいものに取り替えられた。Run 701～703 で用いられたものは 1 次燃料、Run 704 以後用いられているものは 2 次燃料と呼ばれる。両者は、構造も寸法もほとんど同じであるが、2 次燃料の方が計測点が多くなっている。また、模擬燃料集合体に付随して、チャンネルボックス、下部支持体なども交換されたが、このうち、炉心入口オリフィス（各チャンネル 12 個ずつの穴）、案内管入口穴（下部支持体に 4 個の穴）、チャンネルボックスのリーク穴（各チャンネル 2 個ずつの穴）の大きさが表 2.2 のように、2 次燃料の方が小さくなっている。また、模擬燃料加熱用配線が異なり、このため、半径方向に一様発熱とした場合には、ヒータへの最大電気入力は、2 次燃料の方が 1 次燃料よりも 10% 程度低くなる。

さらに 2 次燃料では、チャンネル出口流量を測定する目的で、各チャンネルボックスに、タービン流量計およびそれとチャンネルをつなぐための延長筒が取り付けられている。ただし、これまでにこの流量計による有効なデータは得られていない。取付け状況は図 2.6 に示すが、これにより、スプレイ水がチャンネルに流入するのが妨げられることがありうる。また、蒸気吹上げの効果によって、上部プレナムに水が溜まる場合、この延長筒の内外で水位ができると思われる。

ROSA-III 実験の結果と実炉における現象との比較を考えるとき、ROSA-III 装置が実炉と相異する点として、各部体積のちがい、炉心長さのちがいのほか以下の点にも注意する必要がある。すなわち、ジェットポンプが圧力容器の外に置かれていること、下部プレナム内をヒータ用導線が多数貫通していること、再循環ポンプの性能が実炉と相異すること、炉心およびバイパスの入口、出口流路の形状・大きさが実炉と相異すること、炉心初期熱流束が実炉の平均出力バンドルの半分以下であること、炉心出口タービン流量計およびチャンネルボックス延長部のあることなどである。

## 2.2 実験条件

Run 704 の設定条件と実際の実験条件を表 2.3 に示す。この実験は、再循環ポンプ吸込側配管の両端破断を模擬するものであり、すべての ECCS を作動させた。設定条件は、第 2 次模擬燃料集合体を用いる点を除いては、Run 703 の設定条件<sup>(4)</sup> とほぼ同じである。Run 703 では、破断操作が予定通りにいかずスプリット破断相当となつたが、Run 704 では、設定通りに最大口径配管の両端破断を模擬するものとなつた。ただし、ポンプ側破断位置の破裂板は、容器側破断位置の破裂板より約 2 秒遅れて破裂した（4.1.3 節参照）。その他の実際の実験条件はほぼ設定通りであった。

炉心部軸方向出力分布は図 2.5 に示すようにチョップトコサイン状であるが、水平方向出力分布は、この実験では一様としている。

実炉では、配管破断後すぐにスクラムされるが、その後崩壊熱と遅発中性子による熱などが発生し、また、燃料内の蓄積熱が徐々に解放される。ROSA-III ではこれらを考慮し、実燃料の表面からの伝熱量に相当する熱量を電力として入力する。ここで基準にした実炉の伝熱量曲線は、RELAP4 J コードにより炉心を 3 分割して計算した結果<sup>(6)</sup> を平均して、滑らかにしたものである。ただし、現在の ROSA-III 装置では、電源容量の制限により、実炉の平均出力パンドルの定常時出力密度の 0.4 倍程度しか与えられない。このため、実際に与える電気出力は、図 2.7 の実線に示すように、破断後 13 秒まで一定に保ち、それ以後実炉の伝熱量曲線に従って低下させた。この実験に用いた第 2 次燃料では、配線の違いにより第 1 次燃料よりも定常全出力が約 10% 低い。このため、初めの一定出力に保つ時間は約 2 秒長くなっている。なお、GE 社の計算<sup>(7)</sup> によれば、実炉の伝熱量は、図 2.7 の一点鎖線に示すように早く低下する。このちがいは、崩壊熱、熱伝達率、ギャップコンダクタンスなどの評価のちがいによる。

ROSA-III の給水系は、定常運転用の常温給水系と破断後用の高温給水系とに分かれている。破断と同時にこれらを切り替える。これは、高温給水タンクの容量不足のため、これを定常運転に用いることができないからである。実炉の LOCA 評価では、保守的な仮定として、給水泵電源喪失を仮定する。このため、Run 704 では、常温給水系ポンプ停止、高温給水系弁開、高温給水弁閉の信号を、それぞれ、0 秒、0 秒、2 秒とした。

主蒸気系も、給水系と同様に、定常用と破断後用とに分かれており、破断と同時に弁で切り替えた。その後、実炉の主蒸気管隔離弁閉止を模擬するために、破断後用主蒸気弁閉信号を 3 秒に入れ、破断後約 5 秒には全閉となるように設定した。

実炉の LOCA 評価では、保守的仮定として再循環ポンプ電源喪失を想定する。ROSA-III では、実炉ポンプのコストダウンを模擬するために回転数制御をすることもできるが、本実験では、この制御を行なわず、破断と同時に単純に電源を切った。

ECCS としては、BWR/6 の仕様に従い、高圧炉心スプレイ (HPCS)、低圧炉心スプレイ (LPCS)、低圧注水 (LPCI) をすべて作動させた。

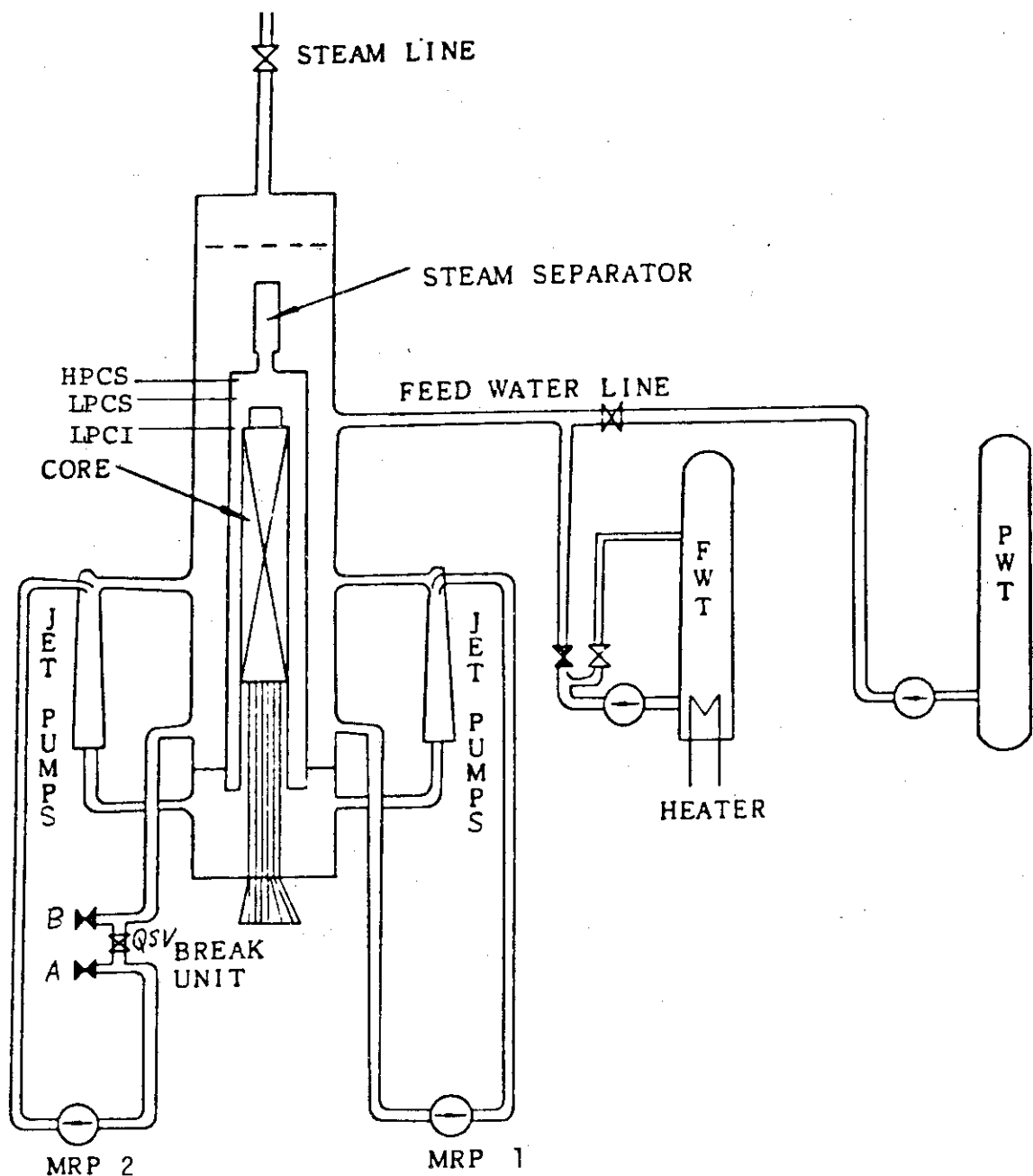
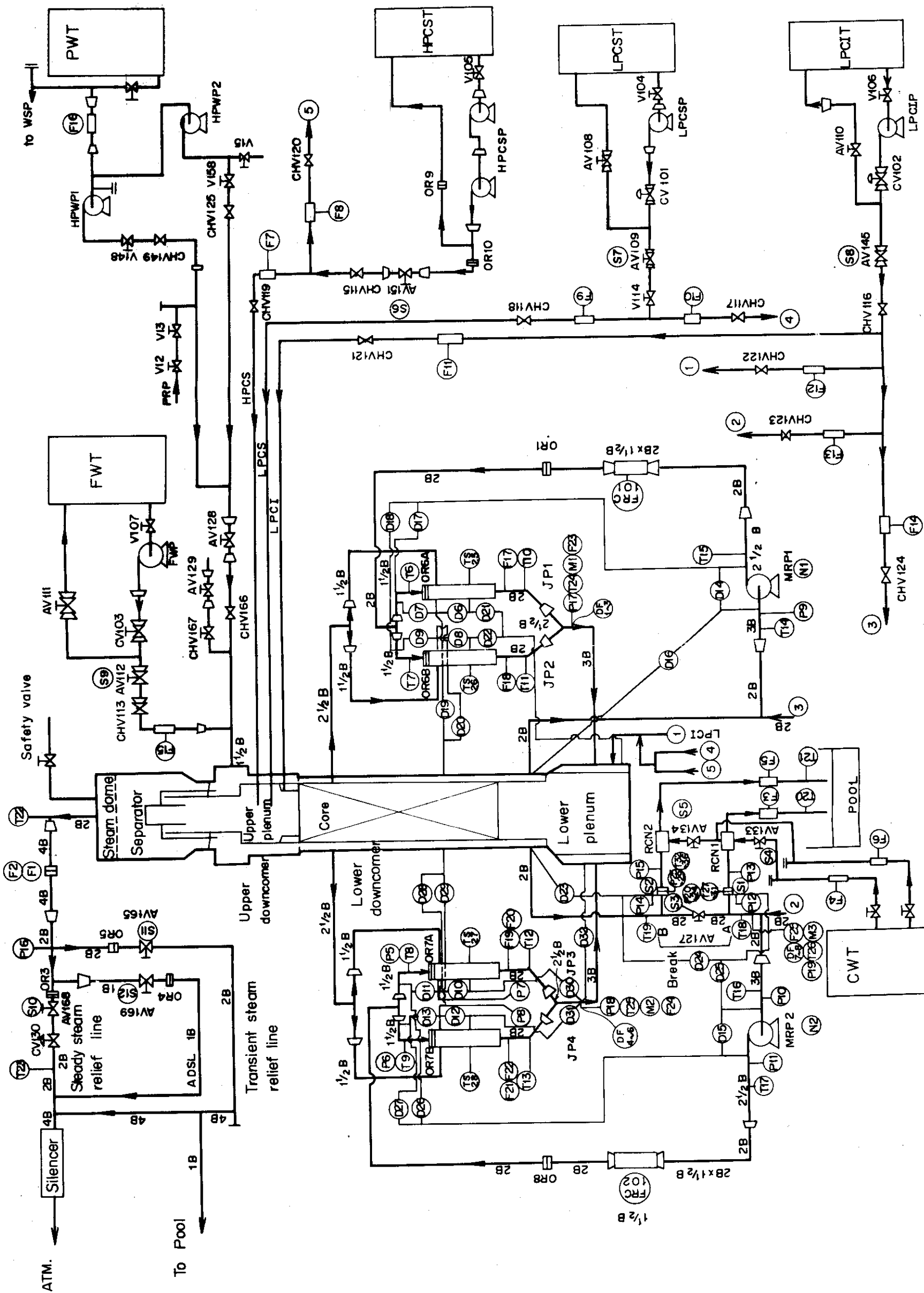


Fig.2.1 Schematic Drawing of ROSA-III Test Facility



**Fig.2.2** Flow diagram and instrumentation location of ROSA-III facility

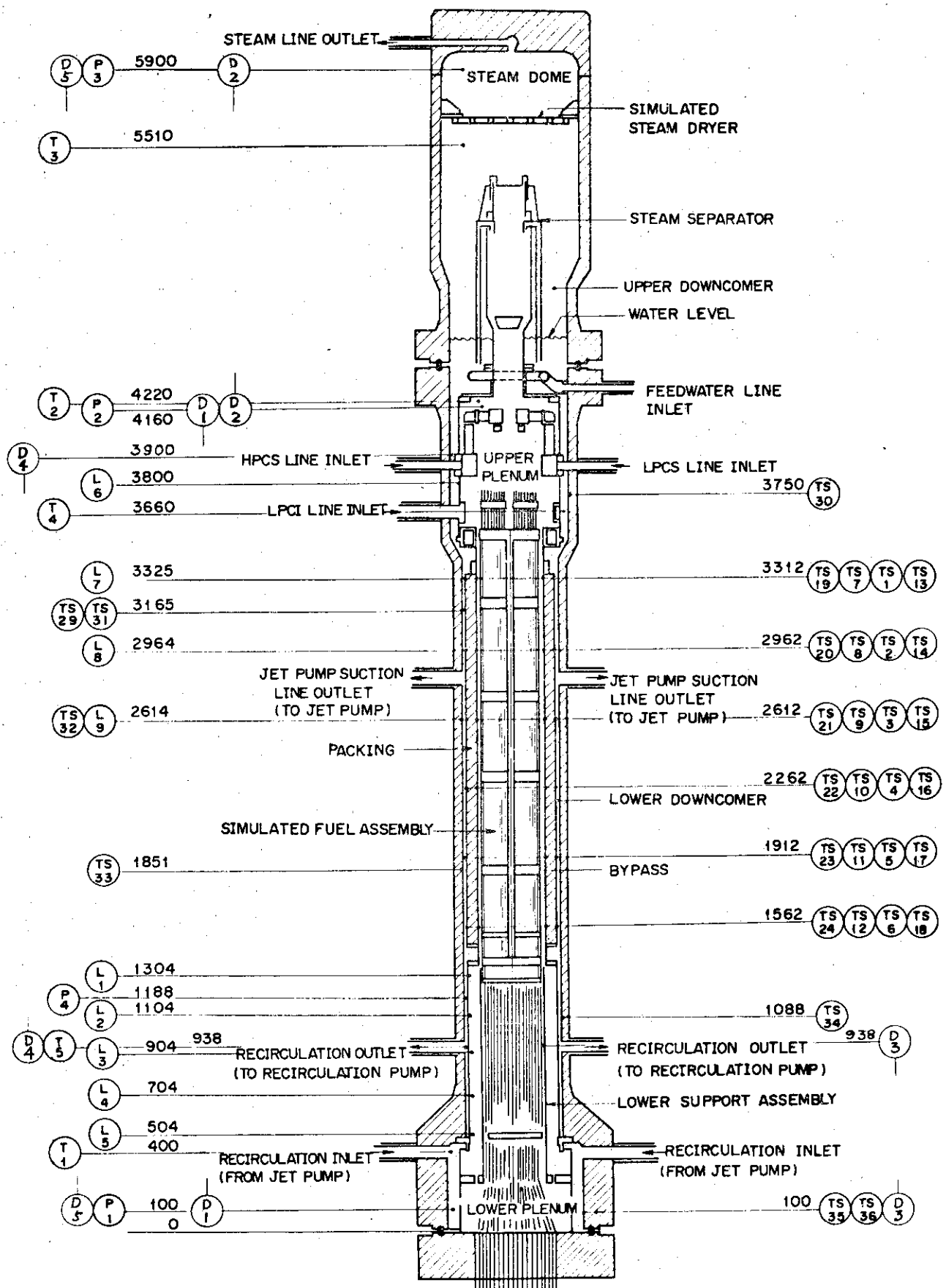
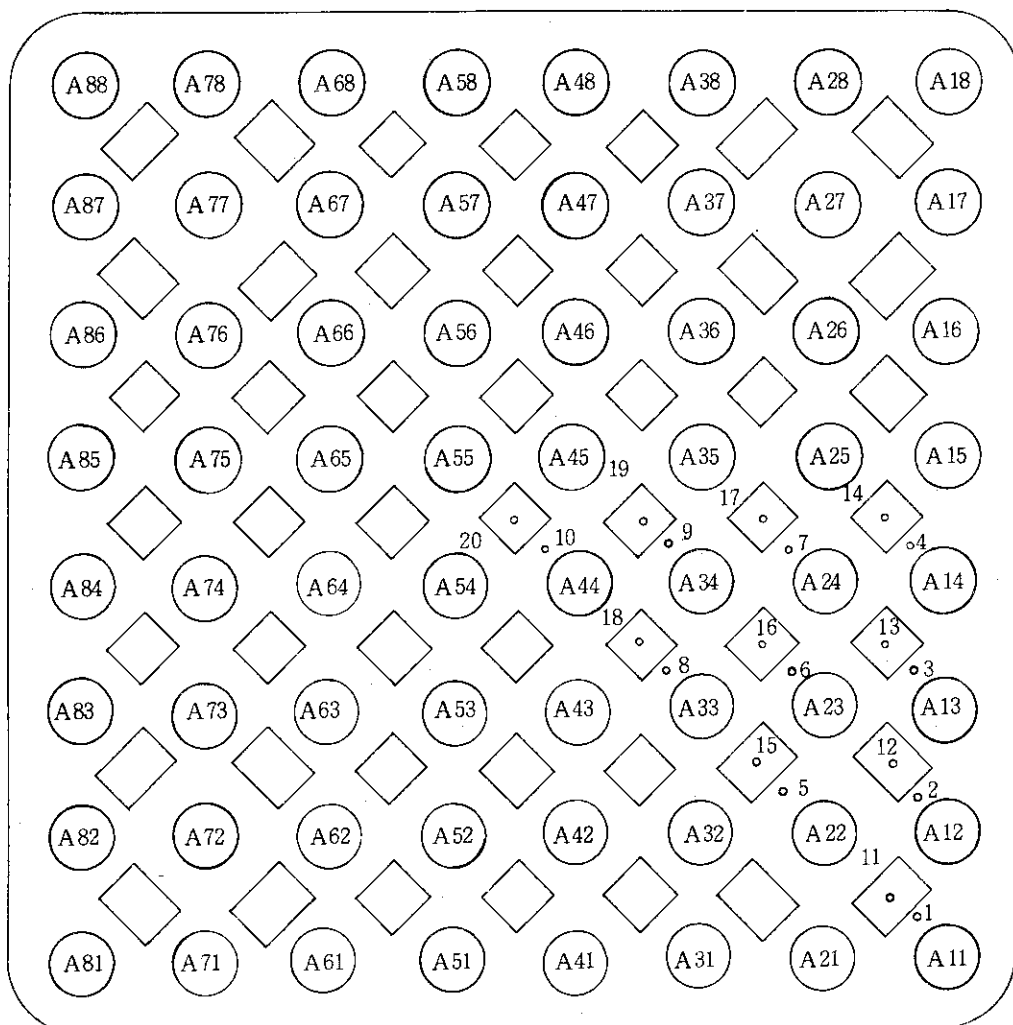


Fig.2.3 INSTRUMENTATION IN THE ROSA-III PRESSURE VESSEL



## Thermo Couples

- 1 ~ 10 : 3 mm above the UTP upper surface
- 11 ~ 20 : In the holes at the same level  
as the UTP lower surface

Fig.2.4 Thermocouple Locations Around Upper Tie Plate

Table 2.1 Primary Characteristics of BWR6 and ROSA-III

## a) Comparison of Major Design Parameters

	BWR6(251/848)	ROSA-III	Ratio( $\frac{\text{BWR6}}{\text{ROSA-III}}$ )
Reactor Type	BWR	Simulated BWR	
Number of			
Recirc. Loops	2	2	1
Steam Lines	4	1	4
Jet Pumps	24	4	6
Separators	251	1	251
Core Heat Up	Nuclear Fission	Electric Heater	
Total Power(KW)	$3800 \times 10^3$	< 4450	> 854
Active Fuel Length (m)	3.759	1.880	2
Number of Fuel Assemblies	848	4	212
Total Volume(m <sup>3</sup> )	621.4	1.421	437
Operating Conditions			
Pressure(MPa)	7.43	up to 9.29	
Core Flow(kg/sec)	15430.0	36.4	424
Steam Flow(kg/sec)	2060.0	< 4.86	> 424
Recirc. Pump Flow Rate per 1 Pump (m <sup>3</sup> /sec)	2.97	$7.01 \times 10^{-3}$	424
Feed Water Temp.(K)	488.8	488.8*	1

\* transient

Table 2.1 (continued)

## b) ECCS Conditions

	BWR6 (251/848)	ROSA-III	Ratio ( $\frac{\text{BWR6}}{\text{ROSA-III}}$ )
HPCS			
Number of Lines	1	1	
Injection Flow Rate ( $\text{m}^3/\text{sec}$ )			
at 7.9 MPa	0.104	$0.228 \times 10^{-3}$	456
at 0.84 MPa	0.442	$0.967 \times 10^{-3}$	457
Water Temp. (K)	333	up to 393	
Injection Location	upper plenum	upper plenum	
LPCS			
Number of Lines	1	1	
Injection Flow Rate ( $\text{m}^3/\text{sec}$ )			
at 0.84 MPa	0.442	$0.967 \times 10^{-3}$	457
Water Temp. (K)	333	up to 393	
Injection Location	upper plenum	upper plenum	
LPCI (RHR)			
Number of Lines	3	1	
Injection Flow Rate ( $\text{m}^3/\text{sec}$ )			
at 0.14 MPa	0.47	$1.033 \times 10^{-3}$	457
Water Temp. (K)	333	up to 393	
Injection Location	in-shroud	in-shroud	

Table 2.1 (continued)

## c) Volume Distribution and Main Component Dimension

Item		BWR6 (251/848)	ROSA-III	Ratio (BWR6/ROSA-III)	Comment
Lower Plenum & Guide Tubes	m <sup>3</sup>	123	0.259	473	
Lower Plenum	m <sup>3</sup>	79.0	0.188	420	
Guide Tubes	m <sup>3</sup>	43.8	0.0714	614	
Core	m <sup>3</sup>	59.8	0.134	446	
Core in Channels	m <sup>3</sup>	35.4	0.0814	435	
Core Bypass	m <sup>3</sup>	24.4	0.0524	465	
Upper Plenum & Steam Separators	m <sup>3</sup>	80.5	0.185	435	
Upper Plenum	m <sup>3</sup>	52.5	0.124	423	
Steam Separators	m <sup>3</sup>	28.0	0.0610	459	
Steam Dome	m <sup>3</sup>	206	0.439	468	above normal water level
Downcomer	m <sup>3</sup>	123	0.233**	529	below normal water level
Above Jet Pump Suction	m <sup>3</sup>	74.2*	0.164***	452	
Between Jet Pump Suction and Recirculation Outlet	m <sup>3</sup>	36.8*	0.0600**	613	
Below Recirculation Outlet	m <sup>3</sup>	12.2	0.00900	1360	

note: \* BWR5

\*\* include jet pump suction lines

\*\*\* not include jet pump suction lines

Table 2.1 (continued)  
c) (contd.)

Item	BWR6 (251/848)	ROSA-III	Ratio (BWR6/ROSA-III)	Comment
Recirculation Loops & Jet Pumps	m <sup>3</sup>	29.6	0.171***	
Total Volume	m <sup>3</sup>	621	1.421	
 Pressure Vessel Dimension				
Inner Height	m	22.3*	6.01	3.71
Inner Diameter	m	6.38*	0.492**	13.0
Water Level	m	14.1*	4.62	3.04
Jet Pump Suction Level	m	8.28*	2.82	2.93
Lower Core End Level	m	5.49*	1.60***	3.43
Recirculation Line Level	m	3.88*	0.938	4.13
Recirculation Loop Pipe Inner Diameter	m	0.56	$\leq 0.0495$	

note :

\* BWR5

\*\* out diameter of lower  
down comer

\*\*\* bottom of active fuel

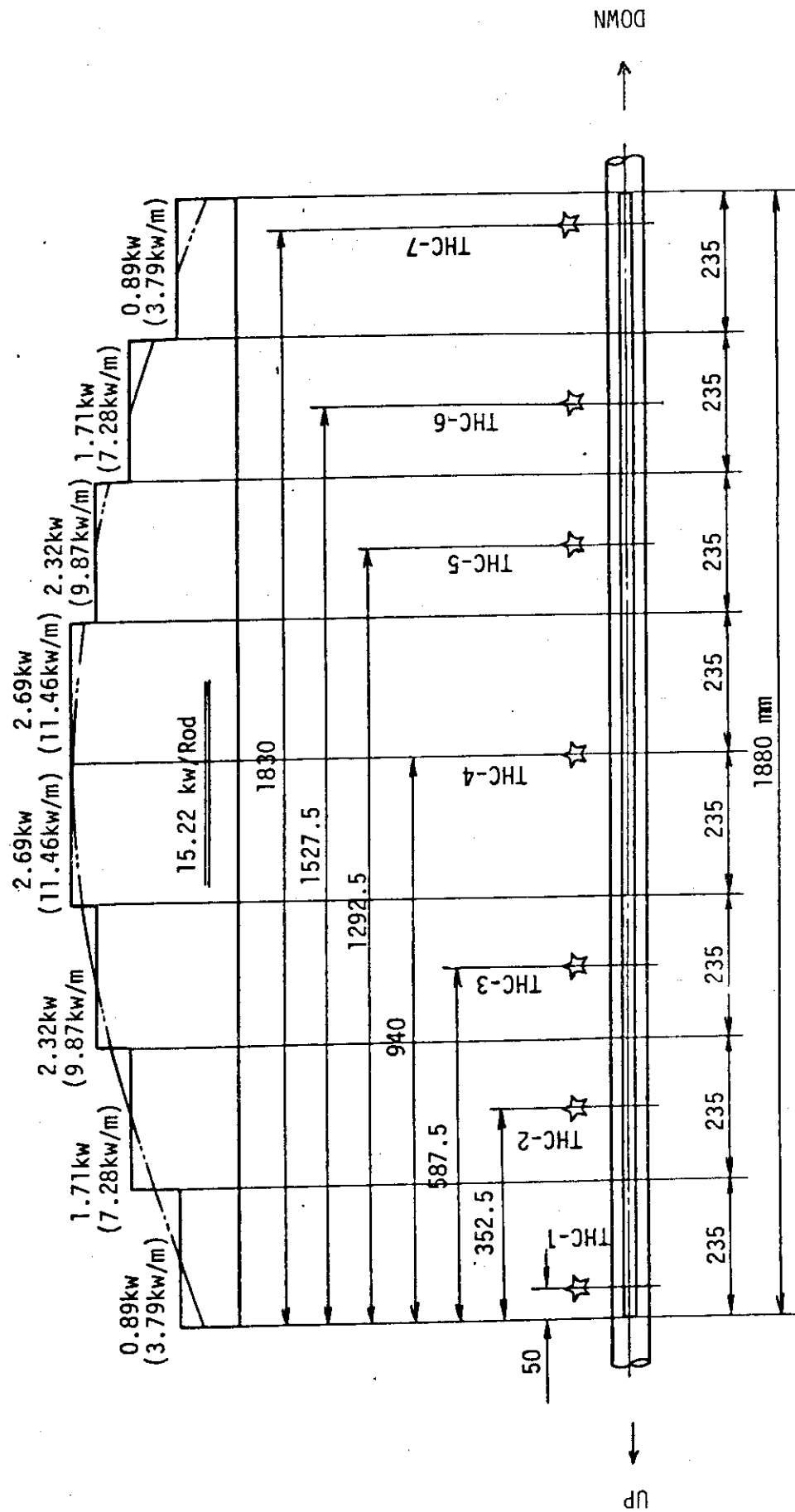
Table 2.1 (continued)

## d) Thermal Characteristics

	BWR 6 (251/848)	ROSA-III	Ratio( $\frac{\text{BWR 6}}{\text{ROSA-III}}$ )
Active Length (m)	3.759	1.880	2
Number of Fuel Rods	53424	254	210
Number of Water Rods	848	4	212
Rods Array	8 × 8 square	8 × 8 square	
Fuel Rod O.D. (mm)	12.52	12.52	1
Cladding Thickness (mm)	0.864	1.3	0.665
Fuel Rod Pitch (mm)	16.26	16.26	1
Total Fuel Heat Transfer Area (m <sup>2</sup> )	7900	18.8	421
Clad Material	Zircalloy	Inconel 600	
Average Linear Rod Power (kw/m)	18.9	≤9.32	≥2.03
Core Average Heat Flux (kw/m <sup>2</sup> )	481	≤237	≥2.03
Core Coolant Flow Rate* (kg/sec)	15430	36.4	424
Core Inlet Flow Speed** (m/sec)	2.16	1.09	
Total Core Flow Area (m <sup>2</sup> )	8.56	0.0402	213
Peaking Factor			
Local P.F.	1.13	<3.65	<3.23
Axial P.F.	1.40	1.41	1
Radial P.F.	1.40	-	
Gross P.F.	1.96	-	
Total P.F.	2.22	-	

\* Include core bypass

\*\* Exclude core bypass flow rate, as 10 % of core coolant flow rate



☆ indicates position of thermocouple.

Fig.2.5 Axial Power Distribution of Heater Rod

Table 2.2 Comparison of Heater Assemblies 1 and 2

Heater Assembly Number		1	2
Side Entry Orifices	Number of holes	48	48
	Diameter (mm)	9.5	6.29
	Total Area (cm <sup>2</sup> )	34.02	14.92
Leak Holes	Number of holes	8	8
	Diameter (mm)	8.6	7.66
	Total Area (cm <sup>2</sup> )	4.65	3.69
Guide Tube Holes	Number of holes	4	4
	Diameter (mm)	5.3	4.9
	Total Area (cm <sup>2</sup> )	0.883	0.754
Core Exit Turbine Flow Meters and Channel Box Extensions		Without	With
Conducted Test Runs		701, 702 and 703	704, 705 706, etc.

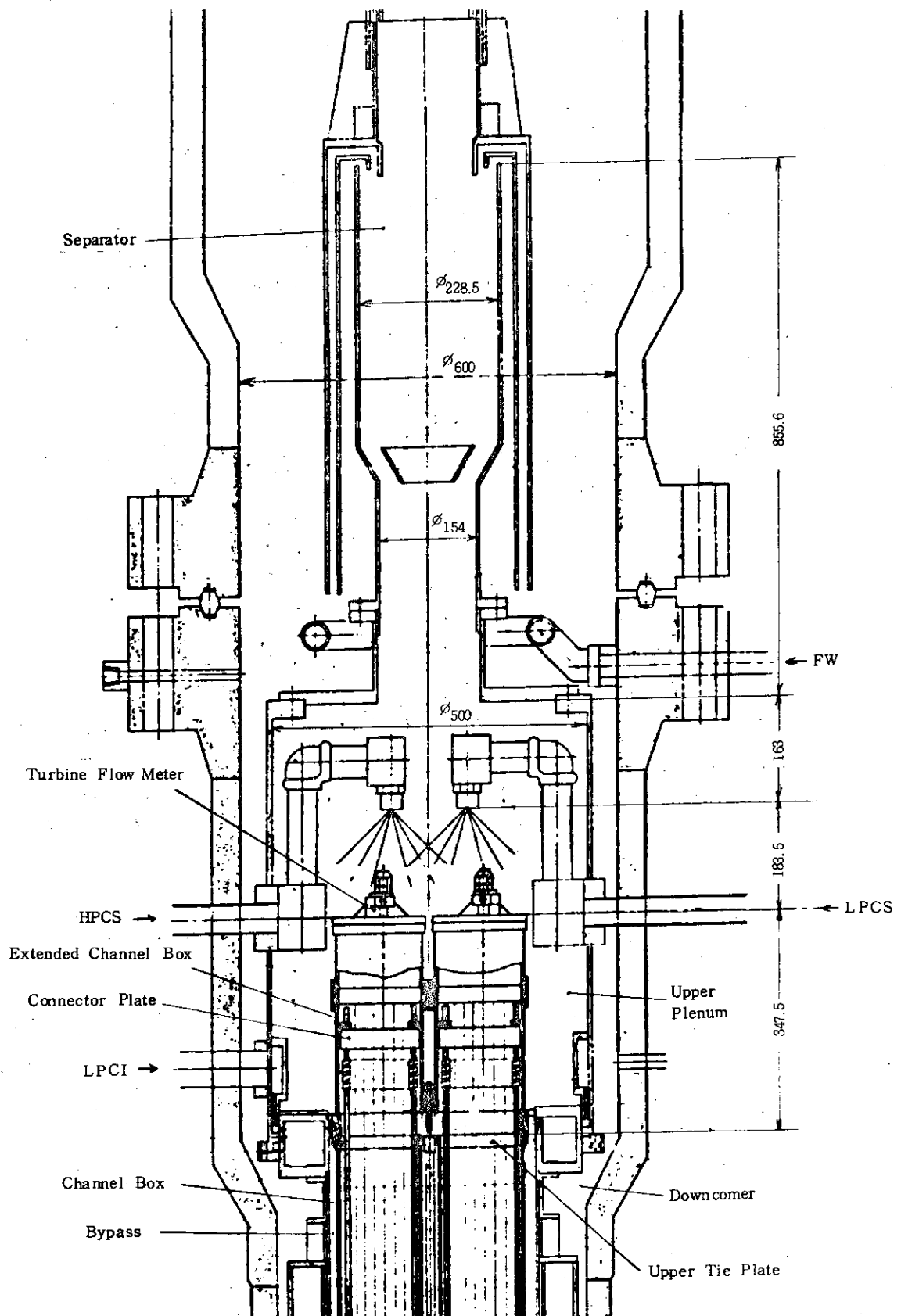


Fig.2.6 ROSA-III Upper Plenum and Separator

Table 2.3 Test Condition

	Specified Condition	Actual Condition
Break		
Location	Recirculation pump suction line	←
Orifice diameter	26.2 mm	←
Break mode	Simultaneous Breaks of A and B and QSV close	2 sec delay in Break A after Break B and QSV close
Initial Condition		
Steam dome pressure	7.16 MPa (72atg)	7.04 MPa (70.8atg)
Water level	4.62 m	4.62 m
Total recirculation flow rate	36.4 kg/s	35.7 kg/s
Core power	3733 kW	3267 kW
Feed Water		
Cold FW temp.	Room temp.	294.2 °K
Hot FW temp.	478.2 °K	478.2 °K
Cold FW flow rate	—	(Fig. 3.3)
Hot FW flow rate	$2.41 \times 10^{-3} \text{ m}^3/\text{s}$ (rated)	(Fig. 3.3)
Main Steam		
Transient MS line orifice diameter	20.0 mm	←
Transient MS flow rate	2.07 kg/s	Not measured

Table 2.3 Test Condition (Continued)

	Specified Condition	Actual Condition
HPCS		
Initiation	27 sec after break	27 sec after break
Temperature	Room temperature	297.2 °K
Injection rate	$2.28 \times 10^{-4} \text{ m}^3/\text{s}$ at 8.0 MPa $9.67 \times 10^{-4} \text{ m}^3/\text{s}$ at 0.95 MPa	(Fig. 3.4)
LPCS		
Initiation	Steam dome pressure at 2.16 MPa	66 sec after break
Temperature	Room temperature	297.2 °K
Injection rate	$9.67 \times 10^{-4} \text{ m}^3/\text{s}$ (rated)	(Fig. 3.4)
LPCI		
Initiation	13 sec after steam pressure becomes 2.16 MPa	80 sec after break
Temperature	Room temperature	297.2 °K
Injection Rate	$3.83 \times 10^{-3} \text{ m}^3/\text{s}$ (rated)	(Fig. 3.4)
Main recirculation pump after break	Free coastdown	←

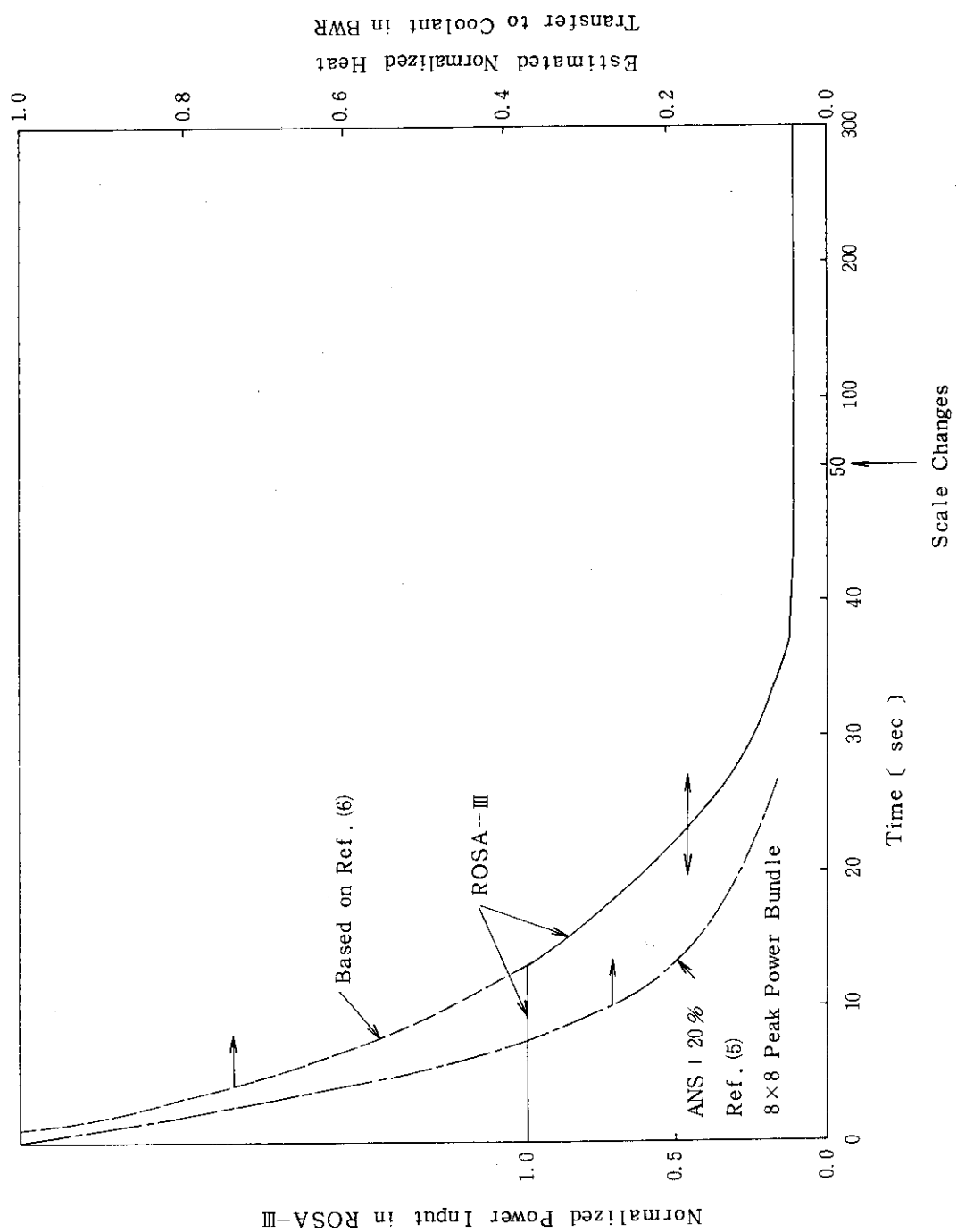


Fig. 2.7 Power Transient

### 3. 解析条件

解析に用いたコードは、これまでの ROSA-III 解析<sup>(2)～(5)</sup>と同じく、RELAP4J<sup>(1)</sup>である。計算条件を変えて、ケース 1, 2, 3 の 3 通りの計算を行なった。それらの計算条件の違いを表 3.1 に示す。これらの結果は互いに似ており、特に、実験データと比較した場合の特徴は本質的に同一である。そこで、第 3 章、第 4 章では、ケース 1 を標準ケースとしてとりあげ、ケース 2, 3 についてはそれぞれ、付録 A, B に示す。また、ケース 1, 3 のインプットリストを付録 C, D に示す。

ケース 1 は、Run 703 の実験解析<sup>(4)</sup>における標準ケースに相当するものである。

#### 3.1 ノード分割

ボリューム、ジャンクション、ヒートスラブの分割方法を図 3.1 および表 3.2～3.4 に示す。これは、Run 703 の実験後解析<sup>(4)</sup>における標準ケースと全く同じである。

炉心部のノード分割を、温度測定位置とともに図 3.2 に示す。炉心部ボリュームは、スペーサ位置に合わせて 5 個に区切る。炉心部ヒートスラブは、ボリュームごとに区切るほかに、発熱密度の違いに応じてさらに区切る。

LPCI による注入水は、炉心バイパス部と上部プレナム部へ配分されてはいるが、この解析では、全流量が上部プレナム部へ注入されるものとする。これも Run 703 の実験後解析<sup>(4)</sup>と同じ方法である。

#### 3.2 初期条件

各ボリュームの圧力、温度、ジャンクション流量などの初期流体条件は、できるだけ実験データに合わせる。また、対応するデータがないものについては推定値とする。ただし、定常の圧力、流量の測定値をそのまま入力したのでは、解析コードの中で定常バランスがとれない。したがって、測定誤差を考慮して、計算が進行するよう、圧力および流量の入力を調整する。

#### 3.3 破断条件

実験データによれば、二か所の破断は同時ではなく、2 秒のずれがあった（4.1.3 節参照）。しかし、解析ではこの時間ずれを無視して、二か所が同時に完全に破断するものとし、また同時に、急速遮断弁（図 2.1 の QSV）が閉止するものとする。

### 3.4 炉心出力

模擬燃料への入力電力を時間の関数（図 2.7）として与える。

### 3.5 給水と ECCS

給水系は、常温給水系（ $294.2^{\circ}\text{K}$ ）と高温給水系（ $478.2^{\circ}\text{K}$ ）とを独立の二つのジャンクションとして扱う。実験における給水流量の測定結果を図 3.3 に示す。解析では、この図の流量変化を時間の関数として与える。

ECCS 注入量の測定結果を図 3.4 に示す。解析では、これらのデータに基づいて、流量を時間の関数として与える。ただし、HPCS と LPCS は合わせて一つのジャンクションにするので、その流量は両者の合計とする。注入水の温度は、実測に従って  $297.2^{\circ}\text{K}$  とする。

### 3.6 ポンプ特性

ポンプ特性は、文献(2), (3), (4)（標準ケース）と同じとした。これは、完全には実測データに基づいておらず、逆流特性が実際と相異していることが文献(4)で指摘されている。

### 3.7 臨界流モデル

破断口（オリフィス）における臨界流モデルとしては RELAP4J コードの説明<sup>(1)</sup>で、簿刃オリフィスについて推奨されるオプションを使う。すなわち、サブクール水には修正 Zaloudek の式を用い、二相域には Moody モデルと  $C_d$  関係式を用いる。それらの接続の方法も文献(1)の推奨に従う。また、RELAP4J では、高クオリティ（0.8 以上）の場合に、Moody の式による流量と音速による臨界流量のうち大きい方をとるというオプションがあるが、ケース 1 ではこのオプションを採用する。

### 3.8 主蒸気

主蒸気流出流量は、Run 701, 702, 703 の実験後解析<sup>(2)(3)(4)</sup>と同様、負の流入と見なし、流量を時間の関数として与える。ただし、Run 704 では主蒸気流量の完全な測定値が得られていない。このためこの流量は、Run 703 の実験結果を加味して推定する。初期値は、炉心出力、給水量などをもとに、質量・エネルギーのバランスから推定する。また、破断後 6.7 秒には完全に主蒸気流出は停止するものとする。図 3.5 に解析に用いる主蒸気流量変化を示す。

### 3.9 抵抗係数

ケース 1 では、Run 703 の実験後解析<sup>(4)</sup>と同じく幾何学的形状だけから抵抗係数を決める。

### 3.10 気水分離モデル

ケース 1 では、圧力容器内の全ボリュームに気水分離モデルを採用する。

気水分離モデルを採用するボリュームにおいて、気泡勾配係数  $\alpha$  はいずれも 0.8 とし、気泡上昇速度  $V_B$  は、 $0.91 \text{ m/s}$  ( $3 \text{ ft/s}$ ) で一定とする。

### 3.11 時間ステップ

RELAP4Jコードには、時間ステップの大きさを自動的に決めるモデルがはいっているが、その他にコード使用者が上限と下限を入力する。実際には、その上限値の与え方によって結果が違うこともある。

ケース 1 では、時間ステップの上限  $t_{\max}$  を、初め 0.01 秒とし、解が発散して計算が止まると、その少し前から  $t_{\max}$  を小さくして計算をやり直すようになる。実際に  $t_{\max}$  を 0.01 としている時間は、ケース 1 では初めの 40 秒間であり、それ以後の  $t_{\max}$  は 0.005 秒以下である。

Table 3.1 Comparison of Calculation Conditions

Case	Volumes where phase separation model is used	Slip velocity	Flow Resistance Coefficient	Remarks
1 (Standard)	All in pressure vessel	0.91 m/s	Based on geometry	Similar to the standard Case in Ref. (4)
2	Lower plenum and downcomer	Same as in Case 1		Time step larger than in other cases
3	All in pressure vessel except volume 27	Wilson's	Adjusted	Similar to case 9 in Ref. (3)

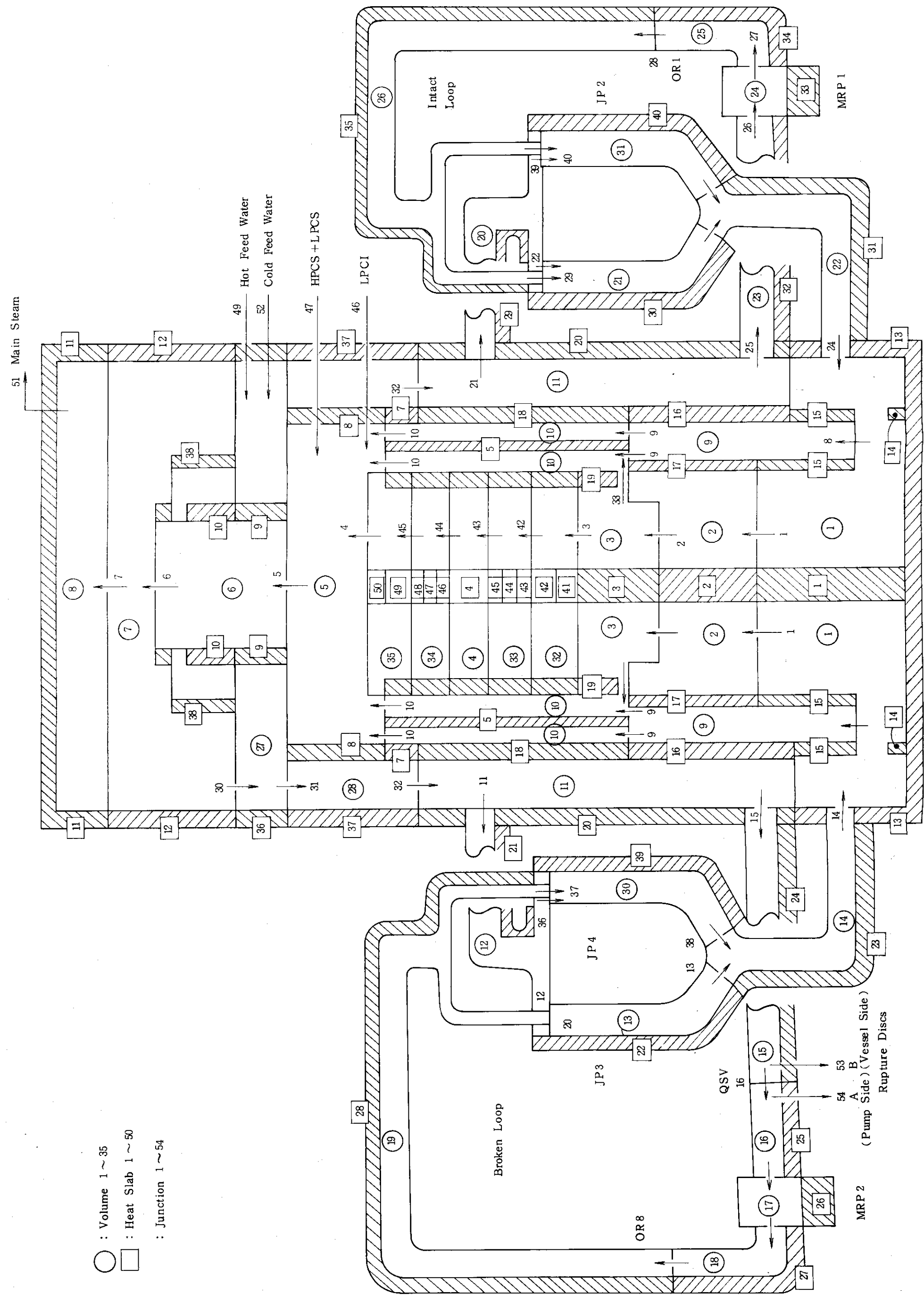


Fig. 3.1 Node and Junction Representation of ROSA-III

Table 3.2 Description of Volumes

Volume	Description
1	Lower plenum below tie grid
2	Lower plenum above tie grid
3	Core inlet chambers
4	Core (Center)
5	Upper plenum
6	Steam separator
7	Upper head
8	Steam dome
9	Guide tube simulator
10	Bypass
11	Downcomer
12	Broken loop jet pump suction line
13	Broken loop jet pump 3
14	Broken loop jet pump discharge line
15	Broken loop recirculation pump suction line, vessel side
16	Broken loop recirculation pump suction line, pump side
17	Broken loop recirculation pump
18	Broken loop recirculation pump discharge line
19	Broken loop jet pump drive line
20	Intact loop jet pump suction line
21	Intact loop jet pump 1
22	Intact loop jet pump discharge line
23	Intact loop recirculation pump suction line
24	Intact loop recirculation pump
25	Intact loop recirculation pump discharge line
26	Intact loop jet pump drive line
27	Feed water inlet space
28	Upper downcomer
29	Steam separator downcomer (not used)
30	Broken loop jet pump 4
31	Intact loop jet pump 2
32	Core (Bottom)
33	Core
34	Core
35	Core (Top)

Table 3.3 Description of Junctions

Junction	from	to	Description
1	1	2	Lower plenum tie grid
2	2	3	Core inlet orifice
3	3	4	Lower tie plate
4	4	5	Upper tie plate
5	5	6	Steam separator inlet
6	6	7	Steam separator outlet
7	7	8	Steam dryer simulator
8	1	9	Guide tube simulator inlet
9	9	10	Bypass inlet
10	10	5	Bypass outlet
11	11	12	Outlet from downcomer to broken loop jet pump suction
12	12	13	Broken loop jet pump 3 suction
13	13	14	Broken loop jet pump 3 delivery
14	14	1	Broken loop recirculation flow inlet to lower plenum
15	11	15	Outlet from downcomer to broken loop recirculation pump
16	15	16	Quick shutoff valve
17	16	17	Broken loop recirculation pump suction
18	17	18	Broken loop recirculation pump delivery
19	18	19	Broken loop recirculation line flow resistance simulation orifice
20	19	13	Broken loop jet pump 3 drive nozzle
21	11	20	Outlet from downcomer to intact loop jet pump suction
22	20	21	Intact loop jet pump 1 suction
23	21	22	Intact loop jet pump 1 delivery
24	22	1	Intact loop recirculation flow inlet to lower plenum
25	11	23	Outlet from downcomer to intact loop recirculation pump
26	23	24	Intact loop recirculation pump suction
27	24	25	Intact loop recirculation pump delivery

Table 3.3 Description of Junctions (Continued)

Junction	from	to	Description
28	25	26	Intact loop recirculation line flow resistance simulation orifice
29	26	21	Intact loop jet pump 1 drive nozzle
30	7	27	Upper head
31	27	28	Upper downcomer inlet
32	28	11	Downcomer inlet
33	3	10	Flow path from core inlet chamber to bypass
34	6	29	Steam separator outer cylinder inlet, (not used)
35	29	27	Steam separator outer cylinder outlet, (not used)
36	12	30	Broken loop jet pump 4 suction
37	19	30	Broken loop jet pump 4 drive nozzle
38	30	14	Broken loop jet pump 4 delivery
39	20	31	Intact loop jet pump 2 suction
40	26	31	Intact loop jet pump 2 drive nozzle
41	31	22	Intact loop jet pump 2 delivery
42	32	33	spacer
43	33	4	Spacer
44	4	34	Spacer
45	34	35	Spacer
46	0	5	LPCI
47	0	5	HPCS+LPCS
48			Not used
49	0	27	Hot feed water
50			Not used
51	0	8	Main steam line (Negative flow)
52	0	27	Cold feed water
53	15	0	Break B (Vessel side)
54	16	0	Break A (Pump side)

Table 3.4 Description of Heat Slabs

Heat slab	Description
1	Lead rods in lower plenum below tie grid
2	Lead rods in lower plenum above tie grid
3	Lead rods in core inlet chambers
4	Heater rods (Power fraction density ; 0.753 l/m)
5	Control rod simulator
6	Channel box wall
7	Upper downcomer wall between bypass and upper downcomer
8	Upper downcomer wall between upper plenum and upper downcomer
9	Steam separator wall below bottom of steam separator outer cylinder
10	Steam separator wall between steam separator and steam separator downcomer
11	Steam dome wall
12	Upper head wall
13	Lower plenum wall
14	Lower support structure in lower plenum below tie grid
15	Lower support structure between lower plenum below tie grid and guide tube simulator
16	Downcomer wall between downcomer and guide tube simulator
17	Lower support structure between guide tube simulator and lower plenum above tie grid
18	Downcomer wall between downcomer and bypass
19	Core inlet chamber wall
20	Vessel side downcomer wall
21	Broken loop jet pump suction line pipe wall
22	Broken loop jet pump 3 wall
23	Broken loop jet pump discharge line pipe wall
24	Vessel side broken loop recirculation pump suction line pipe wall
25	Pump side broken loop recirculation pump suction line pipe wall
26	Broken loop recirculation pump casing

Table 3.4 Description of Heat slabs (Continued)

Heat slab	Description
27	Broken loop recirculation pump discharge line pipe wall
28	Broken loop jet pump drive line pipe wall
29	Intact loop jet pump suction line pipe wall
30	Intact loop jet pump 1 wall
31	Intact loop jet pump discharge line pipe wall
32	Intact loop recirculation pump suction line pipe wall
33	Intact loop recirculation pump casing
34	Intact loop recirculation pump discharge line pipe wall
35	Intact loop jet pump drive line pipe wall
36	Feed water inlet space wall
37	Vessel side downcomer wall
38	Steam separator outer cylinder
39	Broken loop jet pump 4 wall
40	Intact loop jet pump 2 wall
41	Heater rods (Power fraction density 0.248 l/m)
42	Heater rods (Power fraction density 0.478 l/m)
43	Heater rods (Power fraction density 0.478 l/m)
44	Heater rods (Power fraction density 0.649 l/m)
45	Heater rods ((Power fraction density 0.753 l/m)
46	Heater rods (Power fraction density 0.753 l/m)
47	Heater rods (Power fraction density 0.649 l/m)
48	Heater rods (Power fraction density 0.478 l/m)
49	Heater rods (Power fraction density 0.478 l/m)
50	Heater rods (Power fraction density 0.248 l/m)

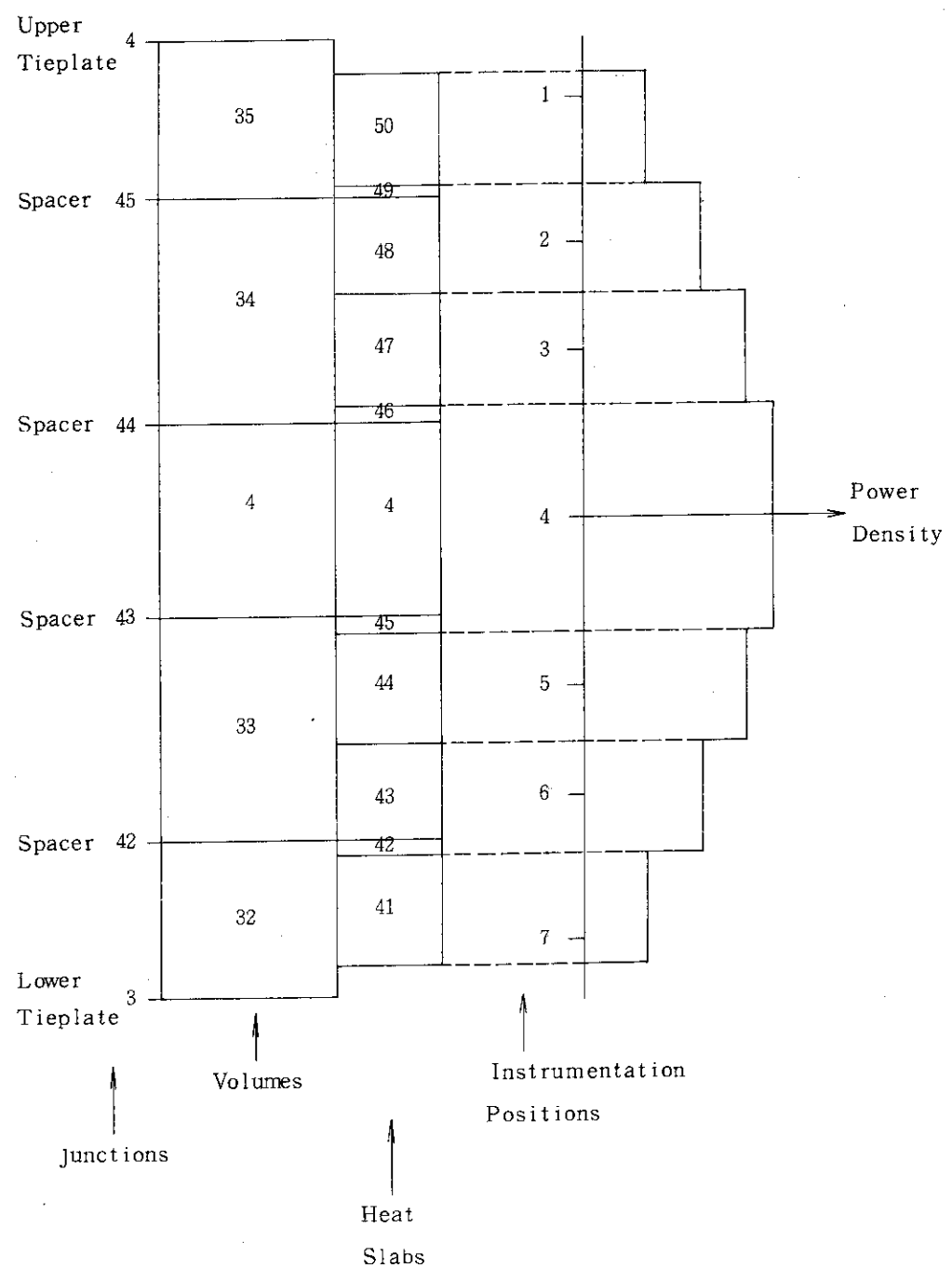


Fig.3.2 Core Nodalization

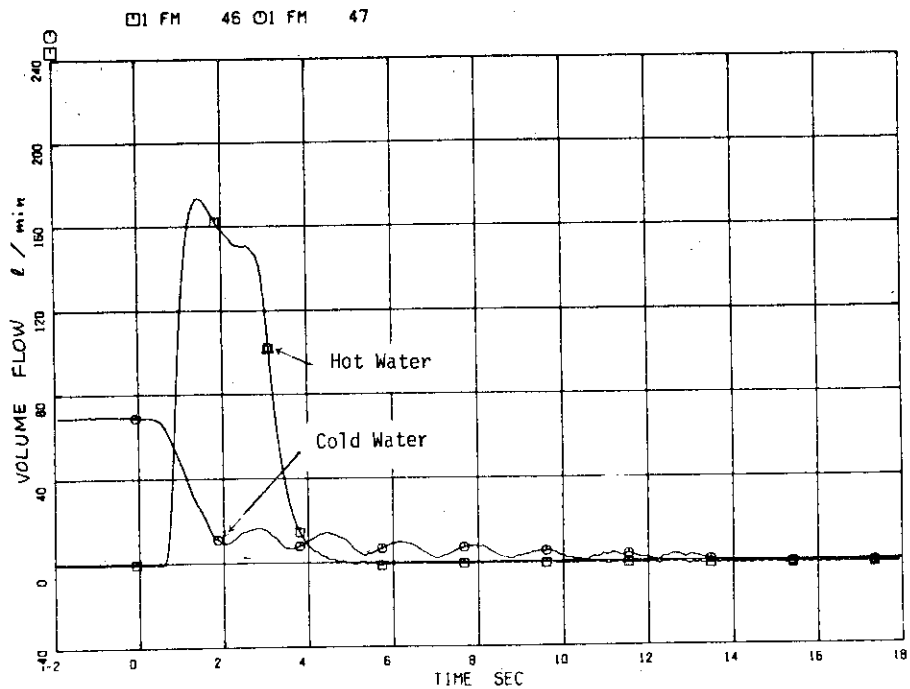


Fig.3.3 Measured Feed Water Flow Rates.

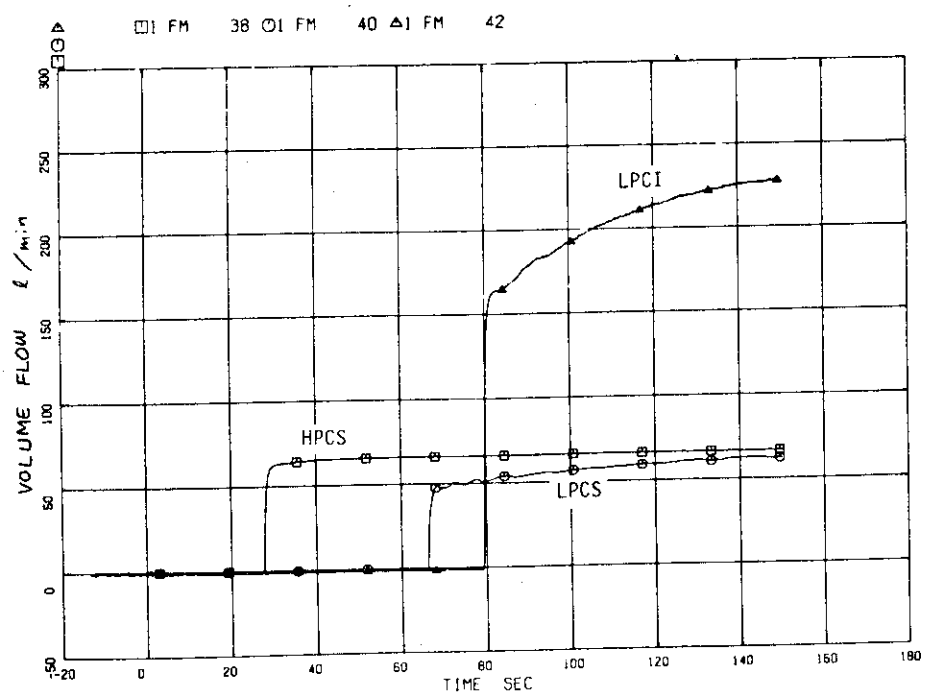


Fig.3.4 Measured ECCS Injection Rate

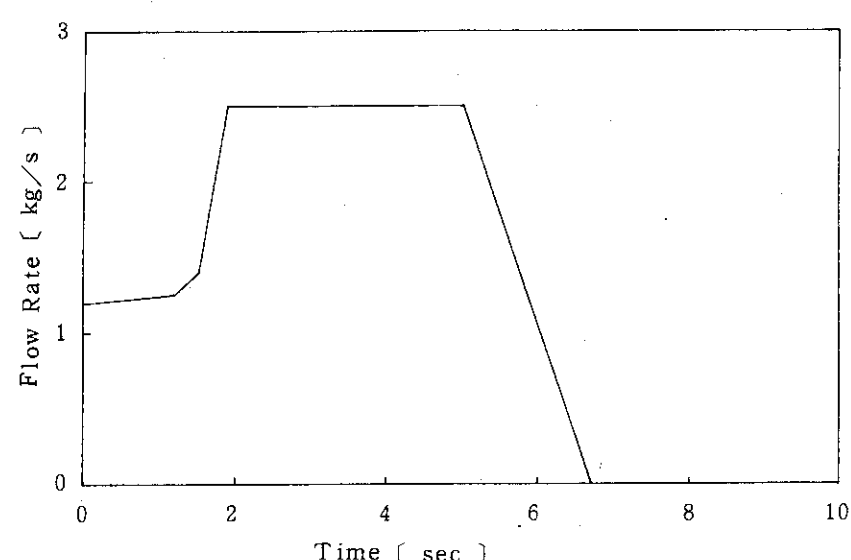


Fig.3.5 Assumed Main Steam Flow Rate

## 4. 結 果

本章では、実験結果と解析（ケース1=標準ケース）の結果を示して考察を加える。計算の不安定により、破断後84秒で計算を打ち切っている。このとき計算機のCPU時間は2時間である。

### 4.1 系圧力

図4.1は蒸気ドーム圧力を示す。圧力容器内圧力はどこもこれとほとんど同じである。本節では、この図をもとにプローダウン中の系全体の流動を概説する。各部の流動については次節以降で詳述する。

まず、破断と同時に、主蒸気系が定常用から非定常用に切り替わって蒸気流量が増大し、破断口からの流出の効果とも合わせて急激な減圧が起こる。約5秒後に主蒸気系が閉止する。破断口は開いているが、このとき、破断流は液ないし低クオリティ二相流であるから体積流量は小さく、炉心出力はまだ大きいので、圧力は上昇を始める。

破断後10~12秒にダウンカマ水位が再循環配管ノズル高さまで低下すると、破断クオリティが急増し、このため体積流量が増大して実験値、解析値ともに圧力が再び低下しはじめる。ほぼ同じ時期に炉心のかなりの部分で沸騰遷移（熱伝達率の急減）が起こってヒータ温度が上昇しはじめるが、これにより流体への伝熱量は急減するので、これもまた圧力を低下させる要因となる。

実験結果と計算結果は全体としてかなりよい一致を示している。0~5秒において解析の方が減圧率が大きいのは、おもに、主蒸気流量を大きく見積りすぎているためであると考えられる。前述のように、この実験では主蒸気流量は測定できていないので、この解析ではRun 703の測定値に基づいているが、それが定量的に妥当であるという保証はない。

破断後10~12秒の圧力再降下開始時間およびその後の圧力曲線の違いは、おもに、再循環系出口部露出時期および沸騰遷移時期の違いによると考えられる。

実験では破断後17秒に下部プレナムフラッシングが始まり、これによる減圧の緩和がみられる。これに対し解析では、破断後10~12秒に下部プレナムフラッシングが始まるが、実験データほど明確な減圧率の変化はみられない。

### 4.2 ダウンカマ水位

図4.2は、ダウンカマ内水位の解析結果を示す。この解析では、ダウンカマは四つのボリュームに分かれており、それぞれに水位ができる。実現象としては各ボリュームに水位ができることはなく、ダウンカマ全体に一つの水位ができると考えられる。この解析における再循環系出口部露出時刻は、ボリューム11の水位計算結果により、破断後8.3秒である。このとき、これ

より上のダウンカマ内にはほとんど蒸気のみが存在しており、この時点では上述のような複数水位形成とはなっていない。

図4.3は、ダウンカマ水位計算値（ボリューム11）とダウンカマ内差圧測定値の比較を示す。ダウンカマ内差圧（D4）測定位置は図2.3に示すが、下端は再循環配管出口高さに対応している。ダウンカマ内は比較的流速が小さいので差圧データから水位を推定することができ、差圧がほぼゼロになったとき水位が再循環配管出口高さまで低下したと考えることができる。図4.3によると、その時刻は破断後10～12秒と推定される。ただし、測定値が負になっているのは計器の誤差によると考える。実験と解析を比べると、再循環配管出口部露出時刻が解析の方が2～4秒早いが、これは、解析における放出流量が実際よりも大きいのがおもな原因であると推定される。

#### 4.3 破断ループ

図4.4は、蒸気ドーム圧力（P3）と破断口オリフィスB（容器側）の下流側圧力（P15）の測定値を示す。また、図4.5は、蒸気ドーム、破断ループのポンプ吐出側（P11）、破断オリフィスA（ポンプ側）の上流（P12）・下流（P13）における圧力測定値を示す。この実験は配管のギロチン破断を模擬しようとするものであるから、破断信号により、破断口オリフィスA、Bの下流側にある破裂板が同時に破裂し、これと同時に急速遮断弁（QSV）が閉じるはずであった（図2.1参照）。破断とともに、オリフィス下流の圧力は、大幅にしかも急激に下がるはずである。図4.4に示すように、破断Bのオリフィス下流側圧力は確かに、時刻ゼロで2MPaまで急減している。ところが、図4.5に示すように、破断Aのオリフィス下流側圧力は、時刻2秒で初めて急減している。このことから、破断Aの破裂板は、破断Bが開いてから2秒後に開いたと判断される。なお、時刻0.4秒に破断オリフィスAの上流・下流側で小幅な急減圧が見られるが、これは、急速遮断弁が閉じきる前に破断Bが開いたためである。

本報における解析では、破断時刻のずれは考慮せず、時刻ゼロで破断A、B（ジャンクション53, 54）が同時に開くとする。このために、破断後2秒までの流出流量は、破断Aの分だけ解析の方が多いくなっている。

図4.6は、蒸気ドームおよび破断ループ再循環ポンプの吐出側・吸込側の圧力の計算結果である。解析では、破断オリフィスの下流側は大気圧としている。図4.5と比べて似ており、破断A側（ポンプ側）の流路抵抗はよく表わされているといえる。

図4.7は、容器側破断流の流量とクオリティの計算値を示す。破断後8.3秒にクオリティが急増し、それによって質量流量が急減する。これは、ダウンカマ水位が再循環配管出口部に下がる時期に一致しており（図4.2参照），これが原因であると考えられる。この図に対応する実験データは無い。

図4.8は、ポンプ側破断流の流量とクオリティ計算値を示す。これに対応する実験データはないが、前述のように、実験では時刻2秒から放出が始まったことに注意する必要がある。図4.7に比べて早い時期にクオリティが上昇するのは、ジェットポンプ駆動ノズル・再循環ポンプでの圧損のために減圧するからである。

図4.9は破断ループ再循環ポンプの回転数を、図4.10はそのポンプヘッドを示す。解析におけるポンプ流量はポンプ側破断流量（図4.8）とほぼ等しく、破断直後から逆流する。実験では、ポンプ流量の測定値はないが、急速遮断弁閉止後ポンプ側破断までの2秒間流れは停止し、ポンプ側破断後直ちに逆流を始めたと考えられる。

図4.9によると、実験では時刻4.3秒から、解析では6.3秒からポンプが逆転する。回転数は、定性的には一致するが、特に逆回転時に定量的違いが大きい。逆回転時に解析の方が回転数の絶対値が大きいことから、ポンプ側破断口からの流出流量を過大に計算している可能性が大きい。

図4.10において、ポンプヘッドの計算値が1.4秒から上昇はじめるのは、ポンプボリュームが二相になって抵抗が増大するためであると考えられる。その後10秒以後は、実験と解析の一一致は良好である。しかし、ポンプ回転数が著しく違うことを考え合わせると、ポンプの特性曲線は妥当であるとはいえない、改良が必要である。

図4.11、4.12は、破断ループのジェットポンプ3、4まわりの差圧について実験と解析の比較を示す。解析では、ジェットポンプ3と4は同一条件としている。実験結果でも、両ジェットポンプはほとんど同一条件であったことがわかる。図4.11のジェットポンプ駆動部と吸込部の差圧測定レンジは-0.5~2.5MPaであり、10秒以後負方向に飽和している。差圧計が飽和に至る以前で実験と解析を比較して、かなり相異が大きいが、実験の破断時刻が2秒遅れたことも原因であると考えられる。解析で用いた抵抗係数は幾何学的形状をもとに算出したものであるが、この見積りの誤差がかなり大きいこともありうる。図4.12のジェットポンプ吐出側と吸込側の差圧も、実験と解析の結果の一一致は良くない。

図4.13に、破断ループジェットポンプまわりの流量計算結果を示す。破断後1秒くらいまでにすべて逆流に転じる。

#### 4.4 健全ループ

図4.14は健全ループ再循環ポンプの回転数を、また図4.15はそのポンプヘッドを示す。実験と解析の結果の定量的一致はよくない。実験では約8秒でポンプ回転が止まるが、解析では、正方向の回転が長く持続する。解析におけるポンプ特性が実際とかなり違っている可能性がある。

図4.16、4.17は健全ループのジェットポンプまわりの差圧を示す。実験と解析の一一致はよくない。解析における抵抗係数の見積りの誤差が大きいのが原因と考えられる。

図4.18は、健全ループのジェットポンプまわりの流量計算結果を示す。この解析では、ジェットポンプ吸込配管出口部露出時刻は5.2秒（図4.2）であり、このとき吸込流量は急減する。しかしその後もしばらく吸込流は正方向であり、ジェットポンプ機能停止（吸込流逆流開始）時刻は8.4秒である。

#### 4.5 シュラウド内部

##### (1) 下部プレナム温度

図4.19は、下部プレナム内各部の流体温度測定値を、測定圧力から求めた飽和温度とともに示す。下部プレナム内流体温度はほぼ一様であり、圧力が飽和圧力に下がるまでは一定である。破断後17秒に飽和に達して下部プレナムフラッシングが起こり、その後は飽和温度に従って下降する。

図4.20は、下部プレナム流体温度と飽和温度の解析結果を示す。解析では、下部プレナムは上下方向に三つのボリュームに分割されている。定常状態では均一温度であるが、破断後各ボリュームごとに異なった温度となり、また8秒から10~12秒にかけて温度上昇が見られる。これは、比較的エンタルピの高い流体が、炉心部から逆流することによる。実験でこの時期に逆流があったかどうかを直接的に示すデータはないが、下部プレナム温度が一定であること(図4.19)から、実際には逆流はあったとしても非常に小さかったと思われる。この違いは、ジェットポンプ、炉心部などの抵抗係数の見積りが正しくないことによると考えられる。

実験では、破断後17秒に下部プレナム全体でほぼ一齊に飽和に達してフラッシングを開始するのに対し、解析では、破断後10.7秒から12.3秒にかけて順次フラッシングを開始する。圧力の解析結果(図4.1)において、下部プレナムフラッシング開始が実験結果ほど明瞭に現われていないのは、フラッシング時期がずれていることによると思われる。また、実験よりも解析の方がフラッシングが早い理由は、それ以前の圧力低下が早いのと、下部プレナム温度が上昇することの二つである。

##### (2) 差圧と流量

図4.21は、下部プレナム(ボリューム1)と上部プレナムの差圧の実験(D1)と解析の結果を示す。破断直後2秒くらいで差圧が急減するのは、おもに炉心流量の急減による。その下がり方は解析の方が速い。その後低下を続けるのは、流量減少と炉心内流体密度の低下による。実験と解析の一致は良好であるが、解析結果はかなり振動的である。また実験では、17秒付近に、下部プレナムフラッシングに伴う流量増大の効果が見られるが、解析ではこれが見られない。

図4.22は炉心入口流量の計算値を示す。この計算では、BWRのLOCA解析で見られるような下部プレナムフラッシングによる流量回復<sup>(8)</sup>は見られない。この図に相当する実験データはない。しかし、実際に下部プレナムフラッシングによる流量増大があったことは図4.21から明らかであり、実験と解析の一致はあまりよくない。

図4.23は上部プレナムと蒸気ドームの差圧の実験(D2)と解析の結果を示す。差圧の絶対値が小さいため、両者の相対的一致はよくない。図4.24は、圧力容器の下端と上端の差圧の実験(D5)と解析の結果であり、図4.21と図4.23の差圧の合計である。破断後3秒くらいは解析の方が速く差圧が減少するが、その後は、実験と解析がよく一致している。

## (3) 水位

電極式プローブおよびヒータ表面の熱電対データから推定した炉心および下部プレナム内水位の変化を図4.25に示す。ヒータ表面温度については第(5)項で述べるが、各位置の温度が飽和温度より大きく上昇するときその位置は水面よりも上にあるとここでは考える。

炉心内の電極式プローブは、チャンネルボックス内側に取り付けてある。電極式プローブの生データの例として、チャンネル内の7点の出力を図4.26に示す。プローブの周囲のクオリティが低いほど大きな信号出力となる。この図からもわかるように、必ずしも明瞭な水位が存在するわけではなく、図4.25の結果はかなりの幅をもったものであると考えるべきである。

破断後約14秒に、Pos.5とPos.6の間まで水位が急落下するが、その後の下部プレナムフラッシングにより、Pos.3とPos.4の間まで上昇する。その後再び水位はPos.5より下へ下降するが、Pos.6より下へは行かず、炉心下部には常に水が存在する。そしてLOCI作動以後、破断後85秒ごろから炉心内水位は上昇しあはじめる。

図4.25で、二つの方法で求めた水位はだいたい一致するが、85秒以後の再冠水のときには、その結果がかなりずれる。電極式プローブによる水位上昇は5秒くらいで完了してしまうのに対し、ヒータ表面のリウェットは、下から上へ30秒くらいかけて徐々に進行する。これは、再冠水時には、ヒータ温度が高いためにヒータ表面がぬれにくく、初めに水がチャンネルボックス内面に沿って上昇し、その後遅れてヒータがぬれるものと思われる。

図4.26において、Pos.1～4で、破断後47～50秒からはそれ以前よりも若干出力信号が大きくなっている、しかもこれは上から進行している。これは、炉心スプレイの水がチャンネルの上からチャンネルボックス内面に沿って膜状に落下したためと考えられる。その後85～95秒に、Pos.4からPos.1まで下から順にさらに信号出力が増しており、このときに水位が上昇したと考えるのが妥当である。

図4.25からわかるように、炉心下部には常に水があるのに、それよりも下方、下部プレナムには水位ができている。そして、下部プレナム内が再度満水になるのは、炉心が満水になるよりも遅れる。これは、下部プレナムで発生した蒸気の上昇流のために、炉心入口部でCCFL(Counter Current Flow Limiting)が生じ、炉心部の水が保持されるためである。

解析では、下部プレナムを3個のボリューム、炉心を5個のボリュームに分割し、それぞれに気水分離モデルを採用する。図4.27に、下部プレナム各ボリュームの水位計算結果を示す。このような水位のでき方はもちろん非現実的であり、現実には図4.25のように、下部プレナム全体で気水分離が起こる。

炉心部でも同様に、解析では各ボリュームごとに水位ができる。図4.25の実験結果によると、炉心上部には蒸気が多く(クオリティ大)、炉心下部には比較的水が多い(クオリティ小)のはずである。一方解析では、図4.28に示すように、炉心内クオリティは比較的一様に分布しており、出力密度の高い炉心中央でややクオリティが高い。この解析では、各ボリュームごとに気水分離を扱うが、ジャンクションでは気液スリップを考慮しない。このことが、炉心下部での蓄水を計算で考慮することを困難とする一因になっている。これはRELAP4Jコードの欠点であるといえる。

#### (4) 上部タイプレート近傍温度

図4.29, 4.30は上部タイプレート上下の温度測定値を示す。測定位置は図2.4に示す。炉心水位が急低下する14秒頃から、タイプレート下側の温度計は、過熱蒸気の存在を示す。これは、炉心上部が乾いてさらに加熱されるためである。さらに、20秒には上部タイプレート上側も乾いて過熱蒸気となる。HPCS作動開始以後数秒後に、上部タイプレート上側はリウェットし、その後ずっと飽和温度に沿って変化する。ところが上部タイプレート下側の温度は、90秒くらいまで過熱状態のままである。このことから、20秒から90秒くらいまでの期間、タイプレート上に水があるが、上昇する過熱蒸気の流れが支配的であって、タイプレートを通して落下するスプレイ水の量は少ないと推測できる。

図4.29と図4.30の比較からわかるように、タイプレート上側の温度はチャンネル内のどの位置でもほぼ同様であるが、タイプレート下側の温度は、チャンネル内中央部と周辺部とで若干異なる。HPCS作動開始後、一部の水はタイプレート穴を通して落下するが、この液落下は、特にチャンネル周辺部に多く、中央部には少ないことがわかる。

破断後90秒に上部タイプレート下側の温度が飽和になり、この部分がぬれたと考えられるが、これは、水位計のデータ（図4.25）で、水位が炉心頂部に達する時刻にほぼ一致する。

27秒から90秒まで炉心スプレイとして上部プレナムに注入された水がどこに行くか、すなわち、上部プレナムに溜まるか、また気水分離器を通して失われるのか、そしてまた、85秒から95秒に炉心内に流入する水はどこから来るのか、上からか下からか、この実験のデータだけでは判断できない。今後の実験において、上部プレナム、バイパス、案内管の中の水位、温度分布を測定することが望まれる。この実験では、図2.6に示すように、炉心出口部にタービン流量計およびチャンネルボックス延長筒を取り付けており、スプレイ水が特にはいりにくくなっている。このため、延長筒の外側または内側にのみ水が溜まっていることも考えられる。

RELAP4Jによる解析では、ジャンクションの流れは均質とし、気液対向流はもちろん、気液相対速度を扱うことができない。したがって、上部プレナムに注入されたECC水は、全体の流れが上向きである限り炉心部へ落下しない。また落下する場合は、炉心上部から順に水分が増していくことになる。この点は実現象を表わしているとはいはず、コードの改良が必要である。

#### (5) ヒータ表面温度

図4.31は、ヒータロッドA33の高さ方向7点の温度測定結果である。破断後14秒でPos.4（中央高さ）から上の位置で一斉に温度の急上昇が始まる。これはヒータ表面のドライアウトを意味する。Pos.5でやや遅れて温度上昇があるが、その後、破断後17秒、20秒に、それぞれPos.5, Pos.4でリウェットしている。このリウェットは、下部プレナムフラッシングに伴う流量増大と水位上昇による。その後、水位低下によってPos.4は再びドライアウトする。

LPCI注入開始後85秒以後、水位の上昇によって、Pos.4より順に上に向かってリウェットしていく。図4.24に示したように、電極式水位計で示される水位は急速に上昇して、95秒には炉頂部に達する。水位計で示される水位の上昇に応じてPos.4では直ちにリウェットするが、Pos.3, 2, 1の温度は、上昇から下降へわずかに傾きを変える。水位計がリウェットしたとき、

チャンネルボックスに沿った水膜ができており、これを冷熱源とする放射伝熱および、水膜から発生する液滴によるヒータの冷却が促進される。Pos. 3, 2, 1では、温度がわずかに下降を始めてからかなり遅れて下から順にリウェット（クエンチ）する。リウェット前のヒータ温度が高い（高さが低い）位置ほどリウェットが早くなっているのは、位置の低いほどクオリティが低いためである。

図4.32～4.34は、Pos. 2, 4, 6におけるヒータ表面温度の実験と解析の結果を示す。実験データは、ロッドA33, C33, C77, D27, D88について示す。解析ではロッドごとの区別はない。

実験では、14秒にPos. 4から上でドライアウトするが、解析ではこれより3秒早く、炉心のほとんどの位置でドライアウトする。これは、解析における炉心入口流量（図4.21）が小さ過ぎる（逆流を含めて）のがおもな原因であろう。前述のように、解析では8～12秒に逆流があるが、実験では逆流がなかったとみられる。

Pos. 2（図4.32）では実験と解析がほぼ一致しているが、Pos. 4（図4.33）、Pos. 6（図4.34）では解析の方がかなり高めの温度となっている。Pos. 4において、実験では、20秒に下部プレナムフラッシングによるリウェットがあったのに、解析ではこれが表わされていない。これは、下部プレナムフラッシングによる炉心流量増大が解析で表わされていない（図4.22）ためである。Pos. 6のヒータ表面は、実験ではぬれたままであるが、解析では10秒でドライアウトし、80秒過ぎまでリウェットしない。

(3)項で述べたように、実験では炉心下部に水が多く、炉心上部には蒸気が多く存在するのに對し、解析では炉心全体規模の気水分離の取り扱いが不完全なため、実験と比較して気水が一様に分布している。その結果、クオリティは、炉心上部では実験の方が大きめになり、炉心下部では反対に解析の方が大きめになる。したがってヒータ温度は、炉心上部では実験の方が高めになり、炉心下部では解析の方が高めになる。

実験では、85秒以後チャンネル内に多量の水が流入して再冠水している。この解析では、計算上の不安定により85秒で計算を打ち切っているが、少なくともそれまでにはヒータのどの位置でもリウェットしていない。

図4.35は、炉心全体のヒータから流体への伝熱量の計算値を示す。9秒から11秒に、ヒータがドライアウトすることにより伝熱量が急減している。これが、この時期に圧力計算値が低下しはじめる（図4.1）原因の一つとなっている。実験ではドライアウト時期が3秒ほど遅れており、圧力が低下しはじめる時期もやはり3秒ほど遅れる。

#### (6) ECCS 流動

図4.36は上部プレナムおよび気水分離器内の流体全質量計算値を、また図4.37はバイパスおよび案内管の流体全質量計算値を示す。

図3.4からわかるように、27秒から66秒までのスプレイ水注入量は約1 kg/sであり、これと図4.35とから、この解析ではスプレイ注入量がほとんどそのまま上部プレナム内質量増加量となっていることがわかる。図4.28と図4.37からわかるように、スプレイ水は炉心部、バイパスにはいっていない。RELAP4Jコードでは、ジャンクションは均質量とし、気液対向流は扱えない。しかも、ECCS水がサブクール水であるために蒸気の凝縮によって上部プレナムの

圧力は低くなり、バイパス・炉心から流れを吸い込むこととなる。実験では、この期間にスプレイ水がどこにどれだけ流れ込んだかを示すデータはない。しかし、実際には、炉心およびバイパスの頂部で気液対向流が生じ、炉心・バイパスから上部プレナムへ蒸気が吹き上げると同時に、一部のスプレイ水が炉心・バイパスへ落下すると考えられる。

実験では、85秒以後に炉心再冠水が起こるが、この解析は85秒で打ち切ったため、再冠水に至っていない。

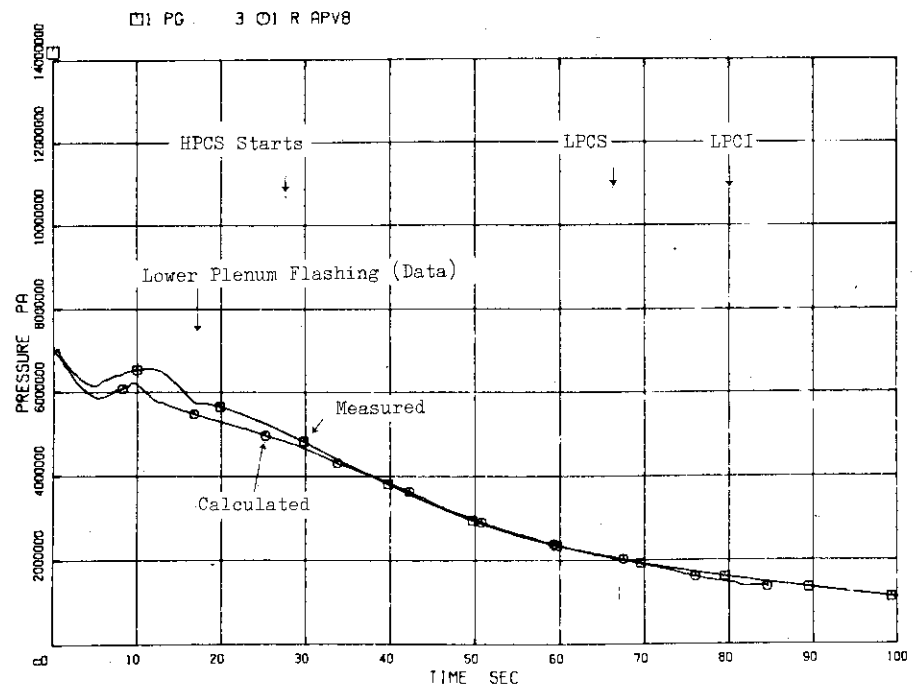


Fig.4.1 Steam Dome Pressure, Case 1

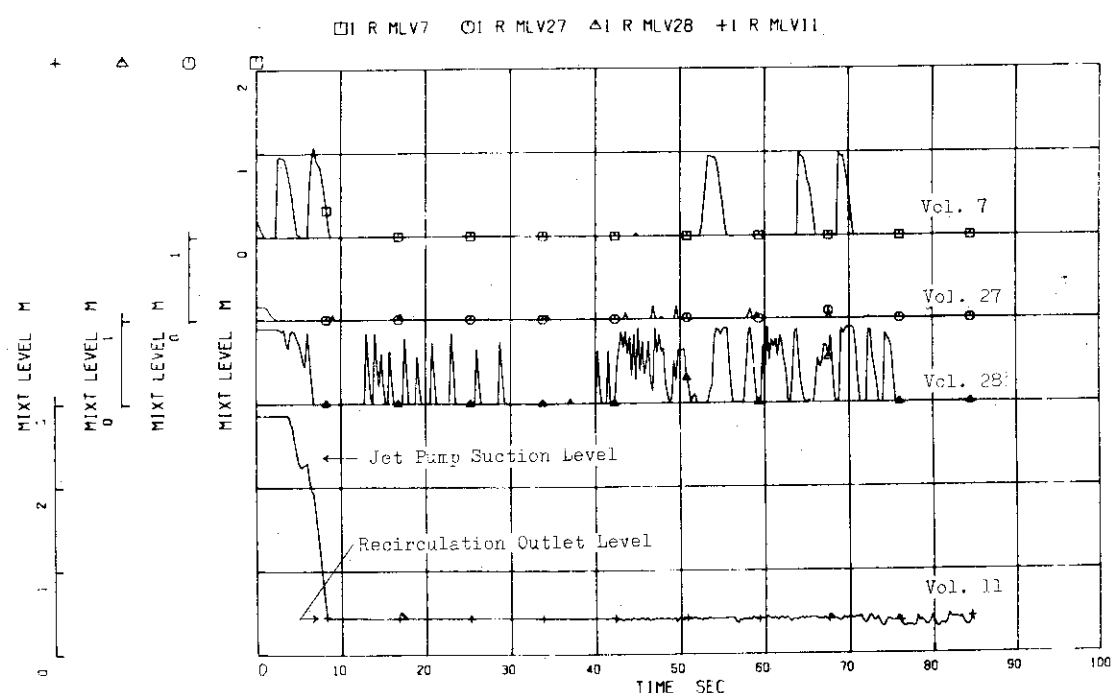


Fig.4.2 Calculated Mixture Levels in Downcomer, Case 1

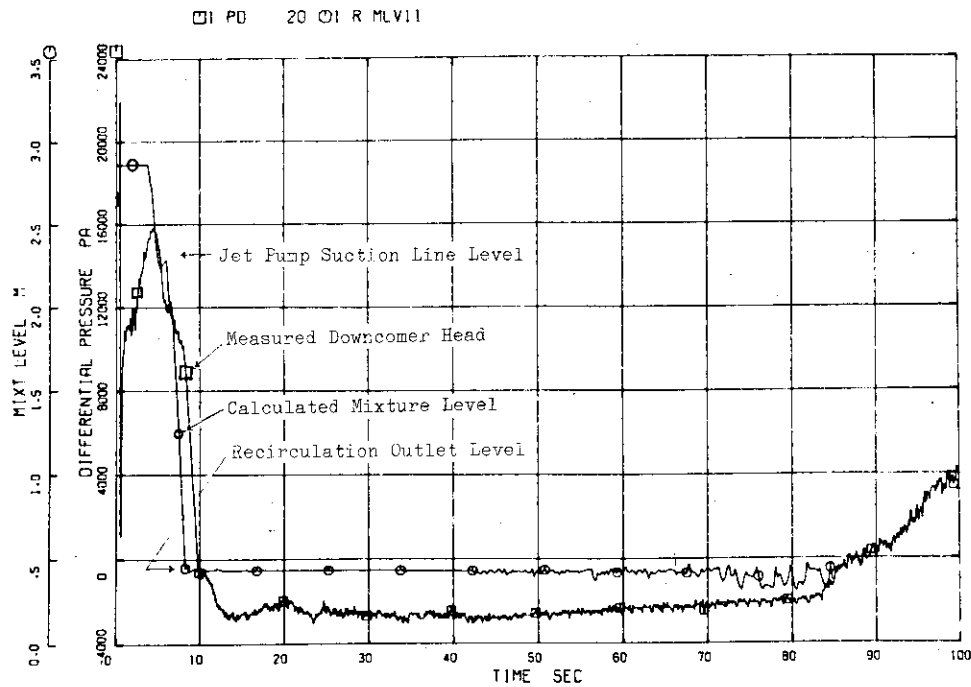


Fig.4.3 Calculated Downcomer Mixture Level and Measured Downcomer Head, Case 1

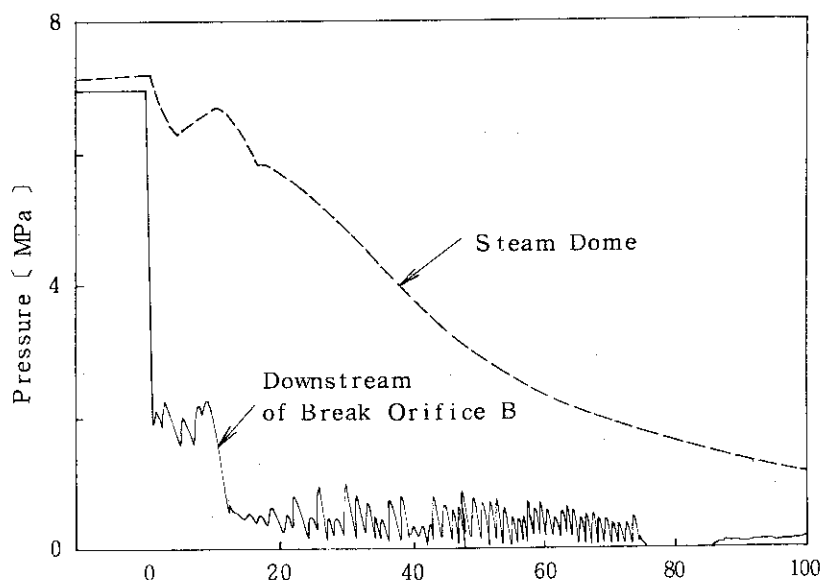


Fig.4.4 Measured Broken Loop Pressure, Vessel Side

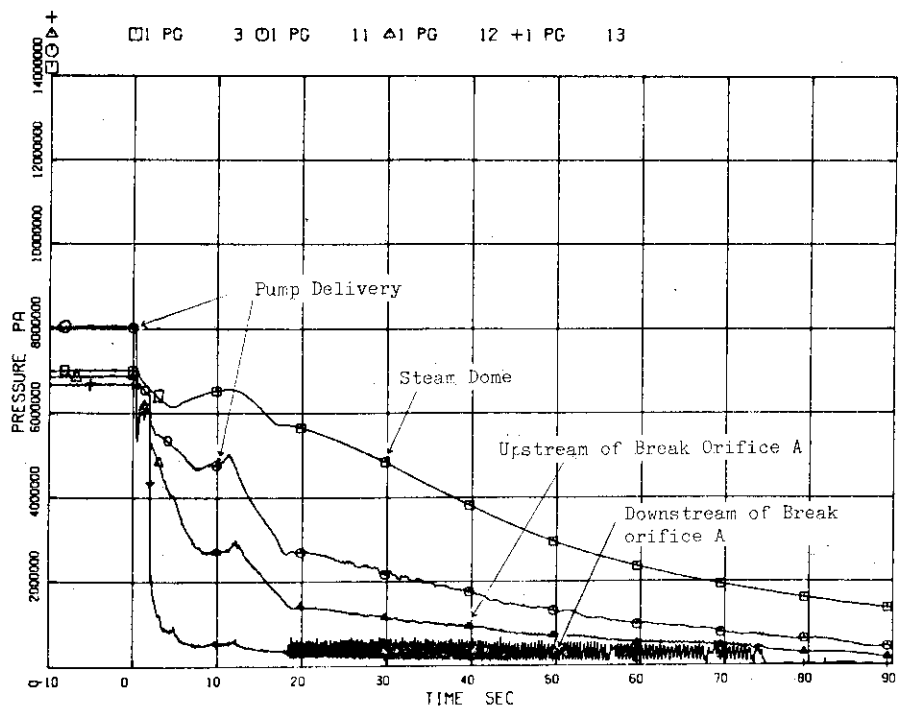


Fig.4.5 Measured Broken Loop Pressure, Pump Side

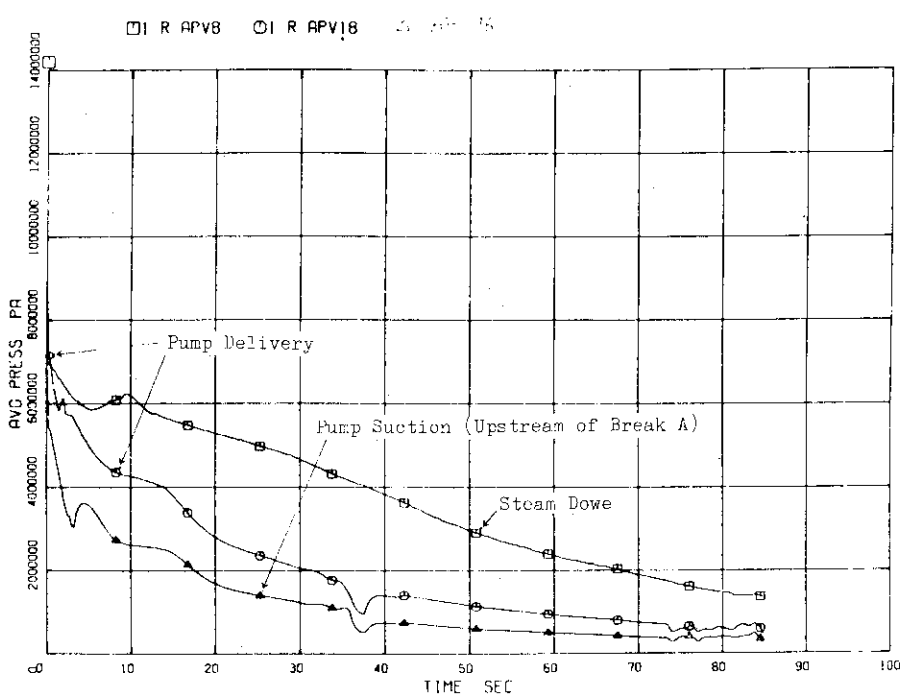


Fig.4.6 Calculated Broken Loop Pressure, Case 1

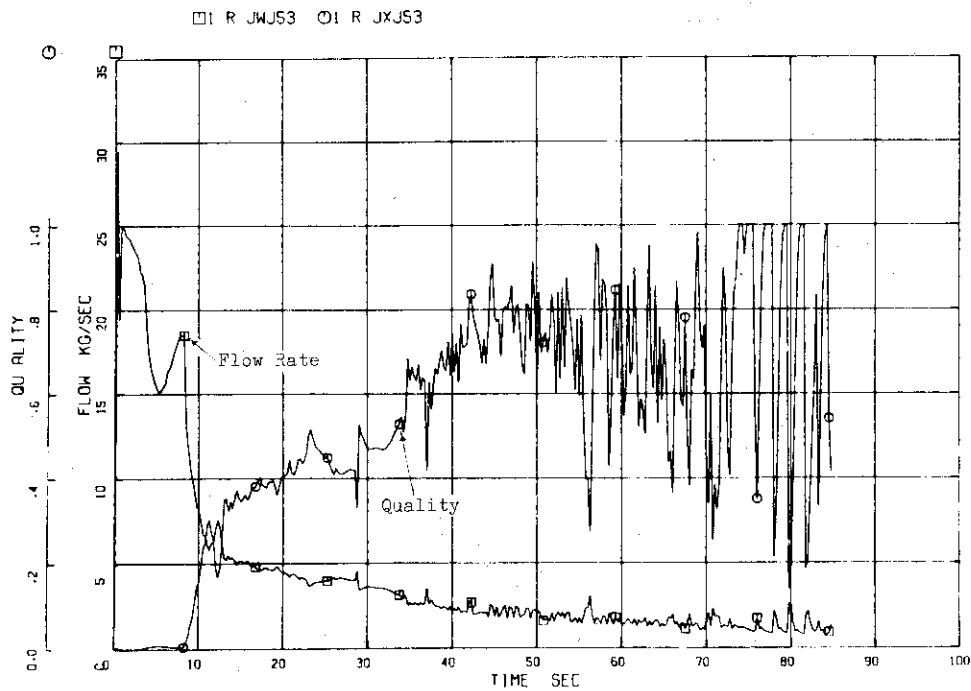


Fig.4.7 Calculated Vessel Side Break Flow, Case 1

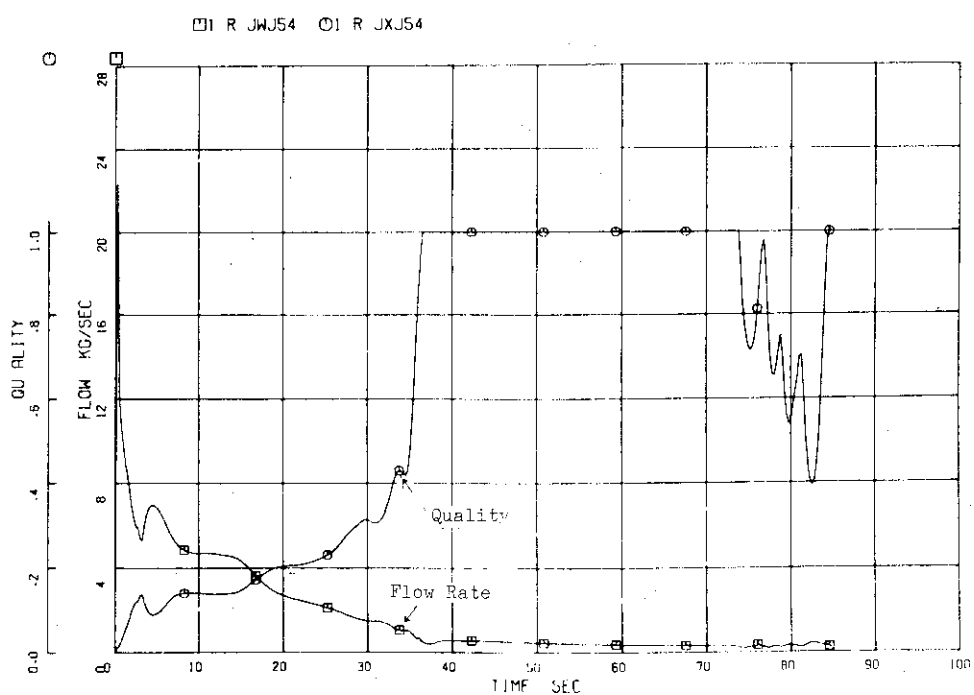


Fig.4.8 Calculated Pump Side Break Flow, Case 1

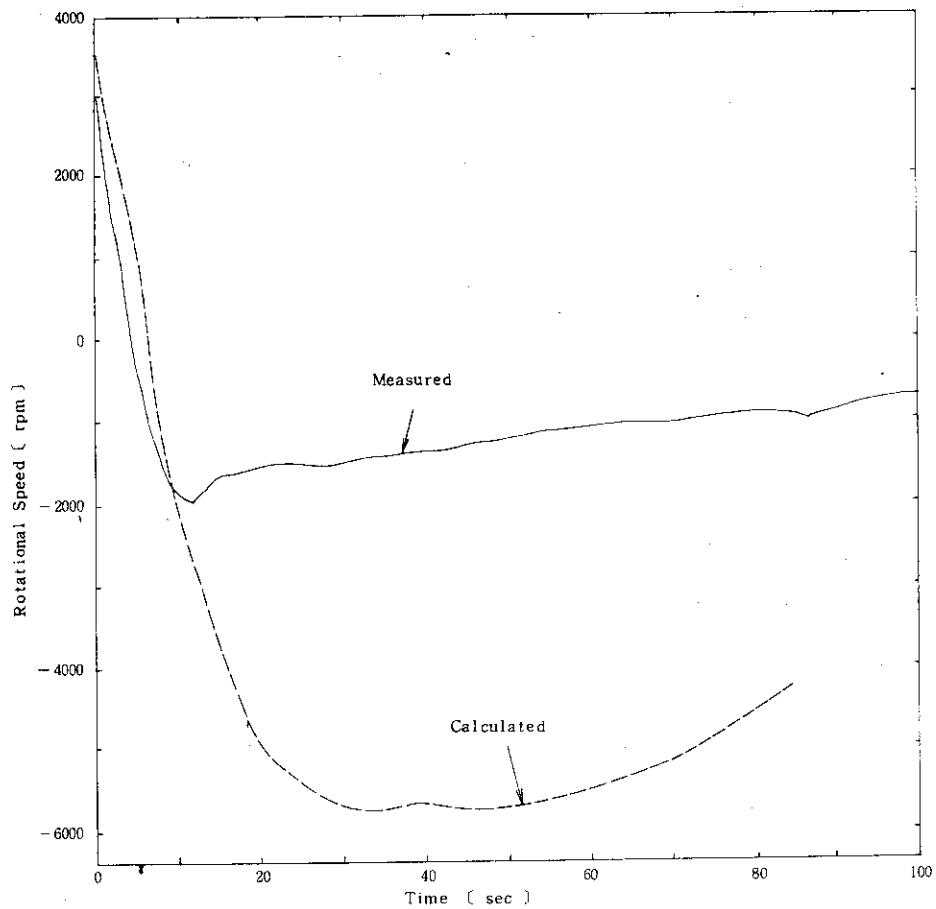


Fig.4.9 Broken Loop Recirculation Pump Speed, Case 1

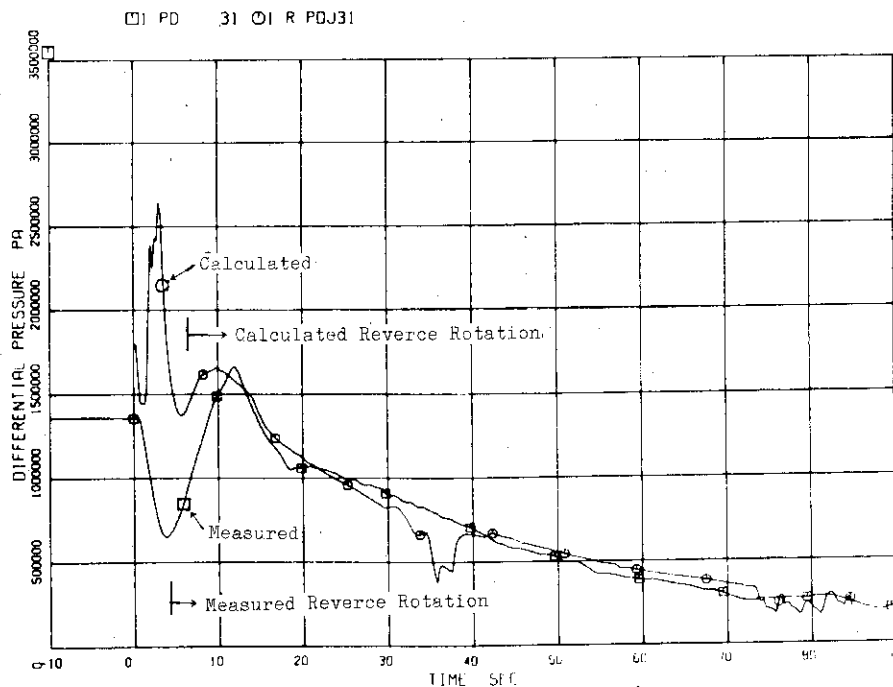


Fig.4.10 Broken Loop Recirculation Pump Head, Case 1

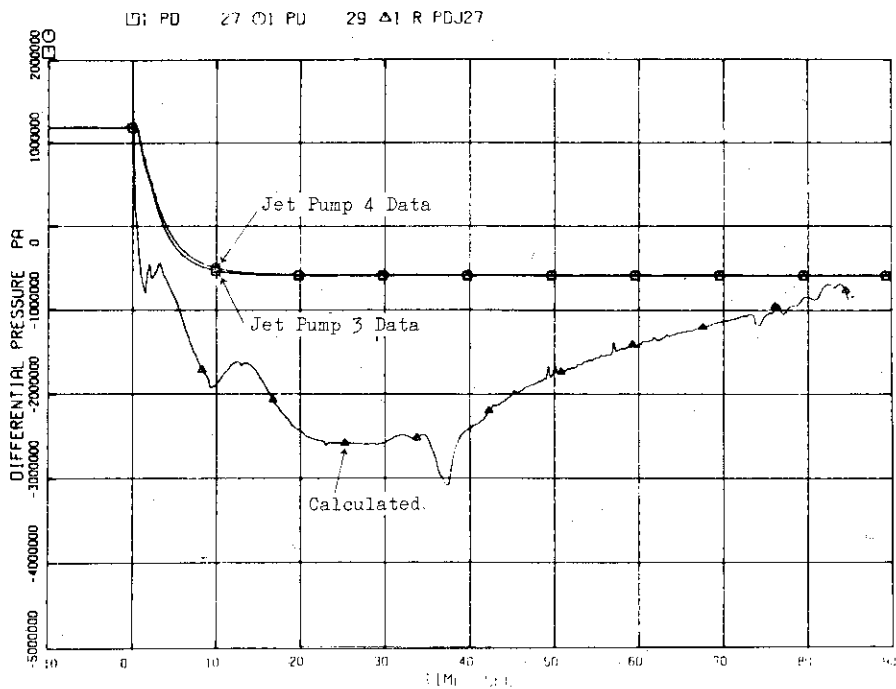


Fig.4.11 Broken Loop Jet Pump Drive-Suction Differential Pressure, Case 1

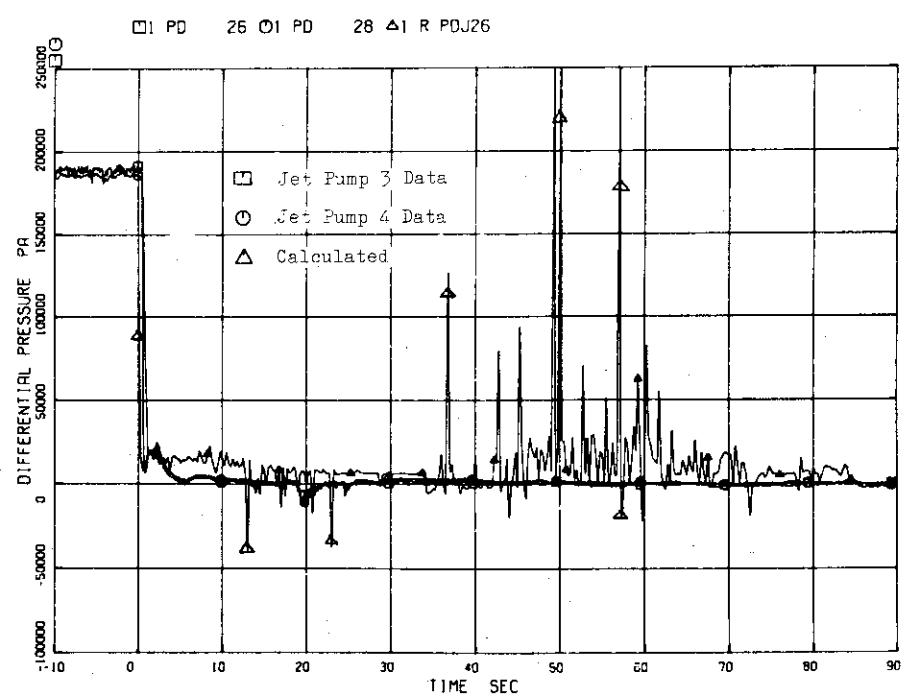


Fig.4.12 Broken Loop Jet Pump Discharge-Suction Differential Pressure, Case 1

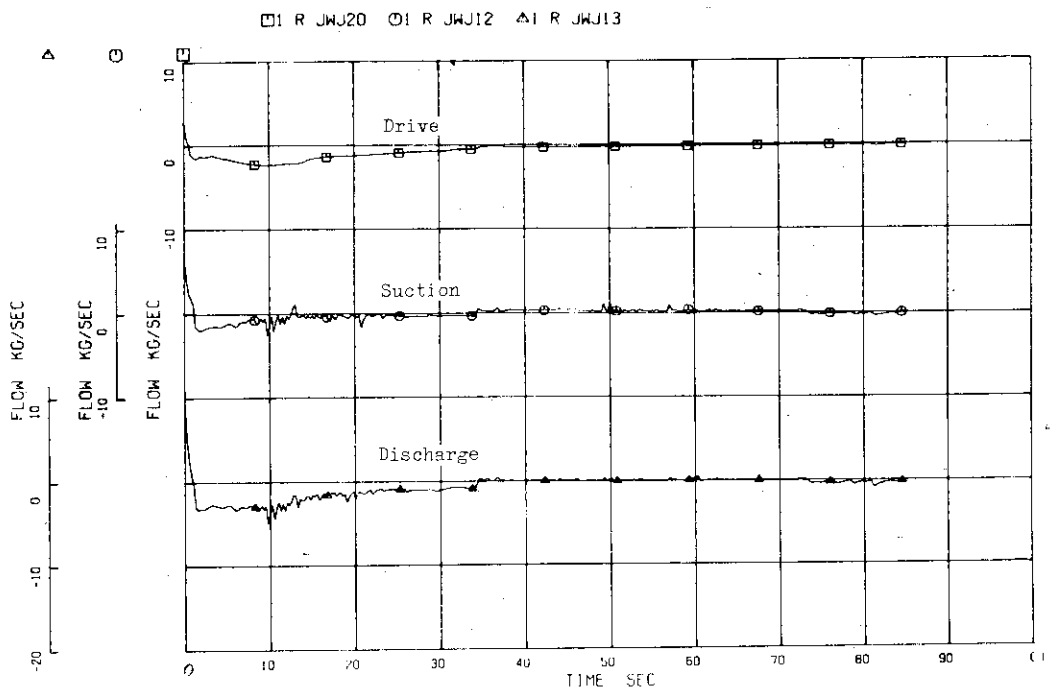


Fig.4.13 Calculated Broken Loop Jet Pump Flow Rates, Case 1

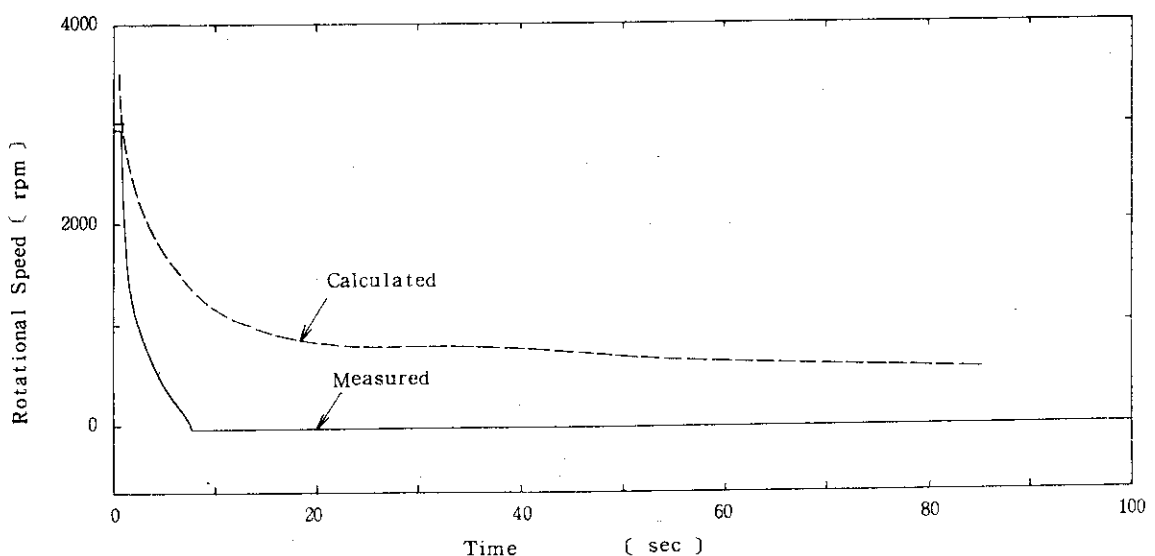


Fig.4.14 Intact Loop Recirculation Pump Speed, Case 1

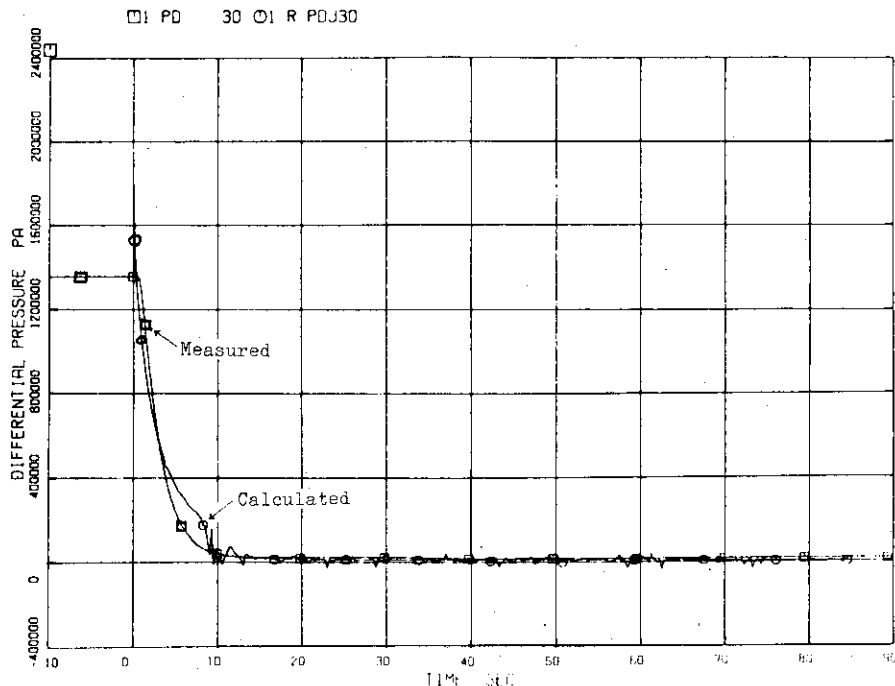


Fig.4.15 Intact Loop Recirculation Pump Head, Case 1

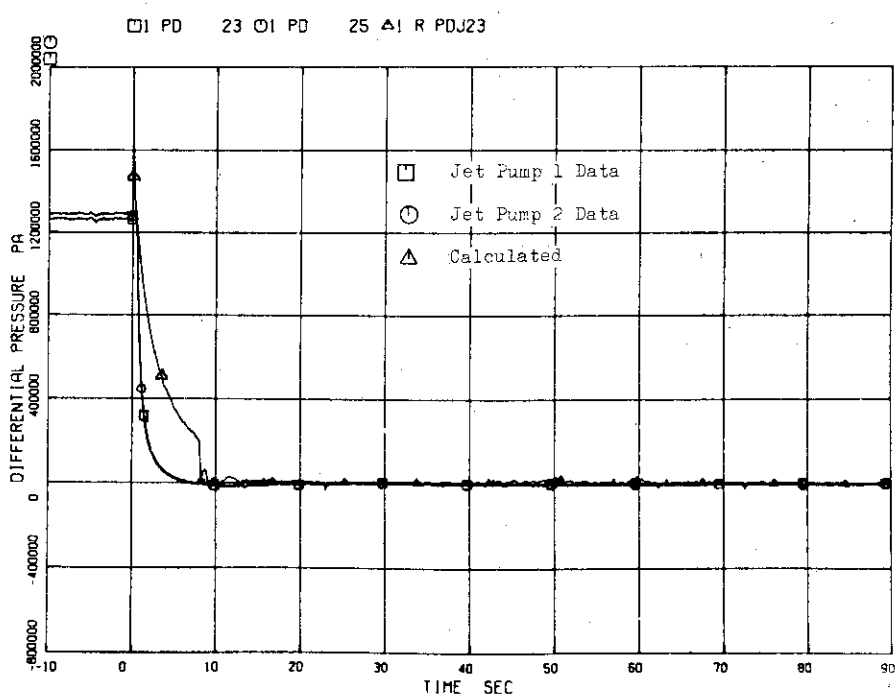


Fig.4.16 Intact Loop Jet Pump Drive-Suction Differential Pressure, Case 1

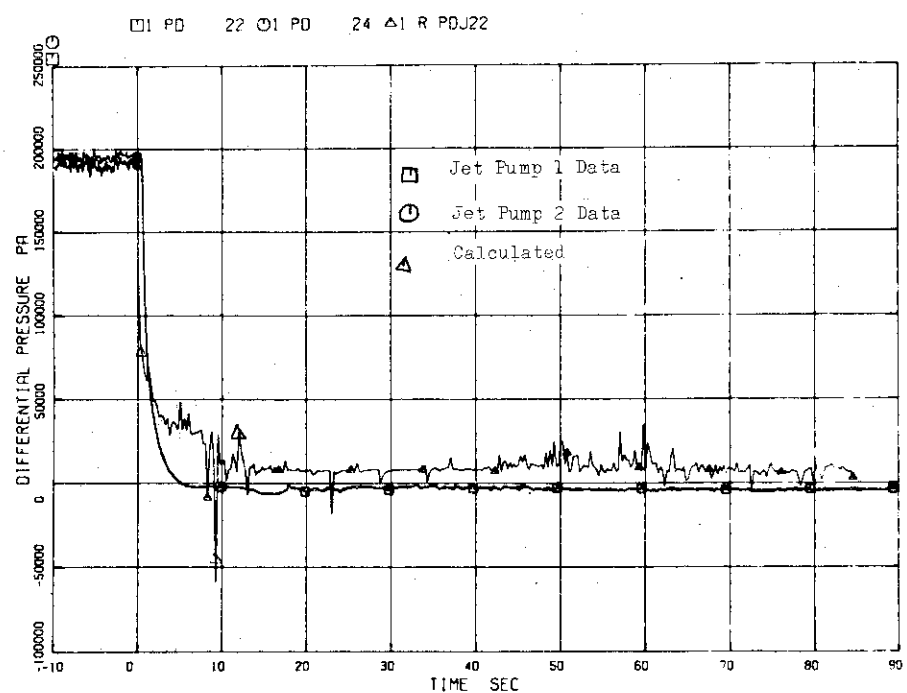


Fig.4.17 Intact Loop Jet Pump Discharge-Suction Differential Pressure, Case 1

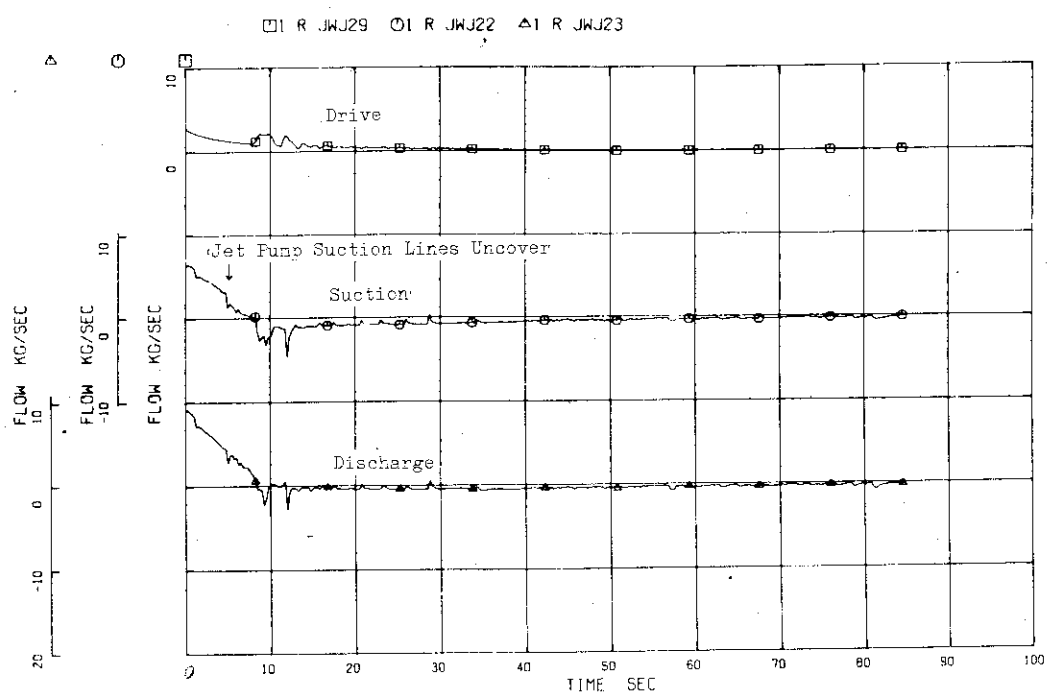


Fig.4.18 Calculated Intact Loop Jet Pump Flow Rates, Case 1

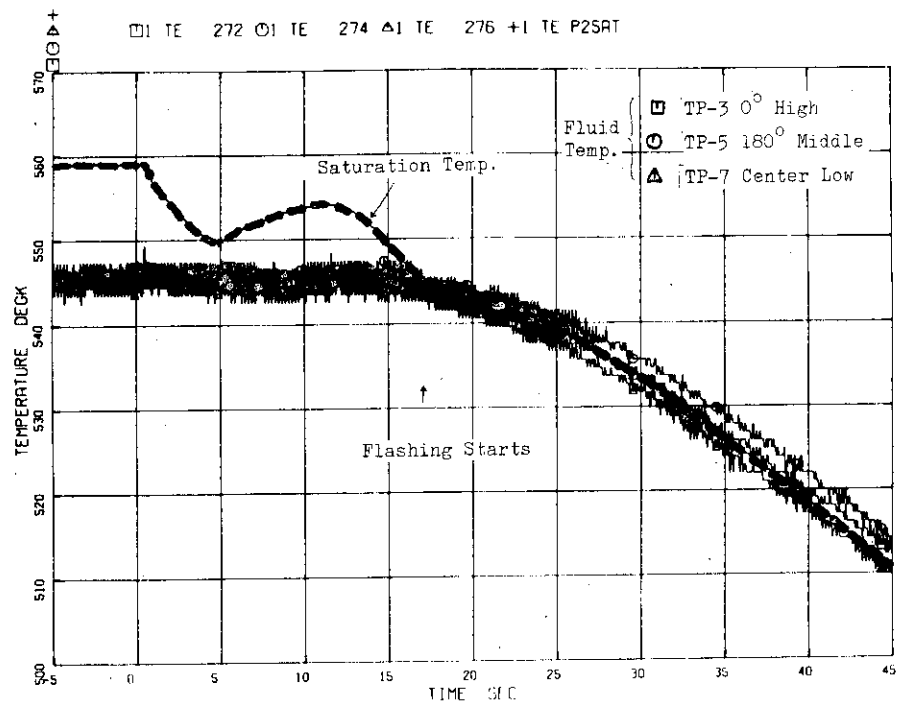


Fig.4.19 Measured Lower Plenum Temperatures

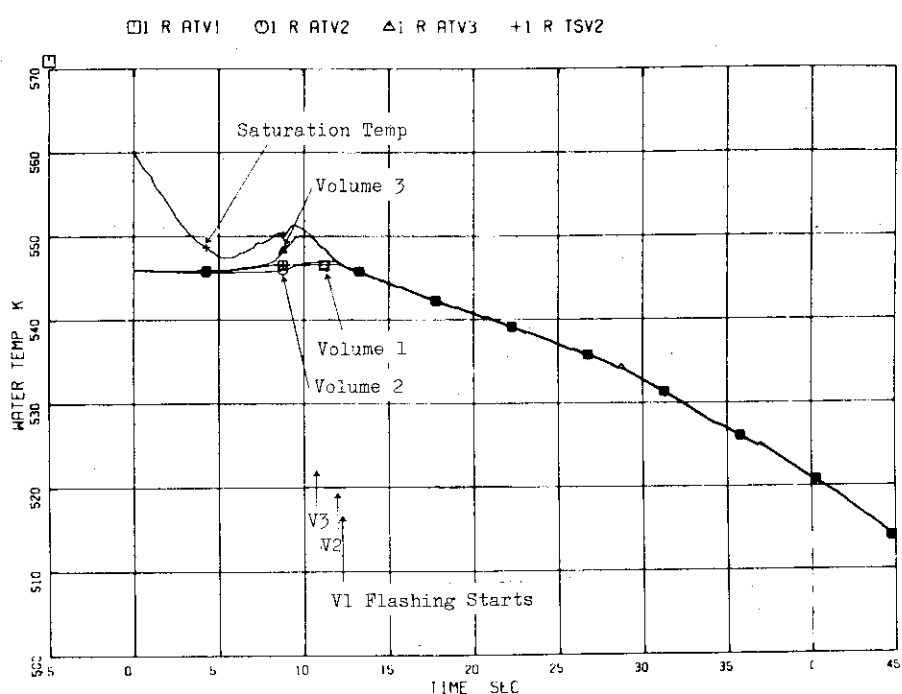


Fig.4.20 Calculated Lower Plenum Temperatures, Case 1

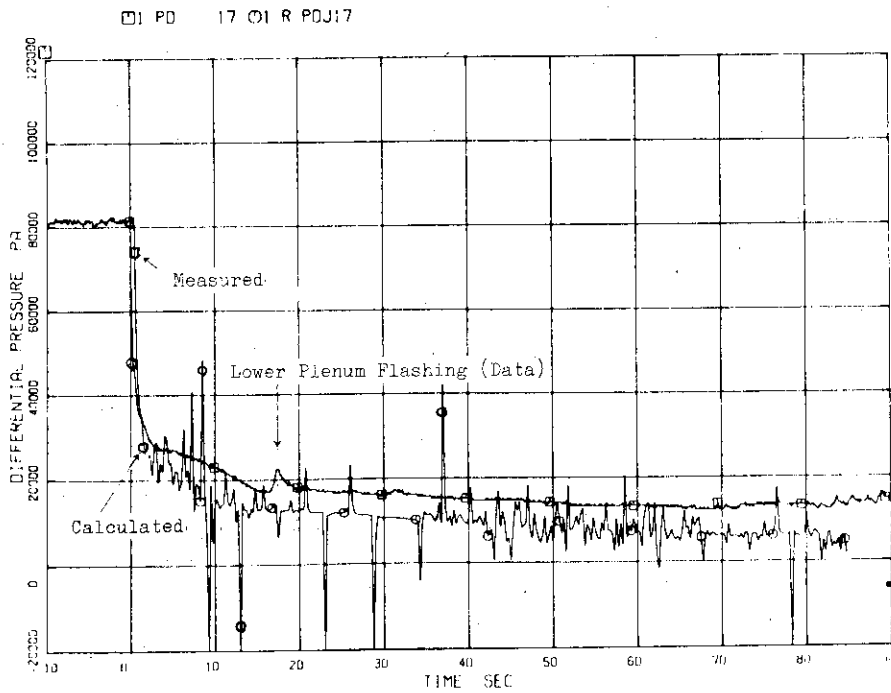


Fig.4.21 Differential Pressure Between Lower Plenum and Upper Plenum, Case 1

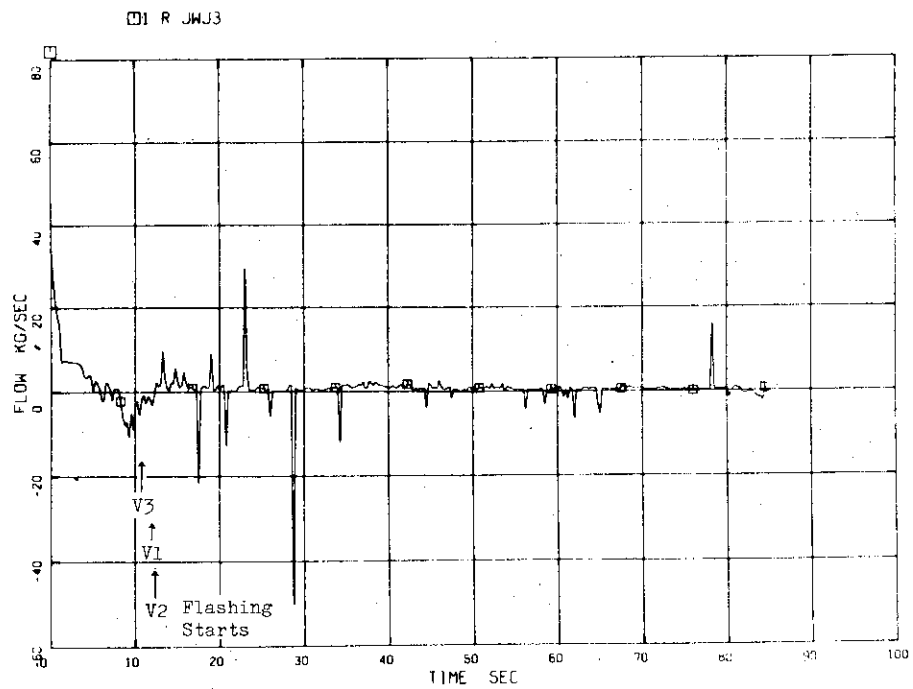


Fig.4.22 Calculated Core Inlet Flow Rate, Case 1

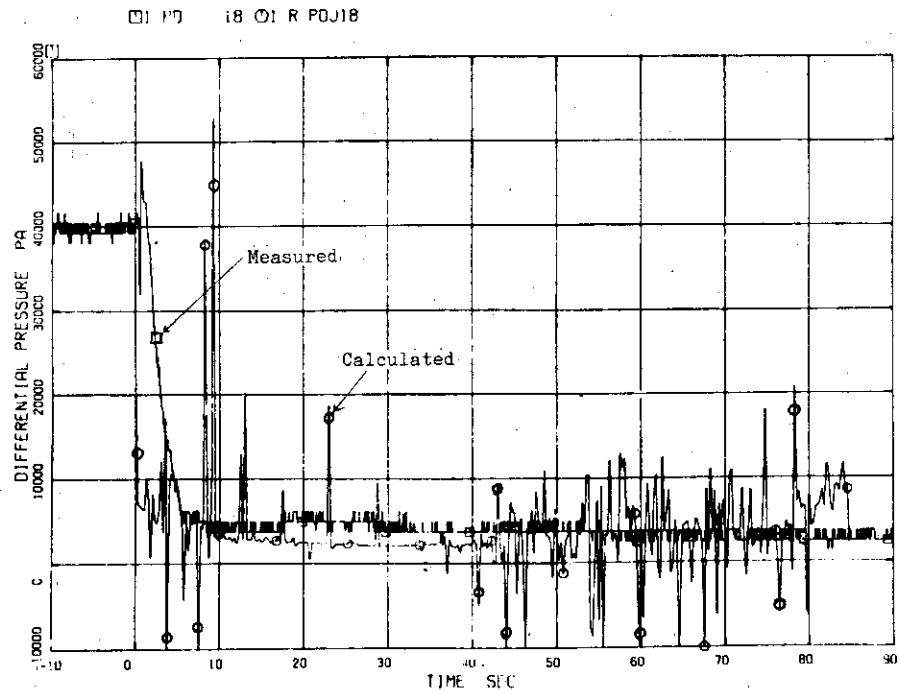


Fig.4.23 Differential Pressure Between Upper Plenum and Steam Dome, Case 1

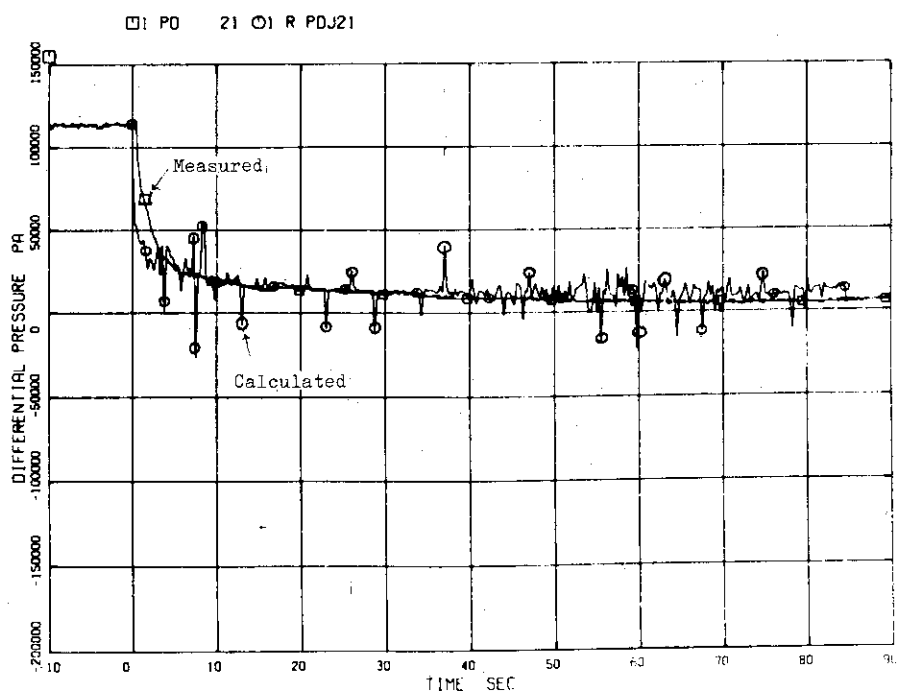


Fig.4.24 Differential Pressure Between Lower Plenum and Steam Dome, Case 1

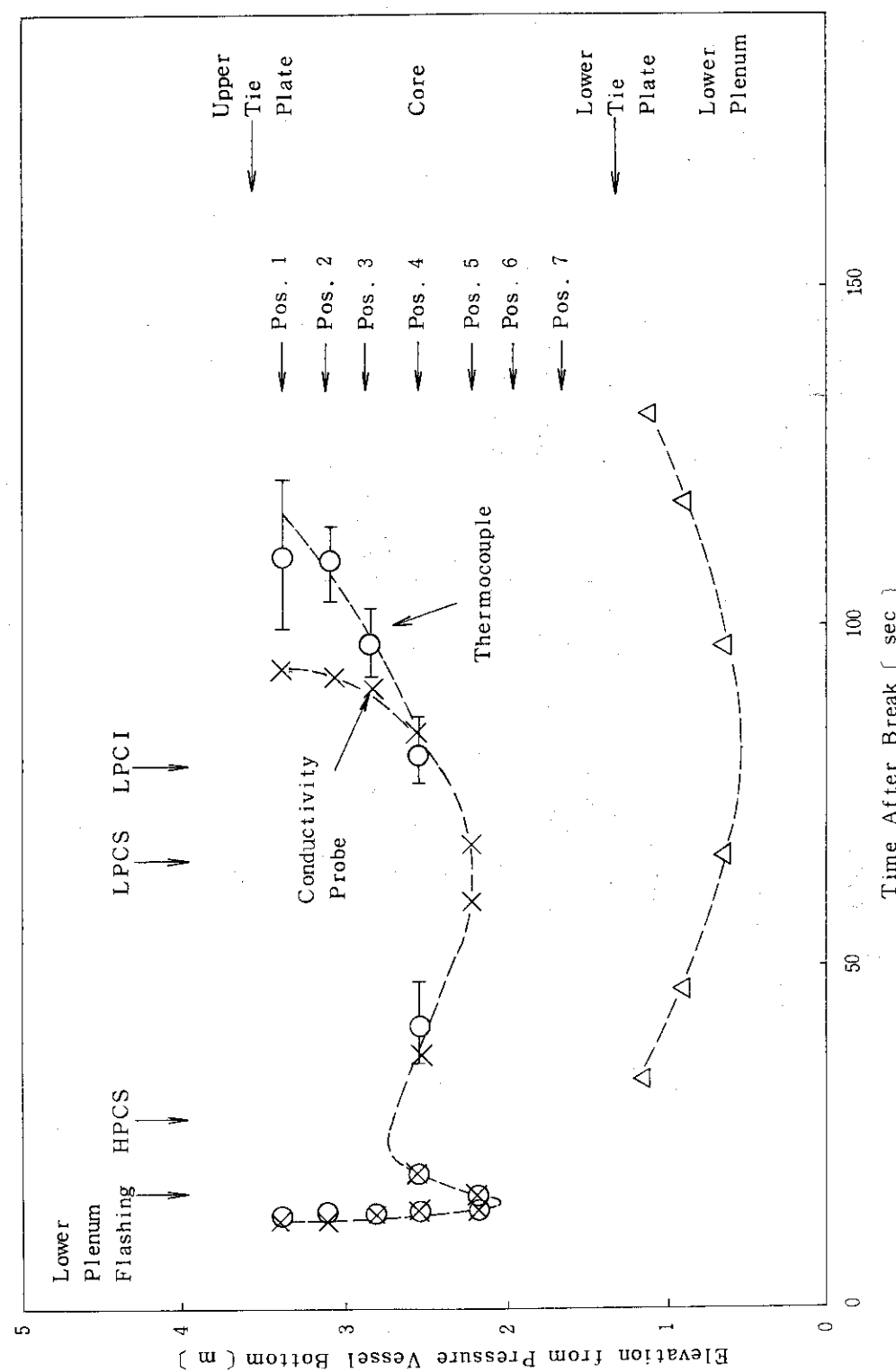


Fig. 4.25 Measured Mixture Levels in Shroud

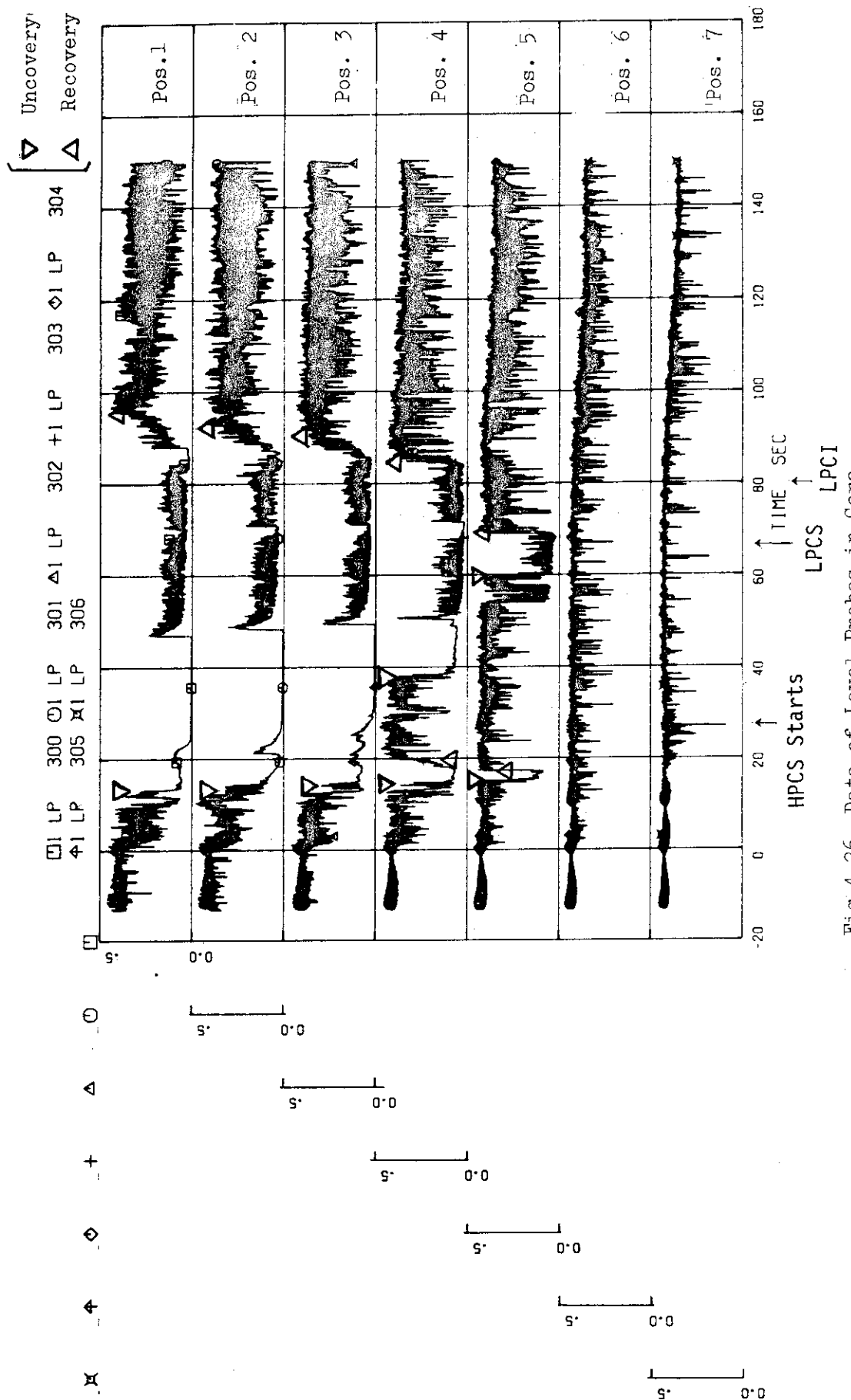


Fig.4.26 Data of Level Probes in Core

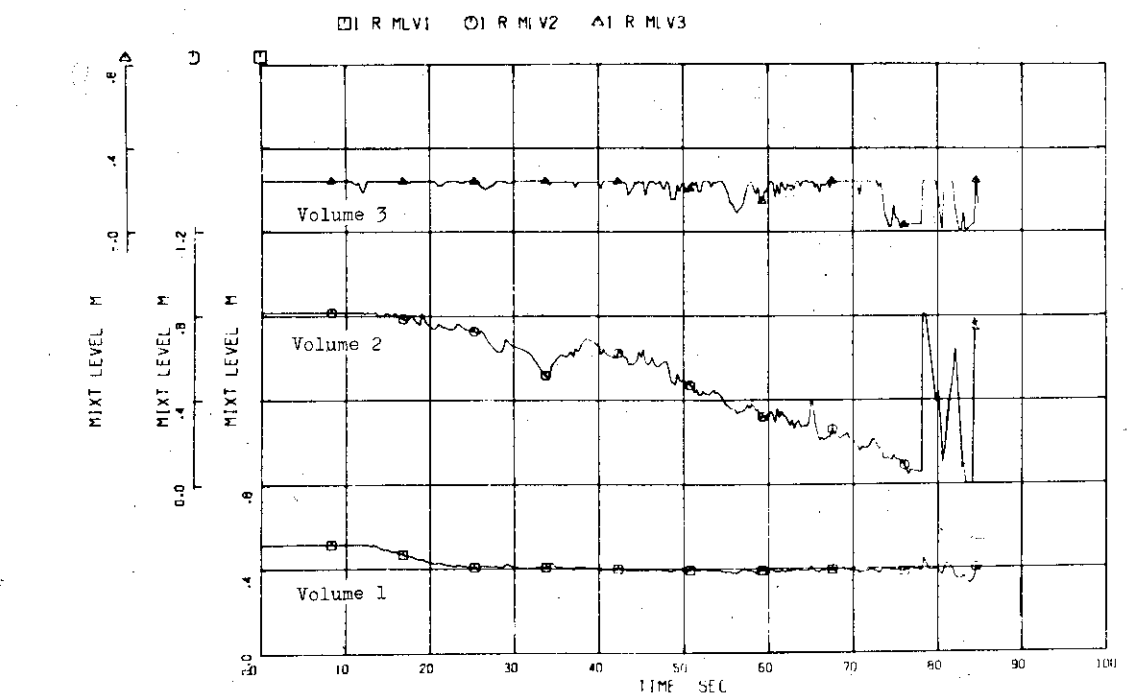


Fig.4.27 Calculated Mixture Levels in Lower Plenum, Case 1

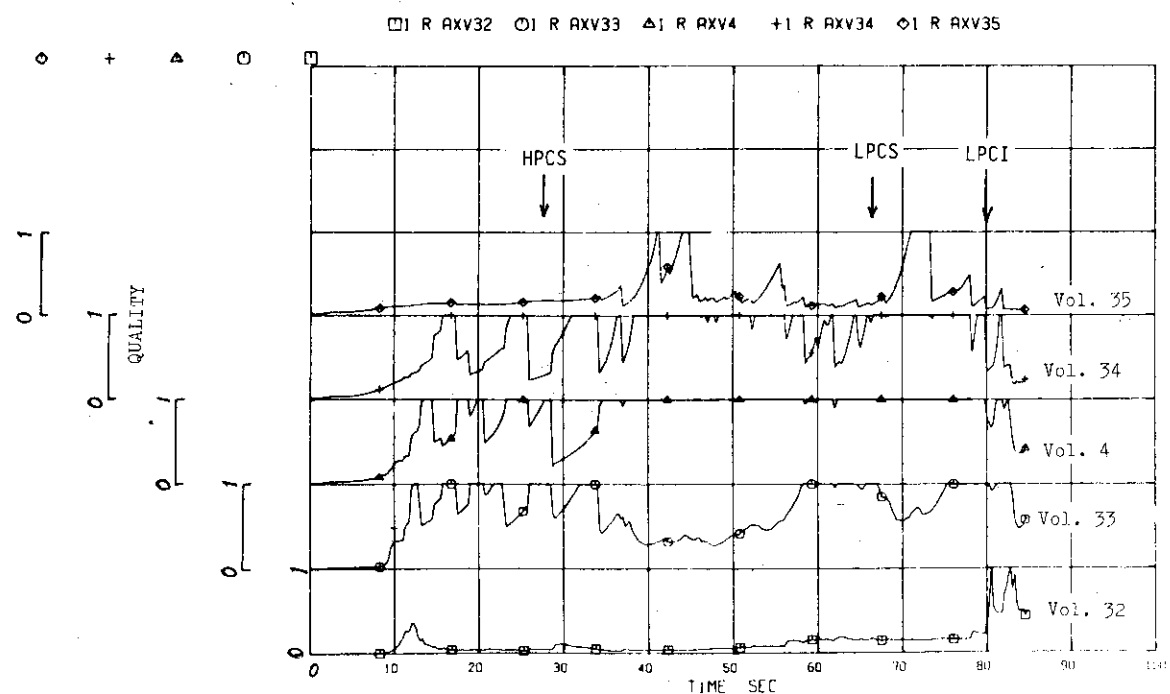


Fig.4.28 Calculated Qualities in Core, Case 1

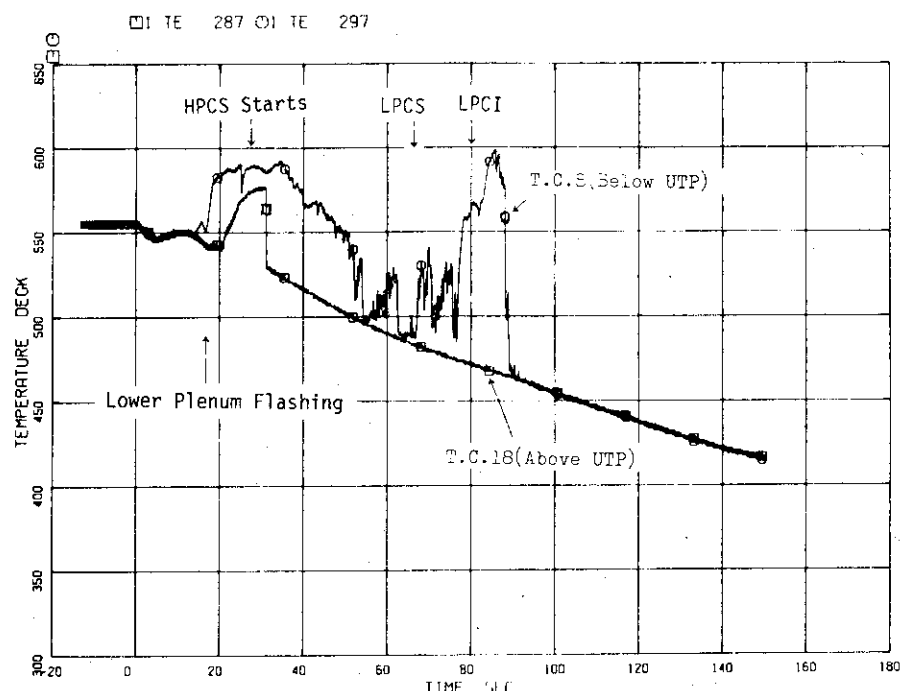


Fig.4.29 Measured Temperatures around Upper Tie Plate, Channel Central Region

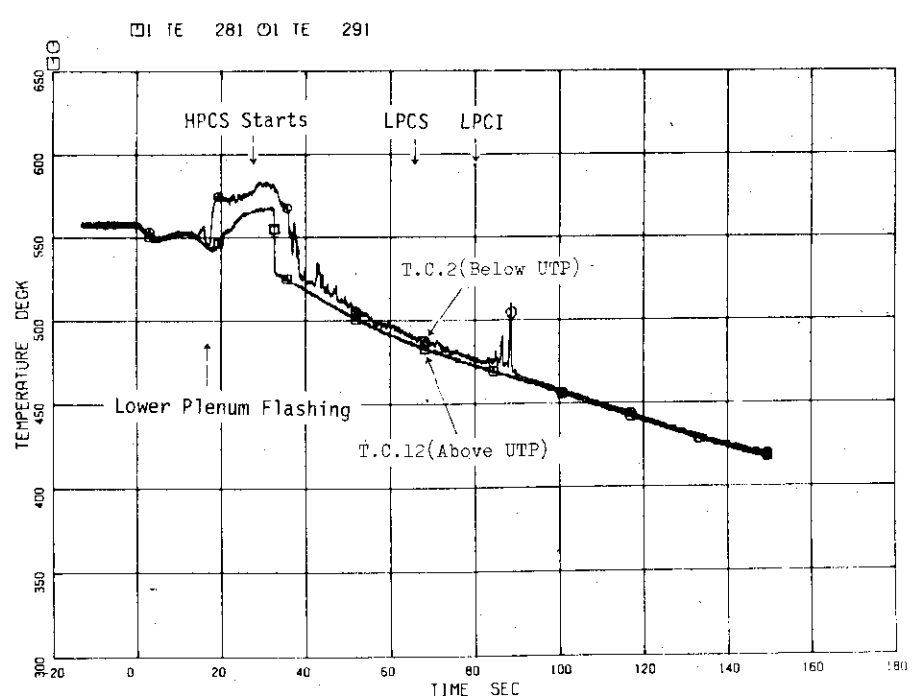


Fig.4.30 Measured Temperatures around Upper Tie Plate, Channel Peripheral Region

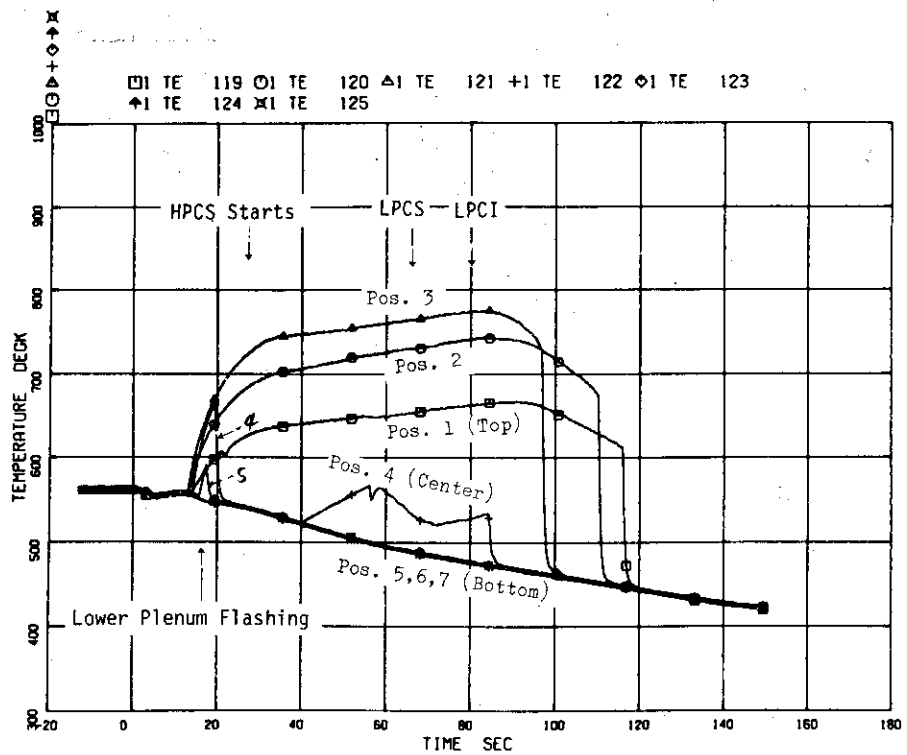


Fig.4.31 Measured Heater Surface Temperatures on Rod A33

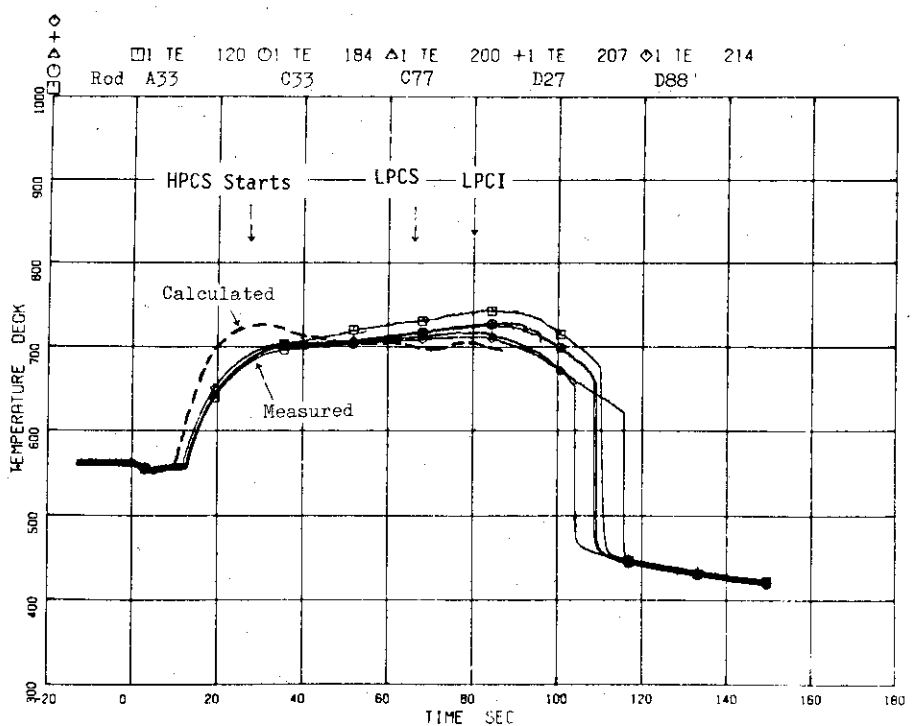


Fig.4.32 Heater Surface Temperature at Position 2 (Above Center), Case 1

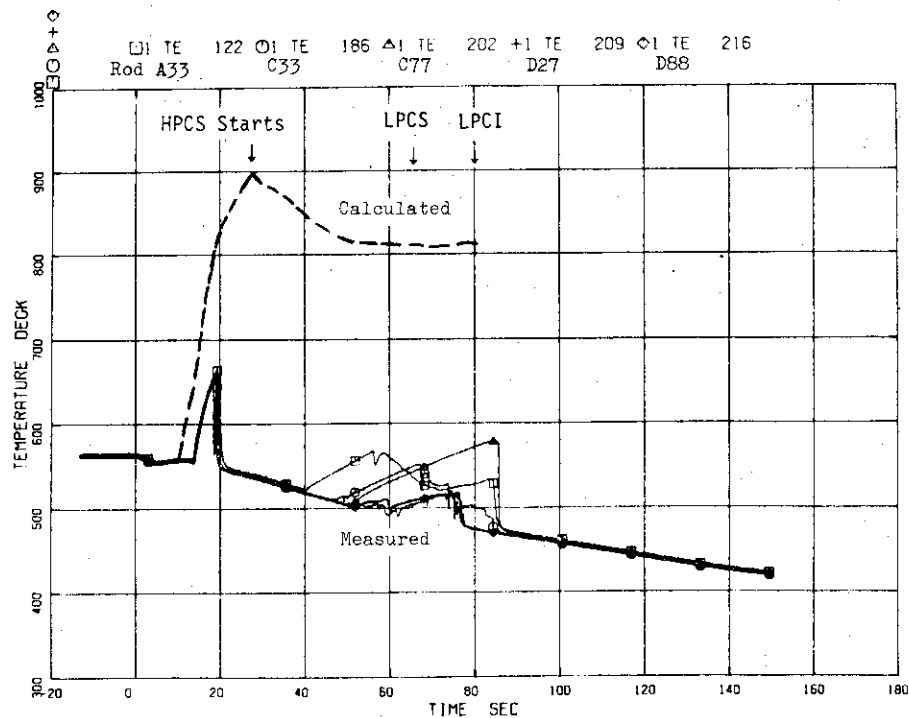


Fig.4.33 Heater Surface Temperature at Position 4 (Center), Case 1

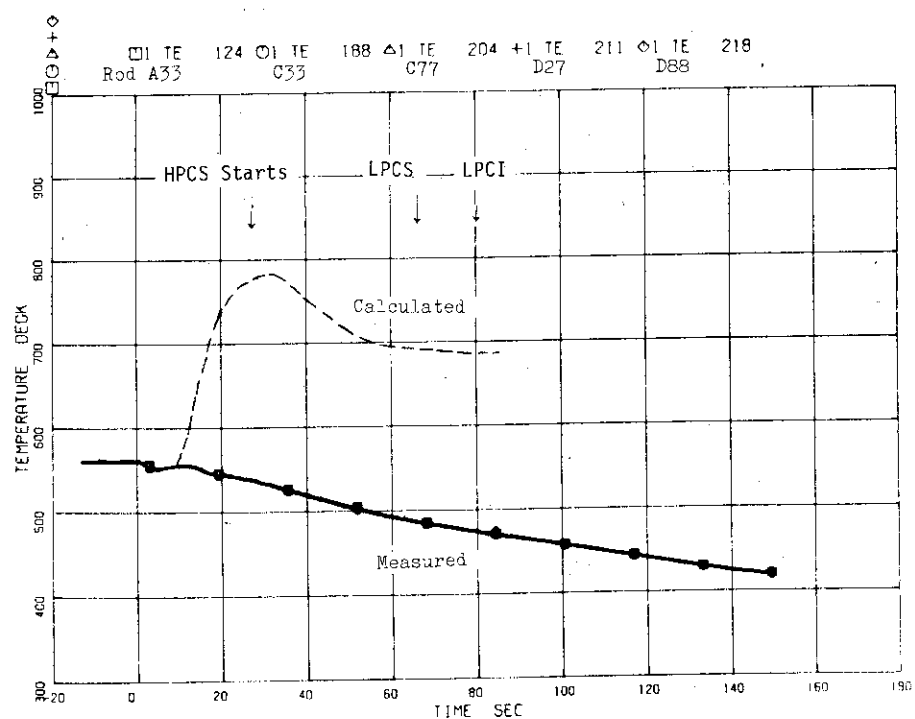


Fig.4.34 Heater Surface Temperature at Position 6 (Below Center), Case 1

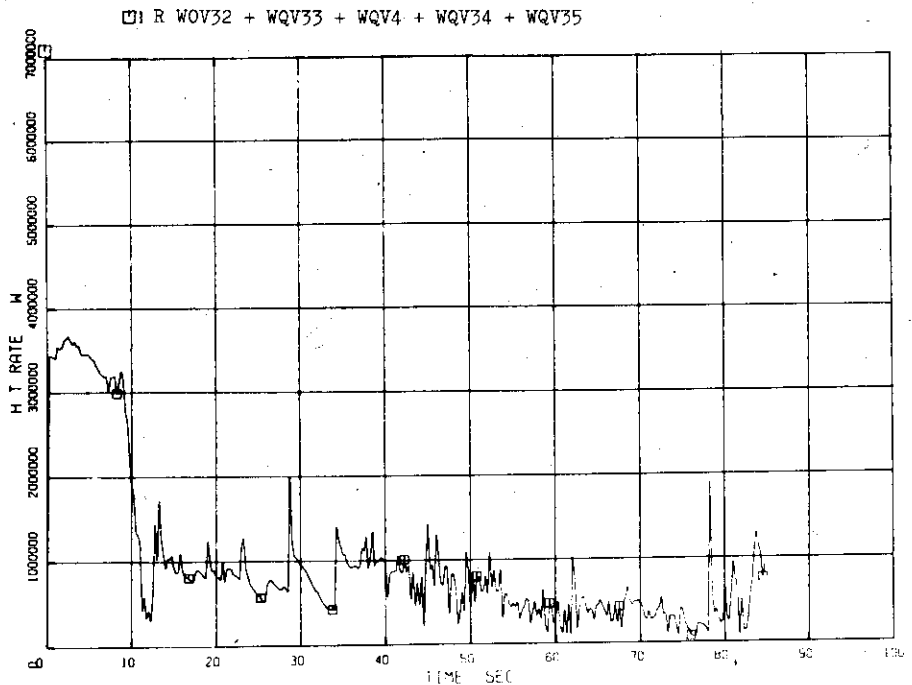


Fig.4.35 Calculated Total Core Heat Transfer Rate, Case 1

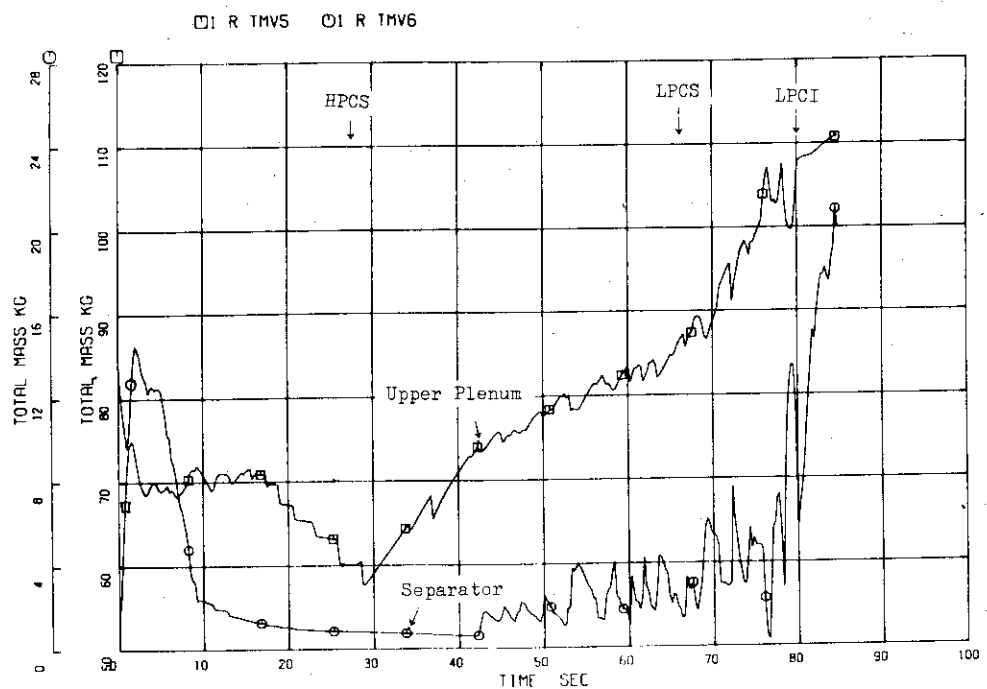


Fig.4.36 Calculated Total Masses in Upper Plenum and Separator, Case 1

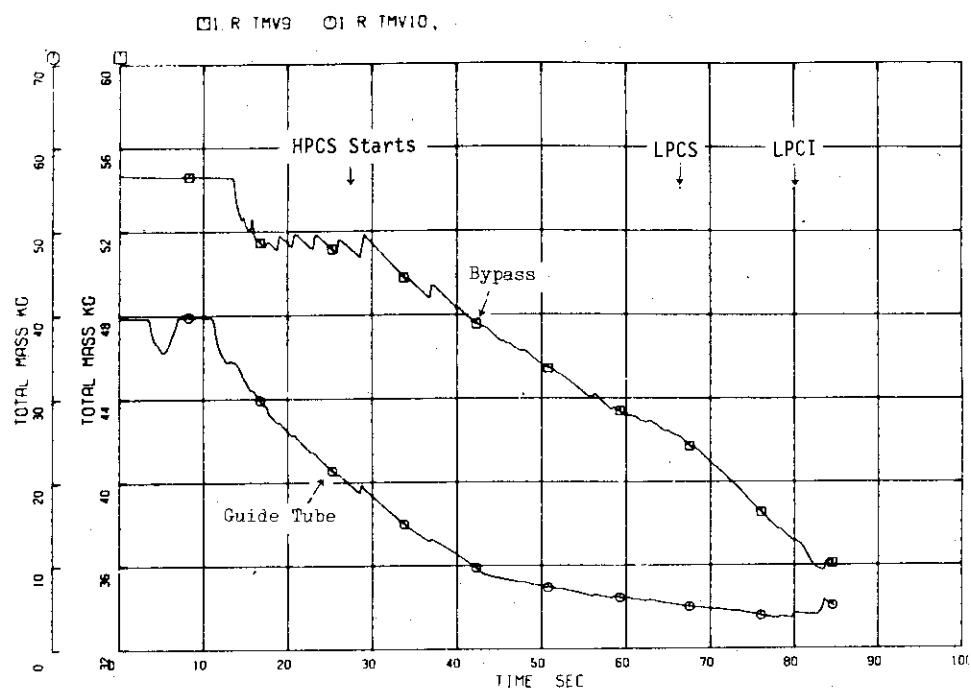


Fig.4.37 Calculated Total Masses in Bypass and Guide Tube, Case 1

## 5. 結 言

BWR の再循環ポンプ吸込側配管の両端破断を模擬する ROSA-III 総合実験 Run 704を行ない、データを得た。この実験では、ポンプ側と炉容器側の破断時刻に 2 秒のずれがあったが、それ以外はほぼ予定通りの実験条件であった。

RELAP4 J コードによってこの実験の解析を行ない、次の結論を得た。なお、これらの結論は、Run 701, 702, 703 の実験後解析から得られた結論とほとんど同様であり、これらは実験条件の特異性によるものでない。

- (1) 標準的な解析により、系圧力について、実験結果とほぼ一致する結果が得られた。
- (2) RELAP4 J の気水分離モデルでは各ボリュームごとに水位が形成され、ジャンクションでの気液スリップを考慮しないため、炉心の全体的な気水分離を表現できず、その結果、ヒータ表面温度の軸方向分布は、実際と定性的に異なる。
- (3) ここで行なった解析では、下部プレナムフラッシング時の流動をうまく計算できない。これは、ジェットポンプ、炉心入口部等の抵抗係数の入力値が実際とかなり違っているためであると思われる。

実験現象の把握と解析コードの評価のために、今後の実験課題として以下のことが挙げられる。

- (1) 炉心入口流量、主蒸気流量、破断流量などの重要な流量を確実に測定する。
- (2) バイパス域、上部プレナム、案内管の温度分布、水位を測定する。
- (3) ジェットポンプまわりを含む配管各部および圧力容器内各部の正流・逆流の抵抗係数、および再循環ポンプの特性について特性試験を行なう。

Run 704 の解析について、現在の RELAP4 J コードを使ってよりよい計算結果を得るための試みとして、以下のことが挙げられる。

- (1) データより示される破断時刻のずれ（2秒）を計算条件に入れる。
- (2) LPCI を、上部プレナムでなくバイパスに入れる。
- (3) 主蒸気流量（Run 704 のデータはない）の入力を再調整する。
- (4) 各部抵抗係数・ポンプ特性についての上記特性試験の結果を入力とする。

RELAP4 J コード自体の改良を必要とする点としては以下のものが挙げられる。

- (1) ジャンクションでの気水分離（気液相対運動）を考慮する。この場合、CCFL（対向流流量制限）をも取り扱えるものとする。
- (2) ヒートスラブの計算において、ボリュームの水位を考慮する。
- (3) 計算の安定化（特に ECCS 注入後）を図る。

## 謝　　辞

本稿をまとめるにあたり、安全工学第一研究室斯波正誼室長、安全工学第二研究室の安達公道主任研究员、日本原子力事業株式会社（現在原研外来研究员）の安部信明氏より多くの助言、教示、助力を賜りました。ここに、深く感謝の意を表します。

## 参　考　文　献

- 1) 望月洋志、他4名、「軽水炉のLOCA解析コードRELAP4J (RELAP4-MOD2の改良について)」, JAERI-M 7506 (1978).
- 2) K.Soda, et al., "POST TEST ANALYSIS OF ROSA-III TEST RUN 701", JAERI-M 8473 (1979).
- 3) 小泉安郎、他2名、「ROSA-III実験RUN 702の実験後解析」, JAERI-M (1979).
- 4) 菊池治、他2名、「ROSA-III RUN 703の実験結果およびその解析」, JAERI-M 8588 (1979).
- 5) "General Electric Standard Safety Analysis Report, BWR/6", DOCKET- STN-50477, GE Co. (1975).
- 6) 田坂完二、他3名、「冷却材喪失事故におけるROSA-IIIとBWRとの相似性の検討 (ROSA-IIIの予備解析)」, JAERI-M 6703 (1976).
- 7) "BWR BLOWDOWN/EMERGENCY CORE COOLING PROGRAM, PRELIMINARY FACILITY DESCRIPTION REPORT FOR THE BD/ECCIA TEST PHASE", GEAP-23592 NRC-2 (1977).
- 8) "General Electric Company Analytical Model for Loss-of-Coolant Analysis in Accordance with 10 CFR 50 Appendix K", NEDO-20566 76NED2 (Jan. 1976).

## 謝　　辞

本稿をまとめるにあたり、安全工学第一研究室斯波正誼室長、安全工学第二研究室の安達公道主任研究员、日本原子力事業株式会社（現在原研外来研究员）の安部信明氏より多くの助言、教示、助力を賜りました。ここに、深く感謝の意を表します。

## 参　考　文　献

- 1) 望月洋志、他4名、「軽水炉のLOCA解析コードRELAP4J (RELAP4-MOD2の改良について)」, JAERI-M 7506 (1978).
- 2) K.Soda, et al., " POST TEST ANALYSIS OF ROSA-III TEST RUN 701 ", JAERI-M 8473 (1979).
- 3) 小泉安郎、他2名、「ROSA-III実験RUN 702 の実験後解析」, JAERI-M (1979).
- 4) 菊池治、他2名、「ROSA-III RUN 703 の実験結果およびその解析」, JAERI-M 8588 (1979).
- 5) " General Electric Standard Safety Analysis Report , BWR/6 ", DOCKET- STN-50477, GE Co. (1975).
- 6) 田坂完二、他3名、「冷却材喪失事故におけるROSA-IIIとBWRとの相似性の検討 (ROSA-IIIの予備解析) 」, JAERI-M 6703 (1976).
- 7) " BWR BLOWDOWN/EMERGENCY CORE COOLING PROGRAM, PRELIMINARY FACILITY DESCRIPTION REPORT FOR THE BD/ECCIA TEST PHASE ", GEAP-23592 NRC-2 (1977).
- 8) " General Electric Company Analytical Model for Loss-of-Coolant Analysis in Accordance with 10 CFR 50 Appendix K ", NEDO-20566 76NED2 (Jan. 1976).

## 付録A ケース 2

### A.1 解析条件

このケースは、ケース1を基にし、再冠水過程まで計算できるように、すなわち破断後長時間にわたって計算できるようにしたものである。計算時間を節約し、しかも計算の安定化をはかるために均質のボリュームを多くし、気水分離モデルを採用するボリュームは、下部プレナムのボリューム1と2、ダウンカマのボリューム11, 28, 7のみとする。

さらにこの計算では、計算時間節約のために時間ステップの上限  $t_{max}$  を他のケースよりも大きくとす。すなわち、破断後1秒までは  $t_{max}$  を0.01秒とするが、それ以後  $t_{max}$  を0.05秒とする。 $t_{max}$  を大きくしても計算が進行できるのは、均質ボリュームが多くて計算が比較的安定しやすいためであって、他のケースでは、計算を進行させるためには  $t_{max}$  を0.01秒以下にする必要がある。

### A.2 解析結果

ケース2の解析結果を図A.1~A.29に、ケース1の場合とほぼ同じ順番で示す。破断後136秒までを計算しているが、このときの計算機CPU時間は3時間である。時間ステップ上限を大きくしているために、他のケースよりも振動的な結果となっている。

図A.1で、この解析では、破断後9秒に蒸気ドーム圧力が再降を始めるが、これはジェットポンプ吸込配管露出よりも早い(図A.2)。これは、この解析では、破断後6秒くらいで炉心のドライアウトが起こって(図A.22~A.24)ヒータから流体への伝熱量が減少する(図A.25)ためである。

図A.21は、炉心内各ボリュームのクオリティを示す。概して、ケース1(図4.28)よりもクオリティは高くなっている。95秒付近から、各ボリュームで急激にクオリティが低下しているが、その時期は上部ほど早く、ECCS水が上から流入していることがわかる。

図A.22~A.24はヒータ表面温度を示す。概してケース1よりもクオリティが高いため、温度は高めとなっている。解析の温度は、95秒付近でクオリティが降下するに伴って降下はじめる。前述のように上部ほど早く水が流入するため、温度も上部ほど早く低下している。これは実験結果と逆の傾向である。LPCIは、実験では上部プレナムとバイパスに分岐して流入するが、この解析では上部プレナムにのみ注入している。これをバイパス部へ注入すれば、下方からの再冠水が計算できるかもしれない。ただし、前節でも述べたように、LPCI注入以前の温度分布がすでに実験と定性的に違っており、この点を改善する必要がある。

図A.26に示すように、HPCS作動開始後の上部プレナム内流体質量は、ケース1(図4.36)と違ってあまり変化しない。図A.27, A.28からわかるように、スプレイ水は炉心またはバイパスに流入しておらず、ダウンカマを通じて破断口から流出する。上部プレナム内質量は65秒く

らいから増加しはじめ、94秒くらいにはほぼ全体が液で満たされる。この直後に、気水分離器、バイパス、炉心の質量が急増する。案内管(図A.27)、下部プレナム(図A.29)の質量は、ゆるやかであるがやはり同時に増加を始める。

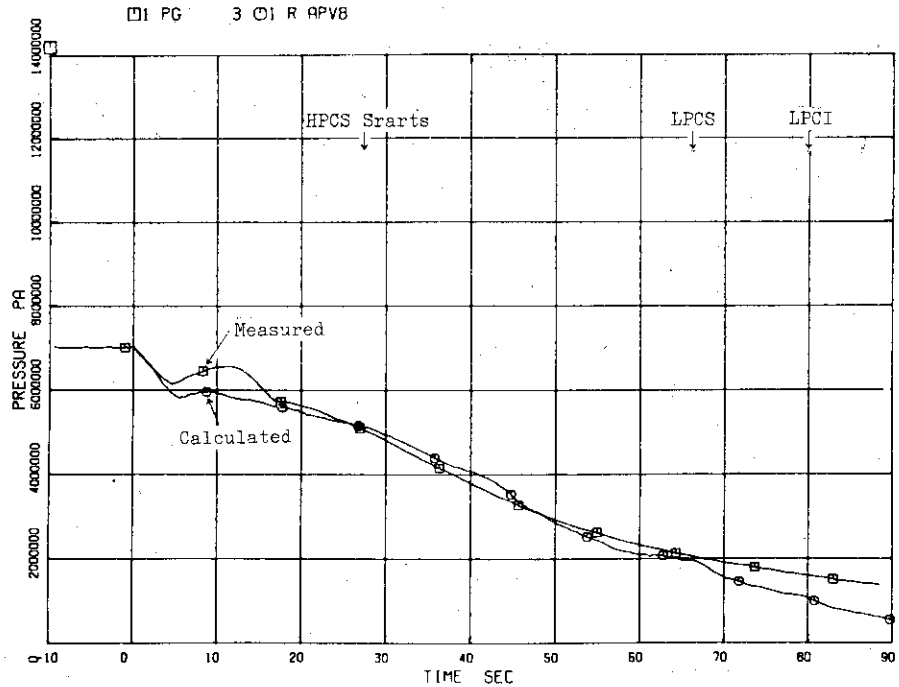


Fig.A.1 Steam Dome Pressure, Case 2

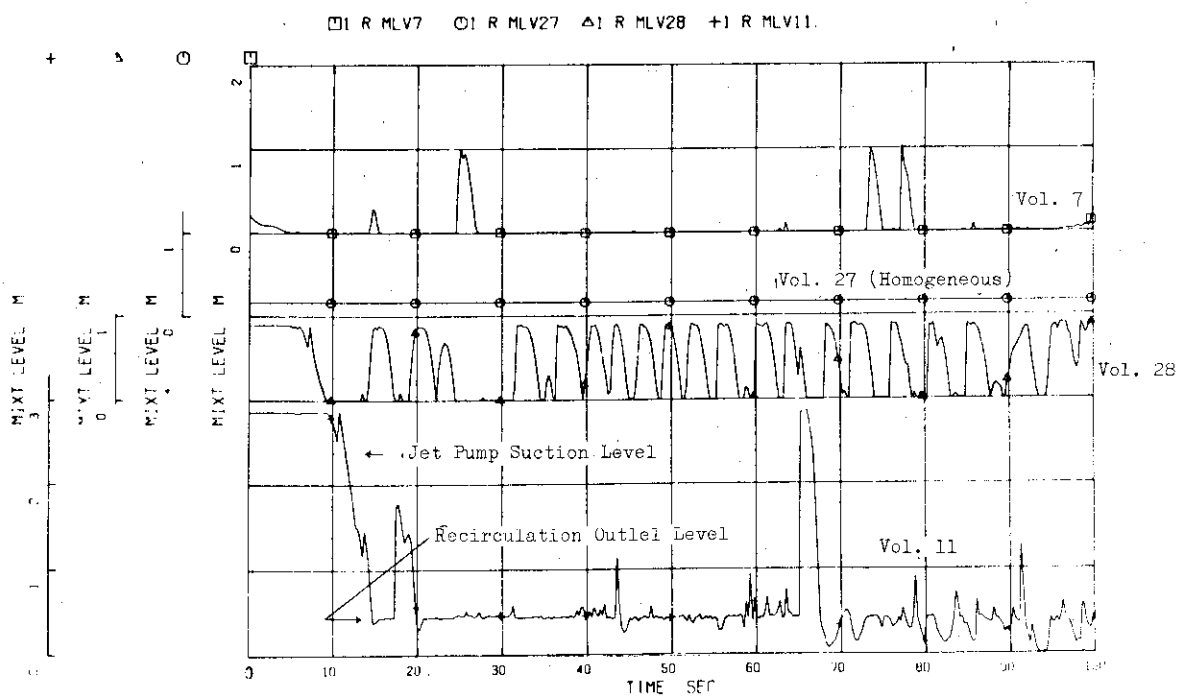


Fig.A.2 Calculated Mixture Levels in Downcomer, Case 2

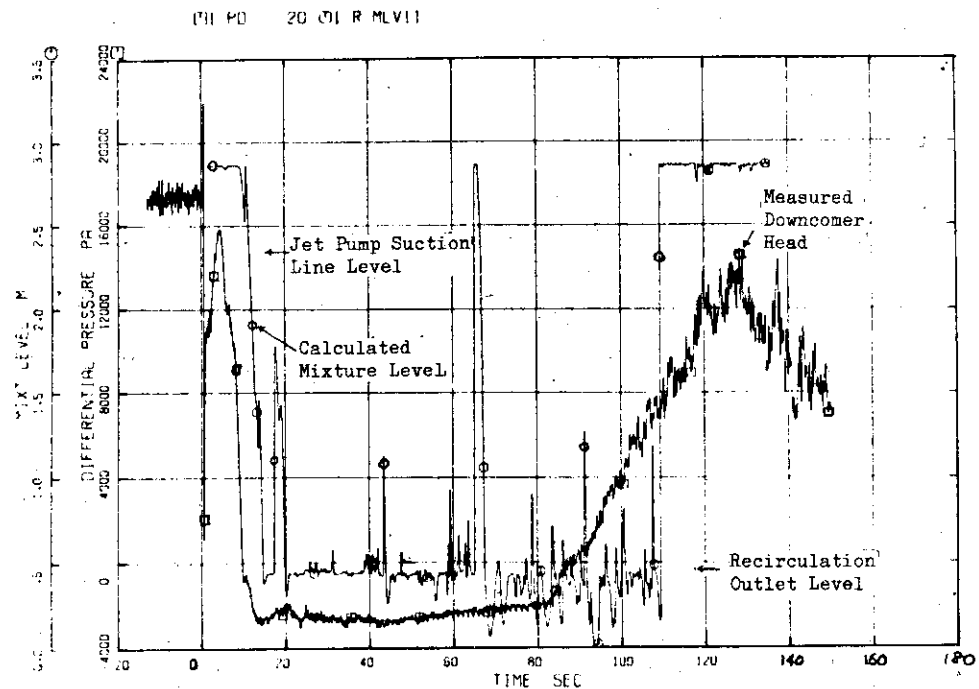


Fig.A.3 Calculated Downcomer Mixture Level and Measured Downcomer Head, Case 2

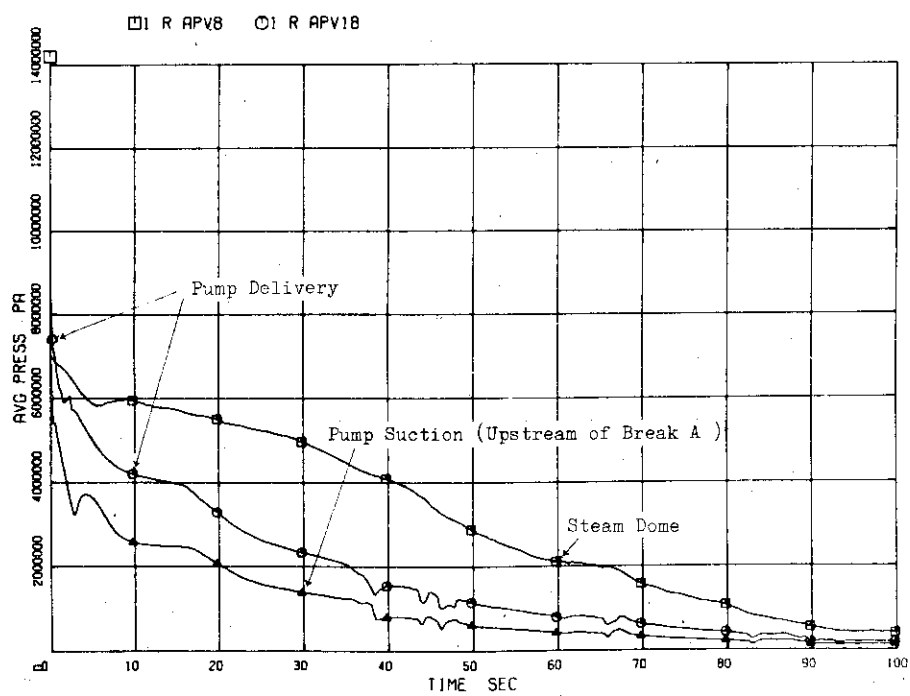


Fig.A.4 Calculated Broken Loop Pressure, Case 2

□ I R JWH53 □ I R JXJS3

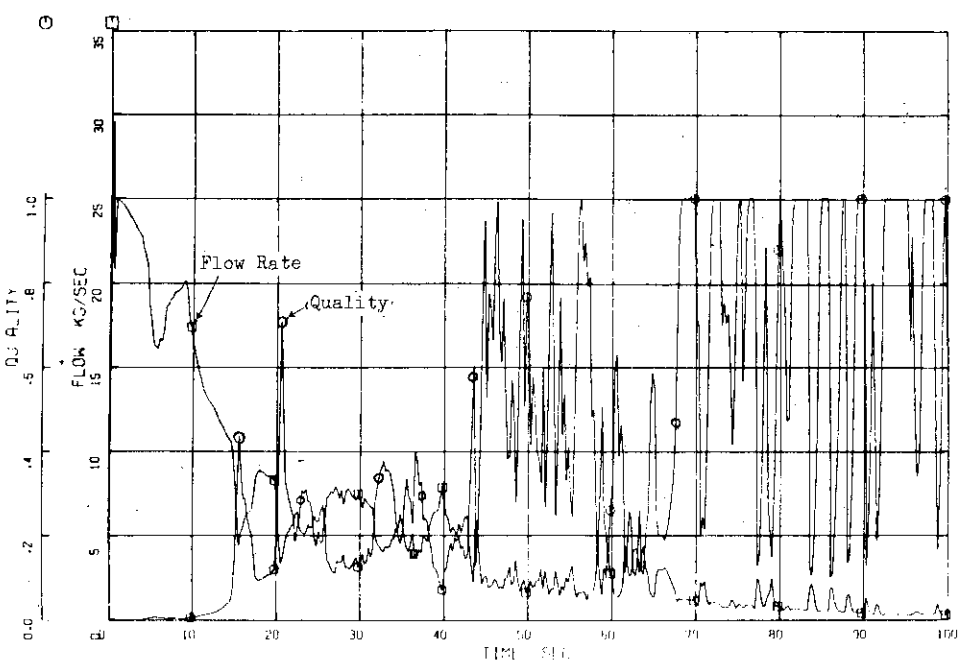


Fig.A.5 Calculated Vessel Side Break Flow, Case 2

□ I R JWH54 □ I R JXJS4

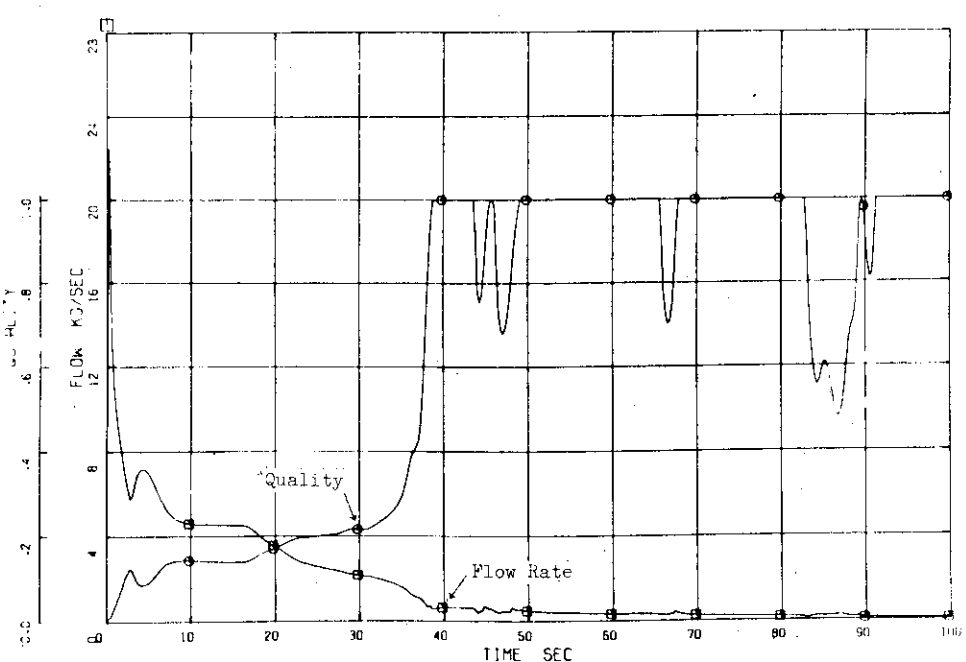


Fig.A.6 Calculated Pump Side Break Flow, Case 2

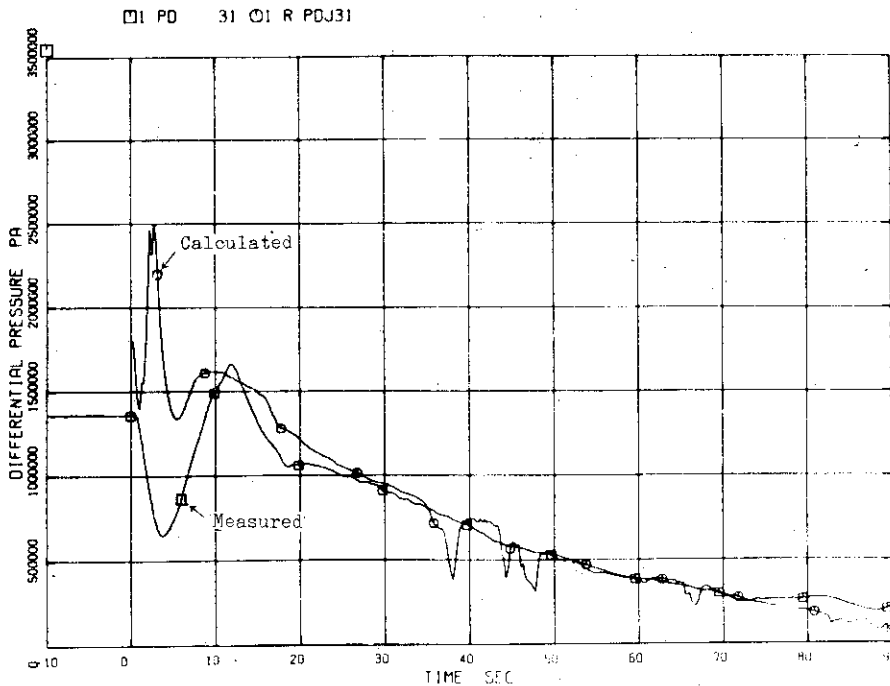


Fig.A.7 Broken Loop Recirculation Pump Head, Case 2

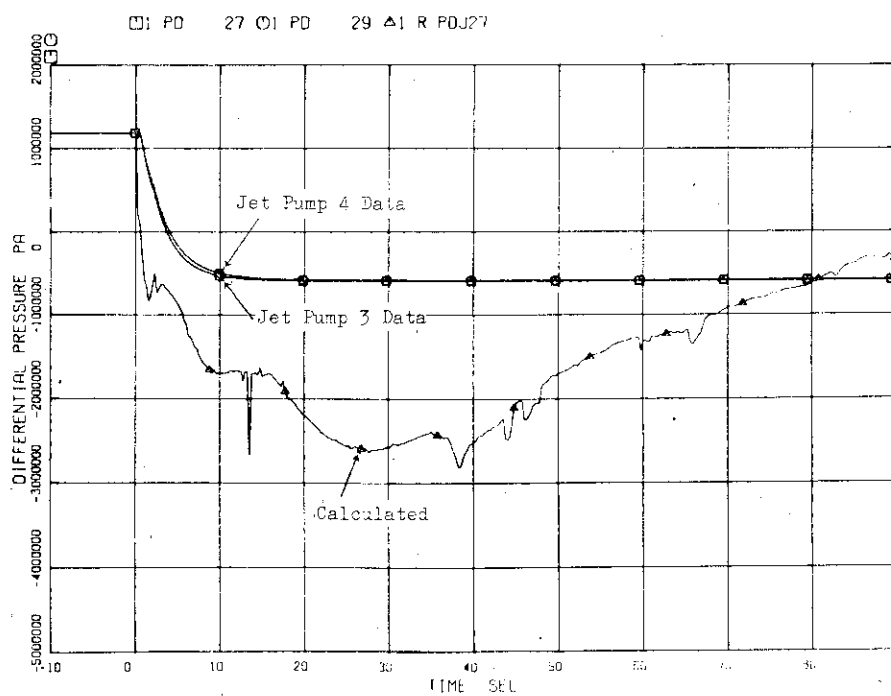


Fig.A.8 Broken Loop Jet Pump Drive-Suction Differential Pressure, Case 2

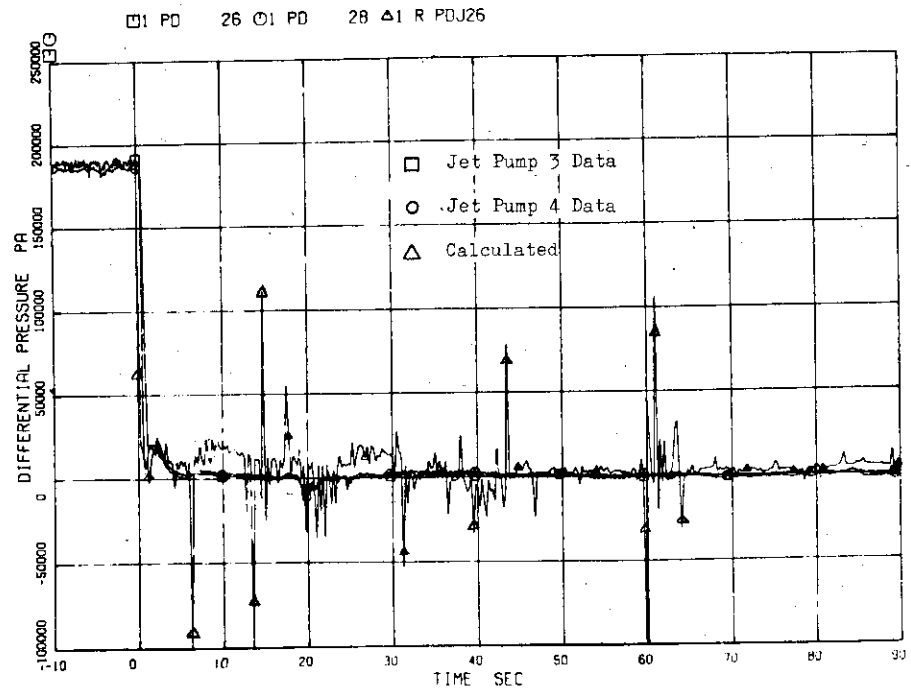


Fig.A.9 Broken Loop Jet Pump Discharge-Suction Differential Pressure, Case 2

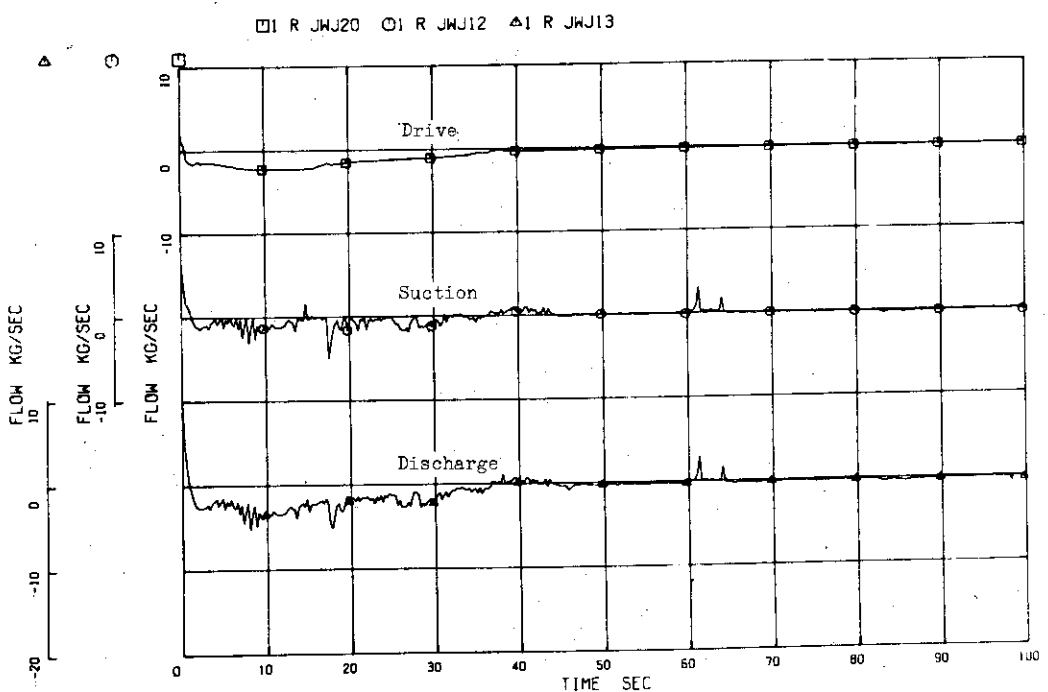


Fig.A.10 Calculated Broken Loop Jet Pump Flow Rates, Case 2

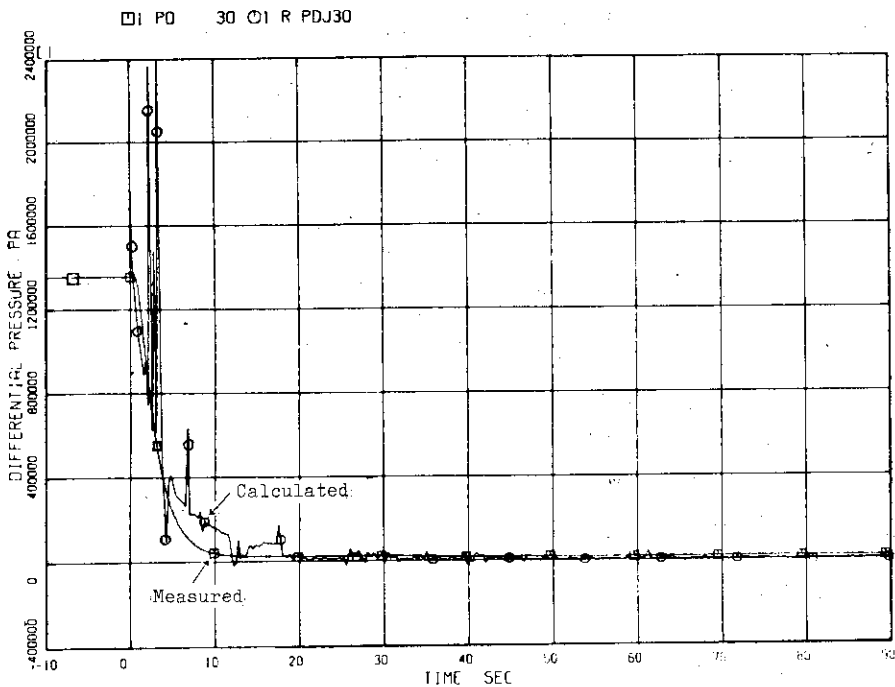


Fig.A.11 Intact Loop Recirculation Pump Head, Case 2

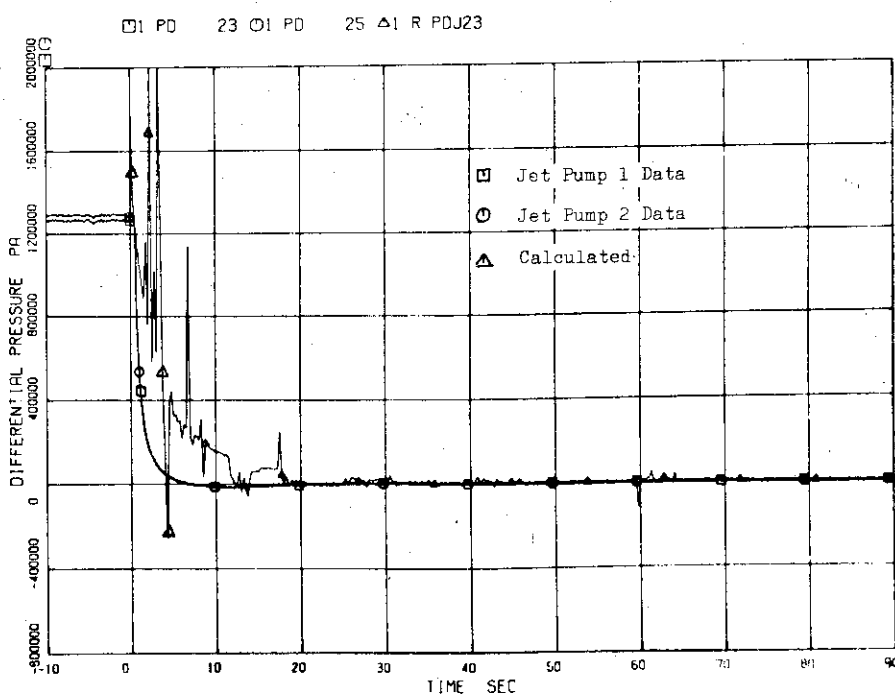


Fig.A.12 Intact Loop Jet Pump Drive-Suction Differential Pressure, Case 2

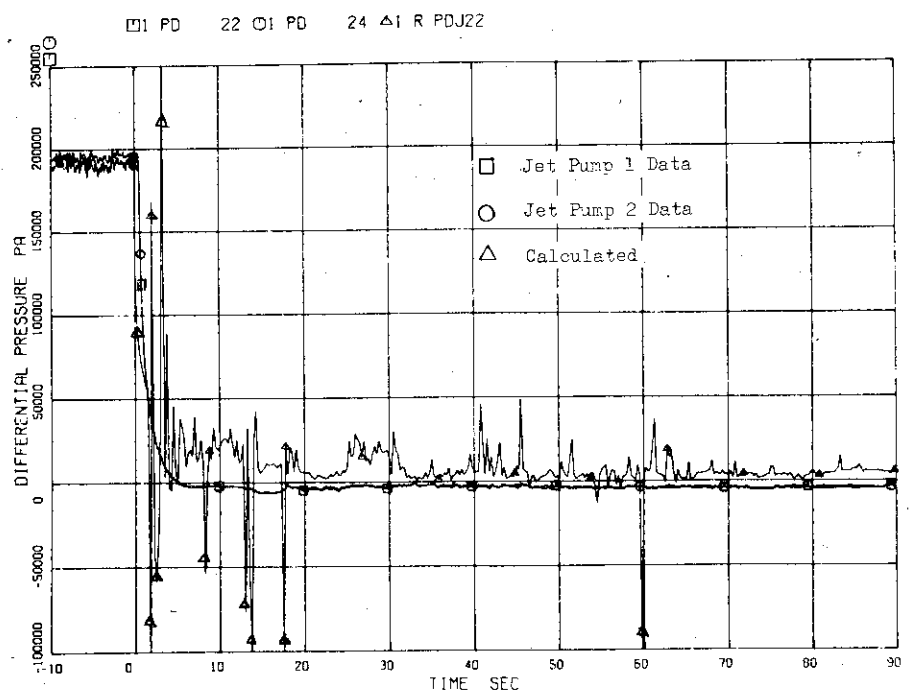


Fig.A.13 Intact Loop Jet Pump Discharge-Suction Differential Pressure, Case 2

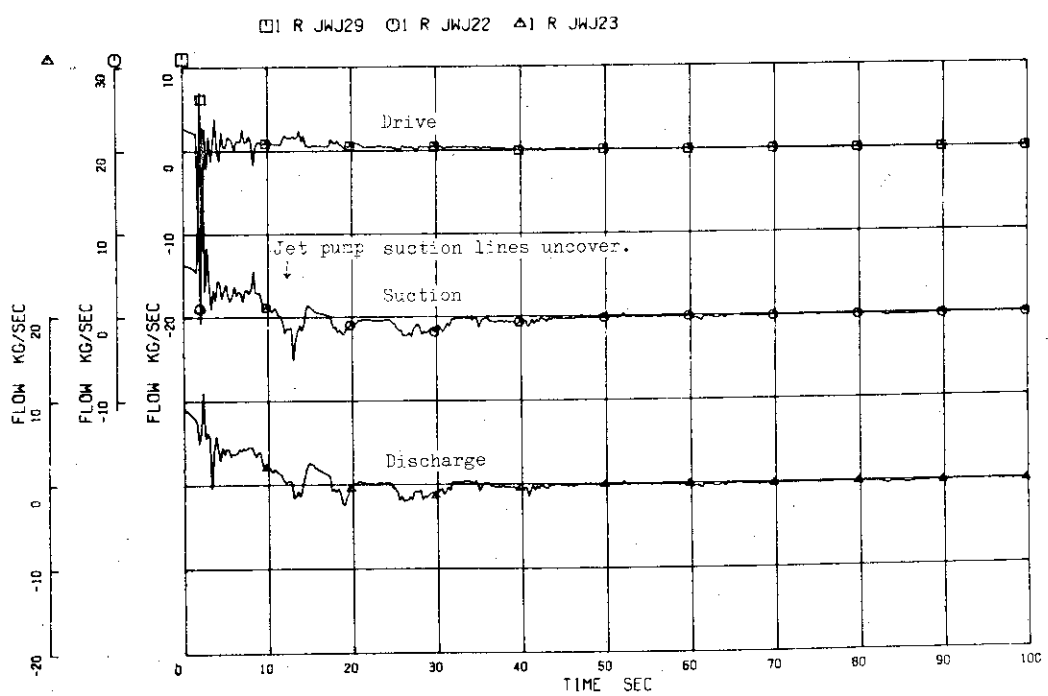


Fig.A.14. Calculated Intact Loop Jet Pump Flow Rated, Case 2

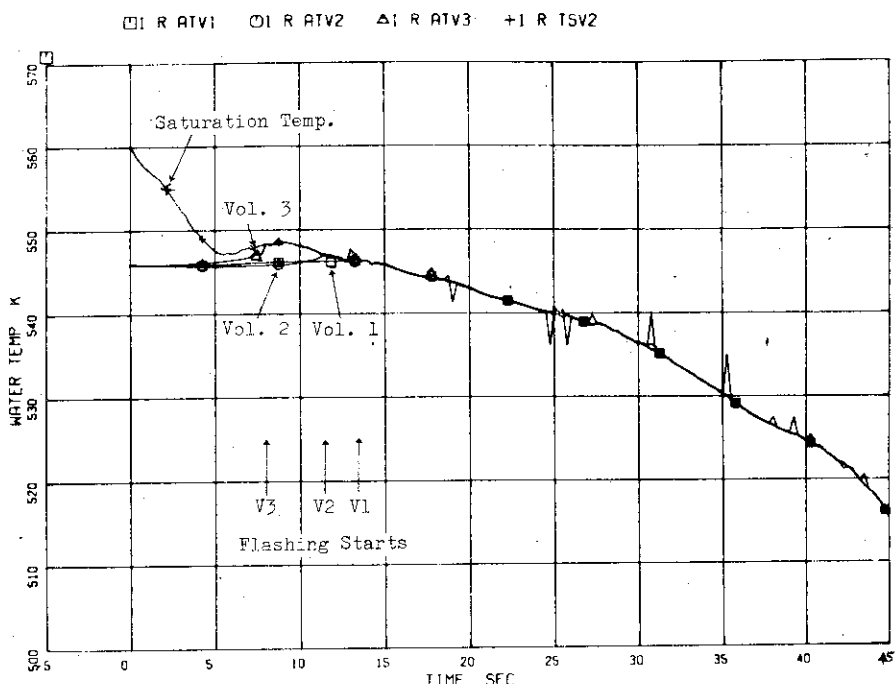


Fig.A.15 Calculated Lower Plenum Temperatures, Case 2

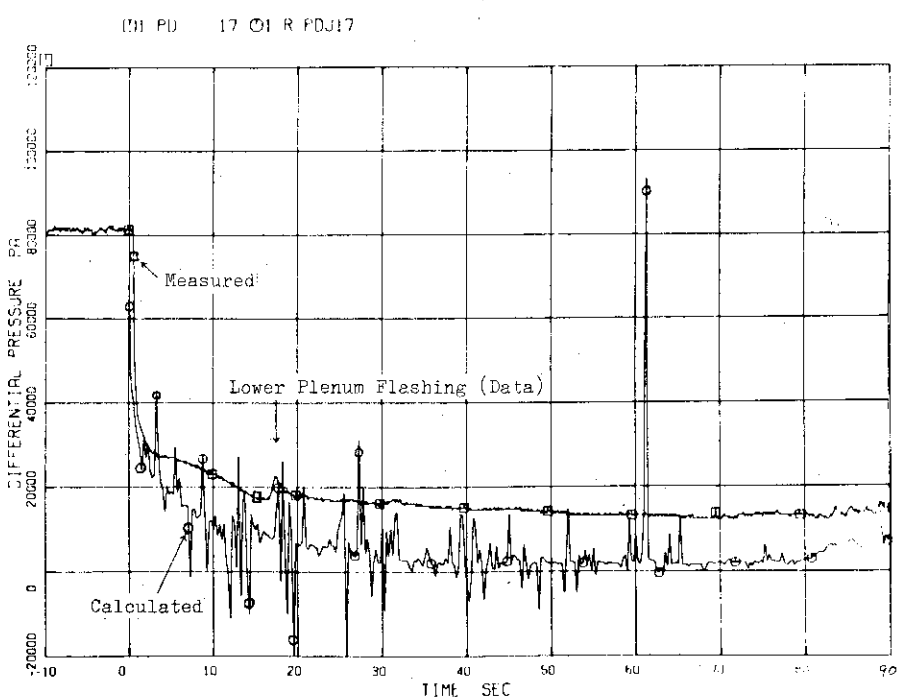


Fig.A.16 Differential Pressure Between Lower Plenum and Upper Plenum, Case 2

O1 R JWW3

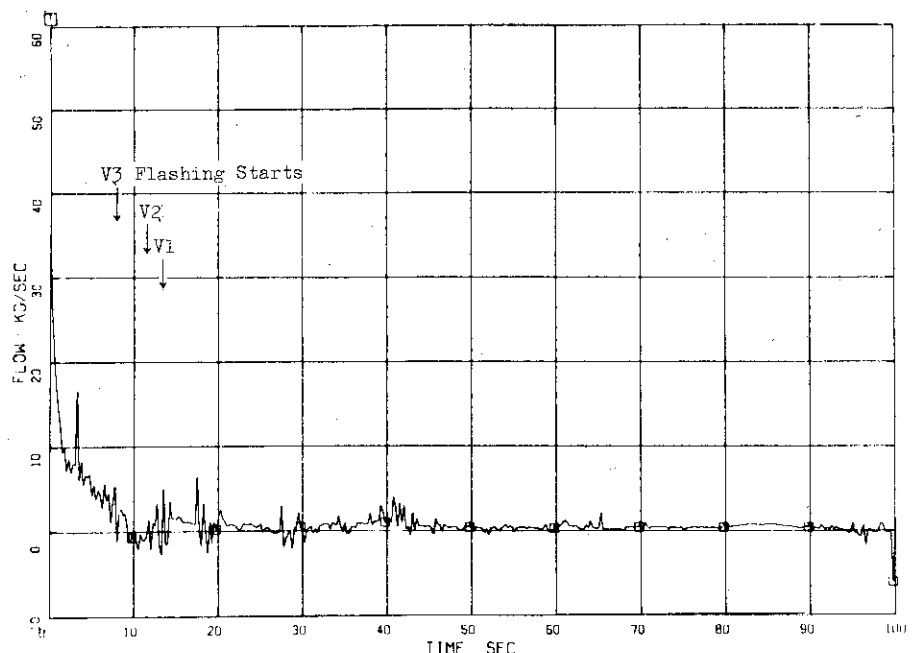


Fig.A.17 Calculated Core Inlet Flow Rate, Case 2

O1 PD 18 O1 R PDJ18

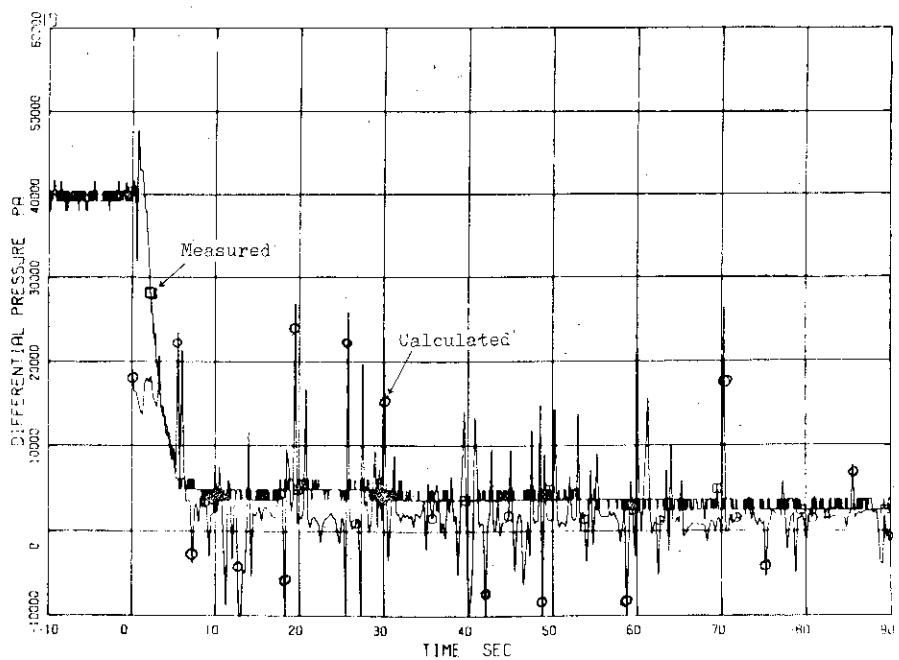


Fig.A.18 Differential Pressure Between Upper Plenum and Steam Dome, Case 2

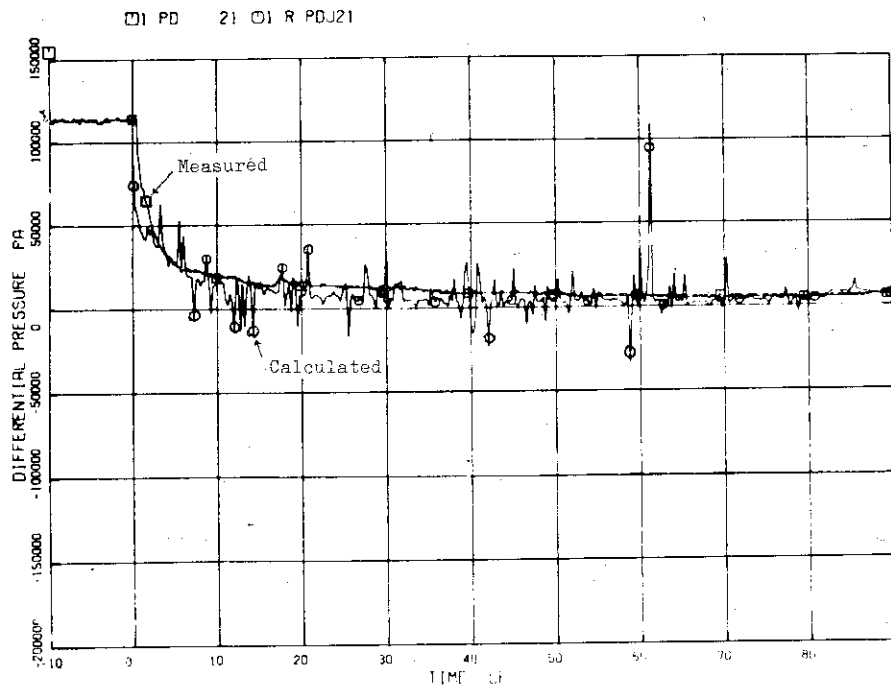


Fig.A.19 Differential Pressure Between Lower Plenum and Steam Dome, Case 2

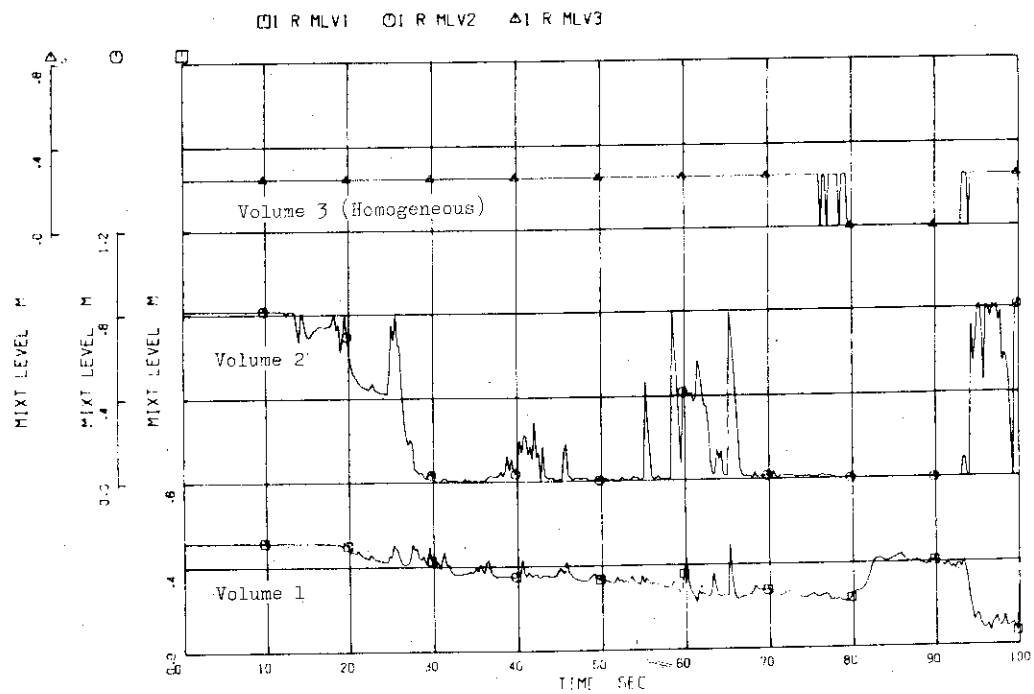


Fig.A.20 Calculated Mixture Levels in Lower Plenum, Case 2

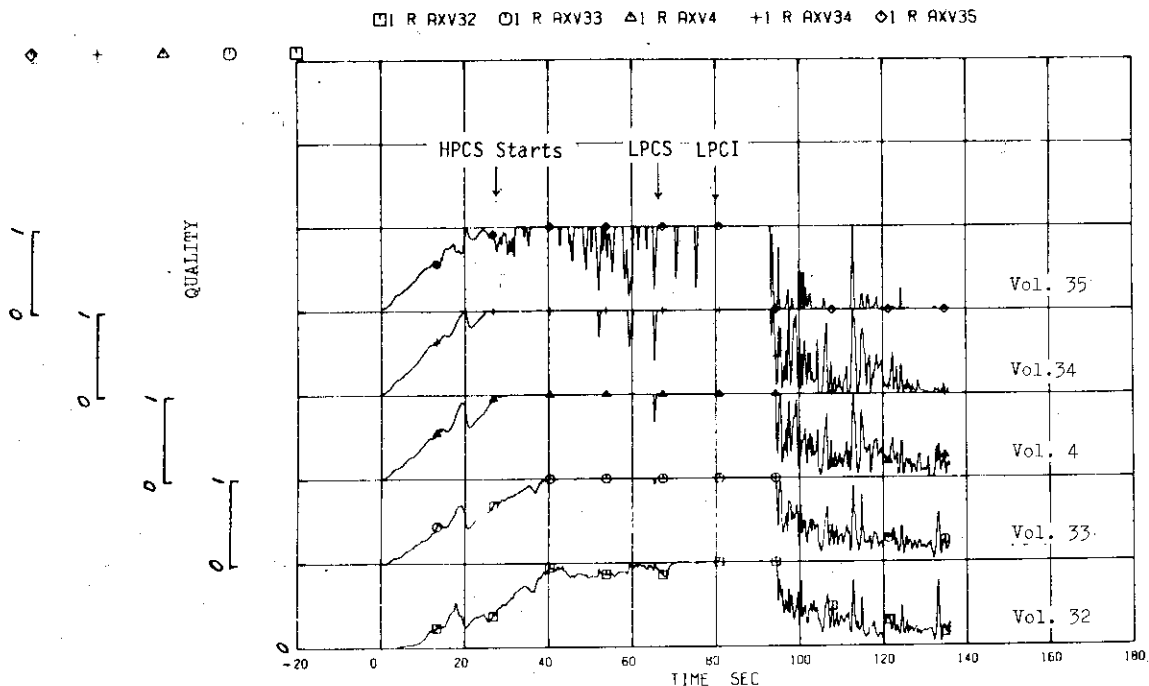


Fig.A.21 Calculated Qualities in Core, Case 2

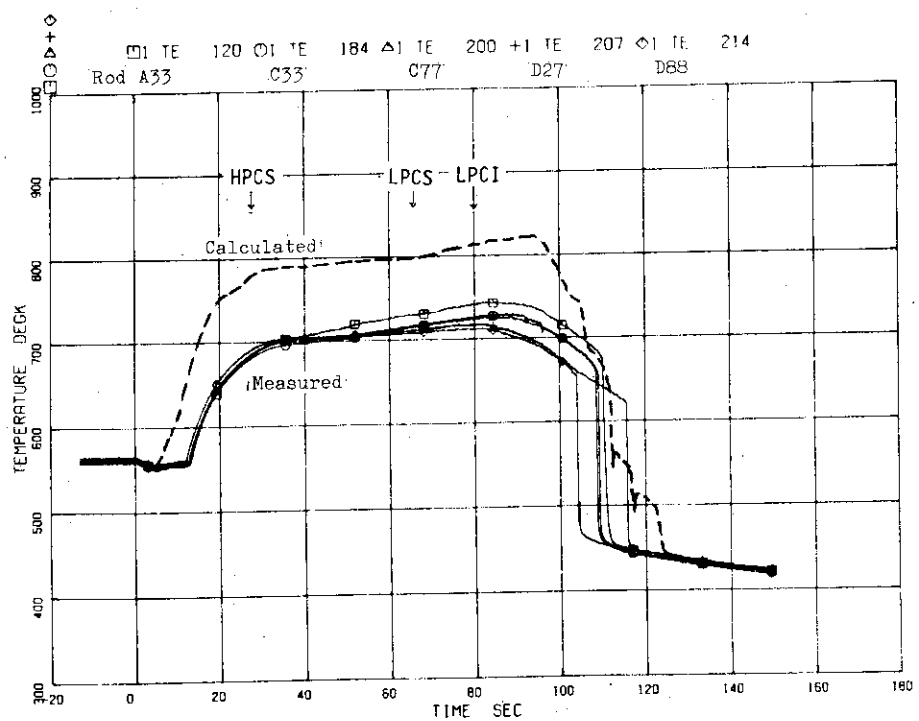


Fig.A.22 Heater Surface Temperature at Position 2 (Above Center), Case 2

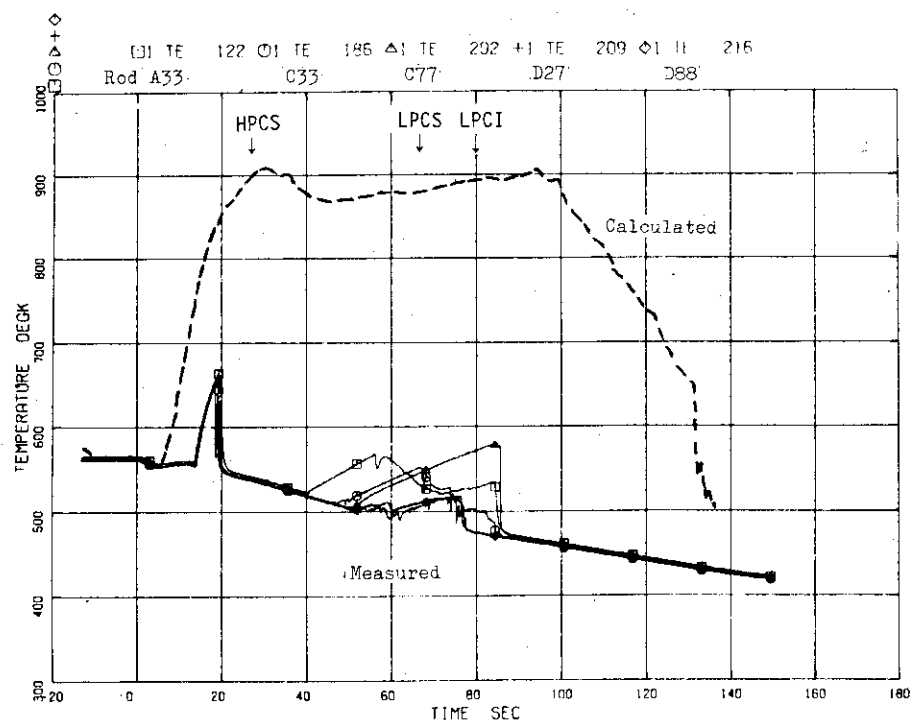


Fig.A.23 Heater Surface Temperature at Position 4 (Center), Case 2

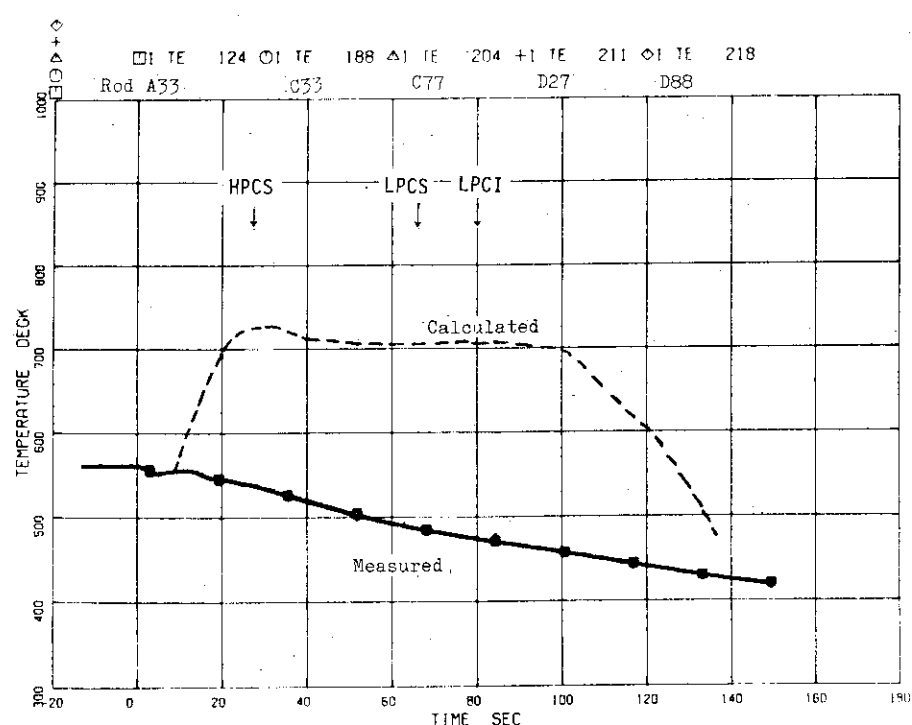


Fig.A.24 Heater Surface Temperature at Position 6 (Below Center), Case 2

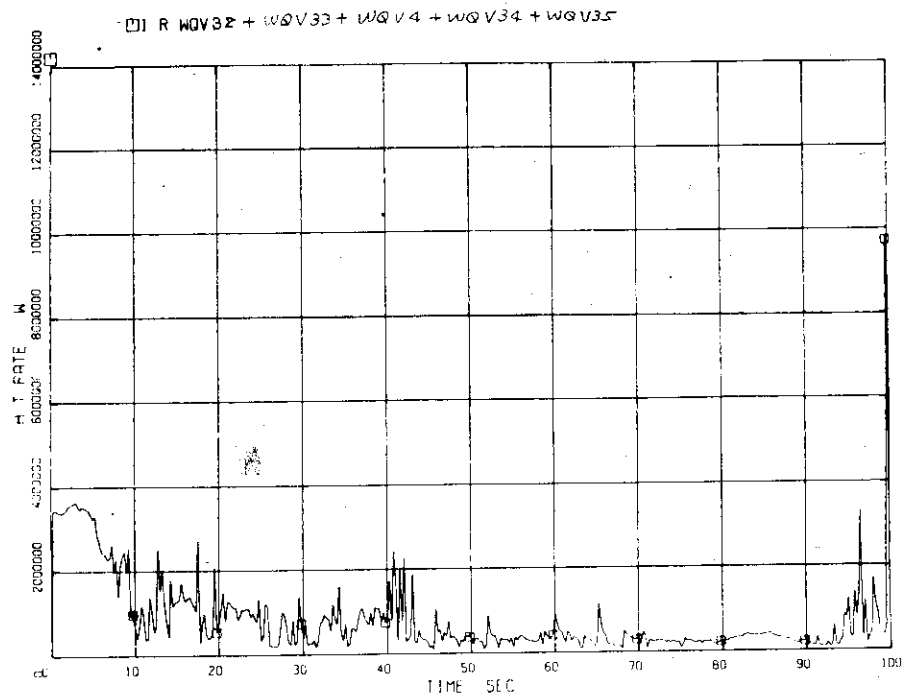


Fig.A.25 Calculated Total Core Heat Transfer Rate, Case 2

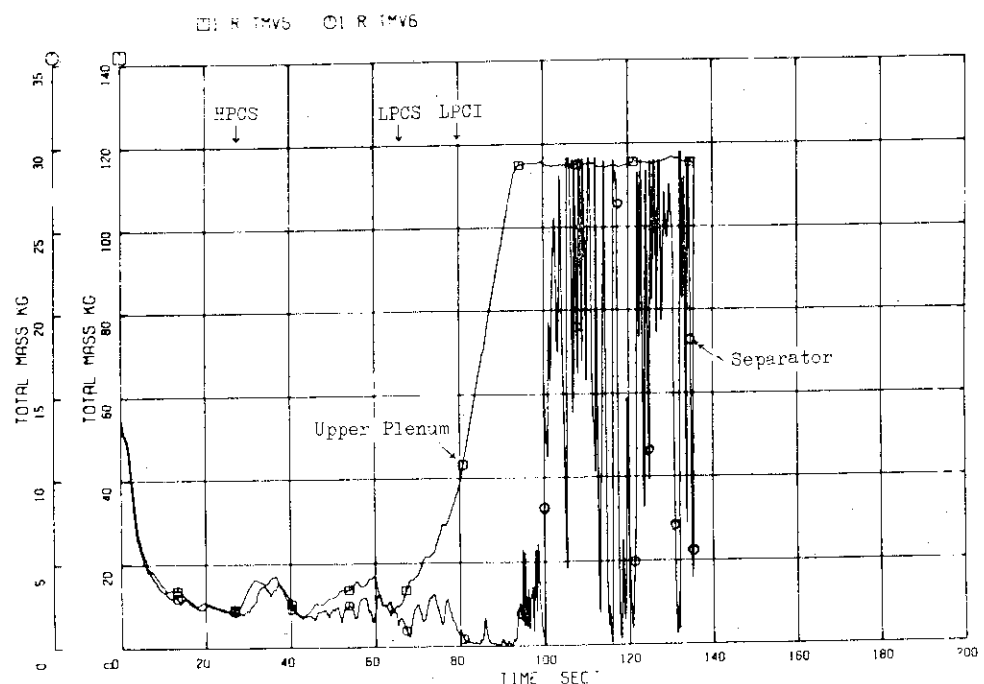


Fig.A.26 Calculated Total Masses in Upper Plenum and Separator, Case 2

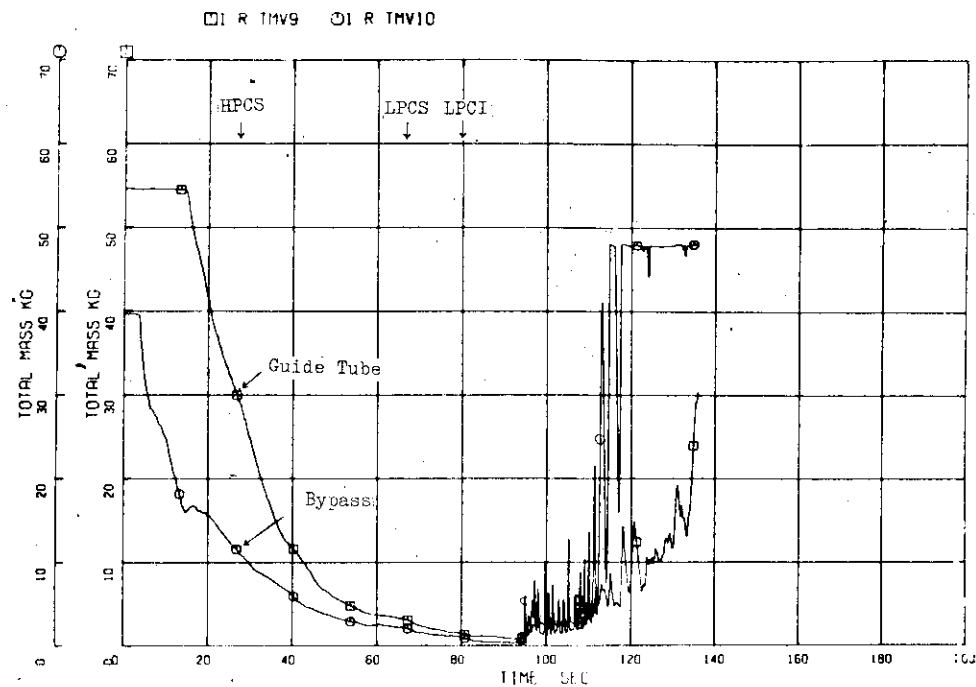


Fig.A.27 Calculated Total Masses in Bypass and Guide Tube, Case 2

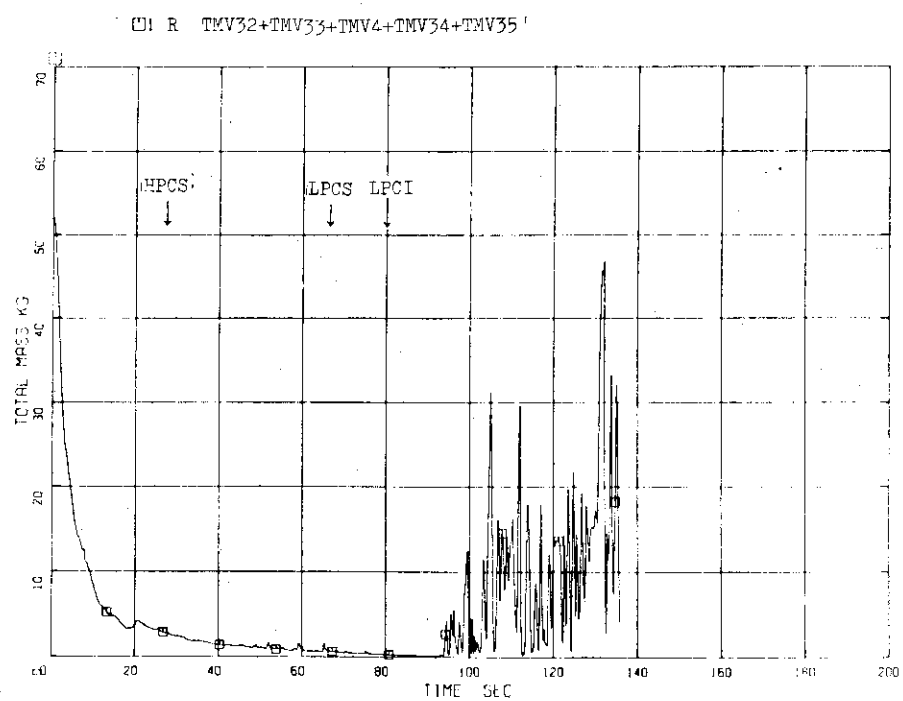


Fig.A.28 Calculated Total Mass in Core, Case 2

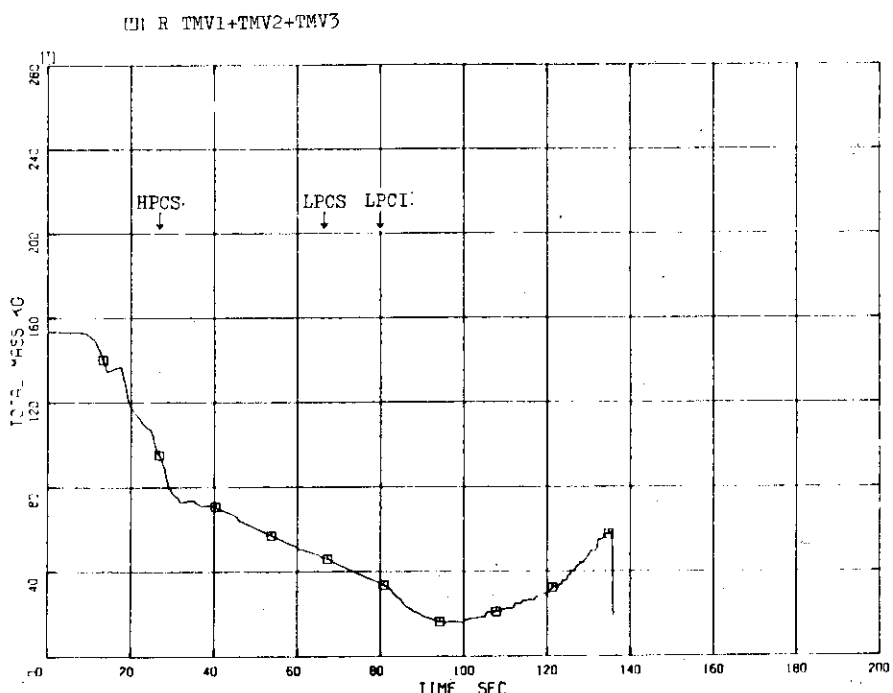


Fig.A.29 Calculated Total Mass in Lower Plenum, Case 2

## 付録B ケース3

### B.1 解析条件

このケースは、ROSA-III実験 RUN 702の実験後解析<sup>(3)</sup>において実験の圧力変化を最も忠実に再現するように調整した入力（ケース9）に相当する。

ボリューム27を除く圧力容器内全ボリュームに気水分離モデルを採用し、気泡上昇速度はWilsonの式による。ジェットポンプ吸込部（ジャンクション12, 22, 36, 39）の逆流抵抗係数および破断口（ジャンクション53, 54）の正流抵抗係数は、幾何学的形状から求めた値のそれぞれ5倍および1/2の値とする。また、臨界流モデルとして、高クオリティ（0.8以上）の場合にMoodyの式による流量と音速による臨界流量のうち大きい方を探るというオプションは、このケースでは採用しない。

以上述べた条件以外はほぼケース1と同じ計算条件である。このケースのインプットリストを付録Dに示す。

### B.2 解析結果

破断後66秒までの計算に、CPUで2時間と要している。解析の結果は図B.1～B.27に示す。Run 702の実験後解析<sup>(3)</sup>に比べると、系圧力の実験と解析の違いが若干大きい（図B.1）。この解析においては、主蒸気流量の見積りに問題があり、これが系圧力の違いを大きくした原因であると考えられる。計算結果は概してケース1と似ている。

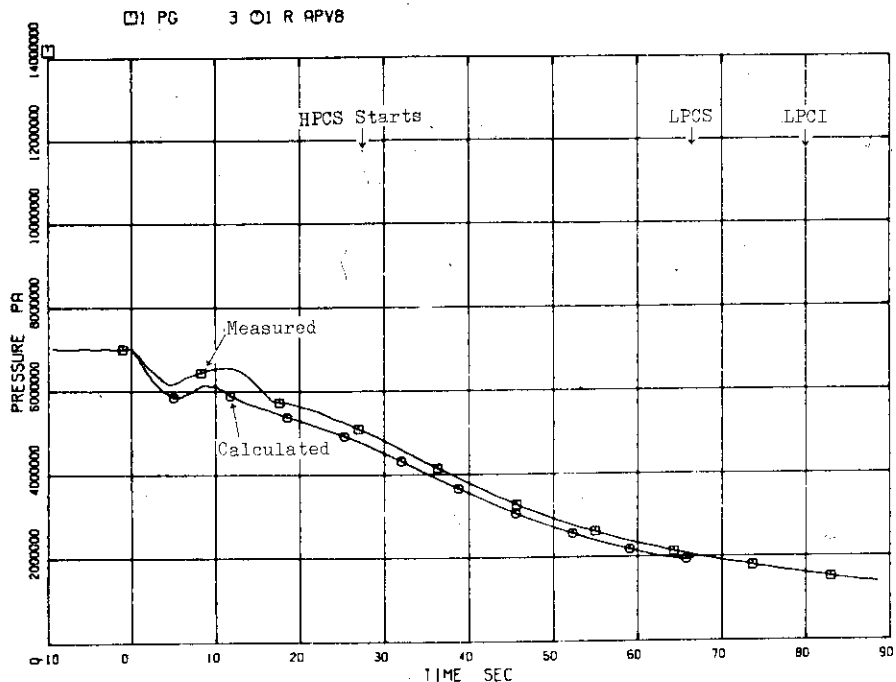


Fig. B.1 Steam Dome Pressure, Case 3

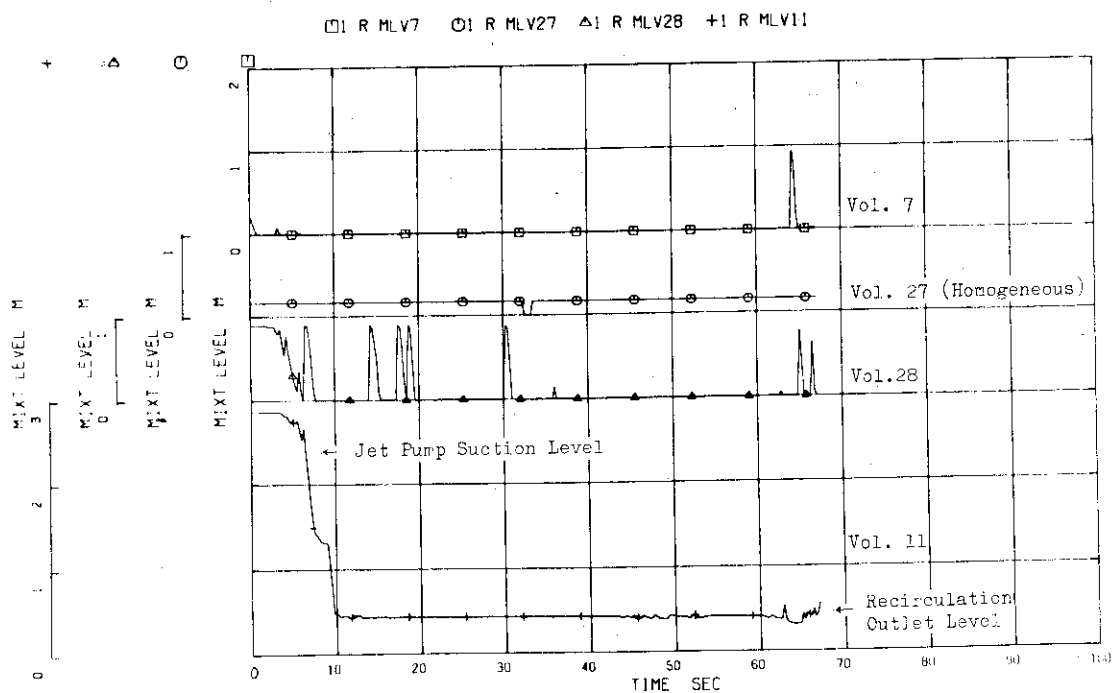


Fig. B.2 Calculated Mixture Levels in Downcomer, Case 3

O1 PD 20 O1 R MLVII

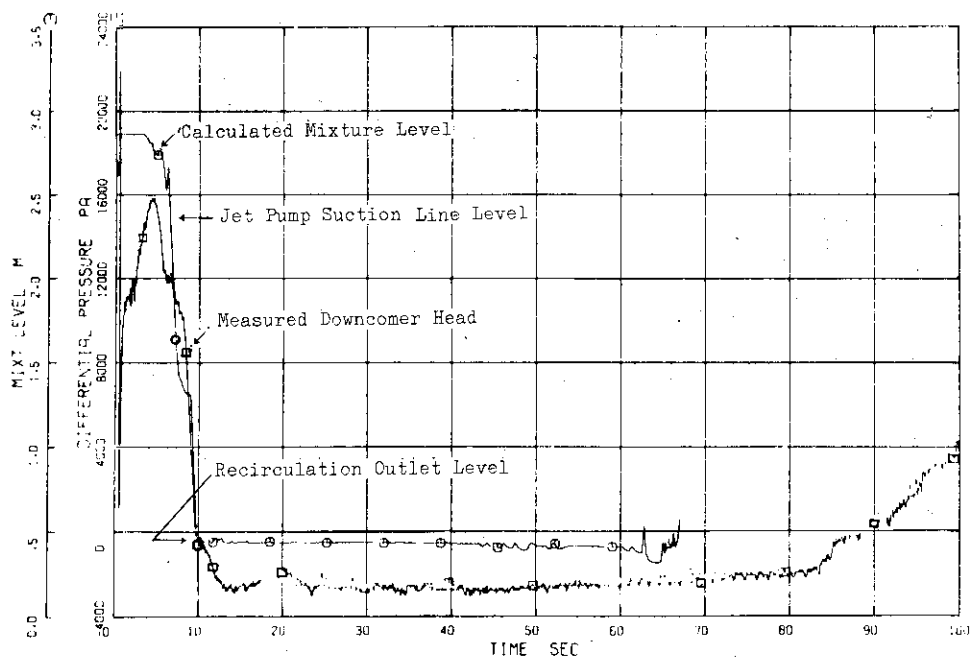


Fig.B.3 Calculated Downcomer Mixture Level and Measured Downcomer Head, Case 3

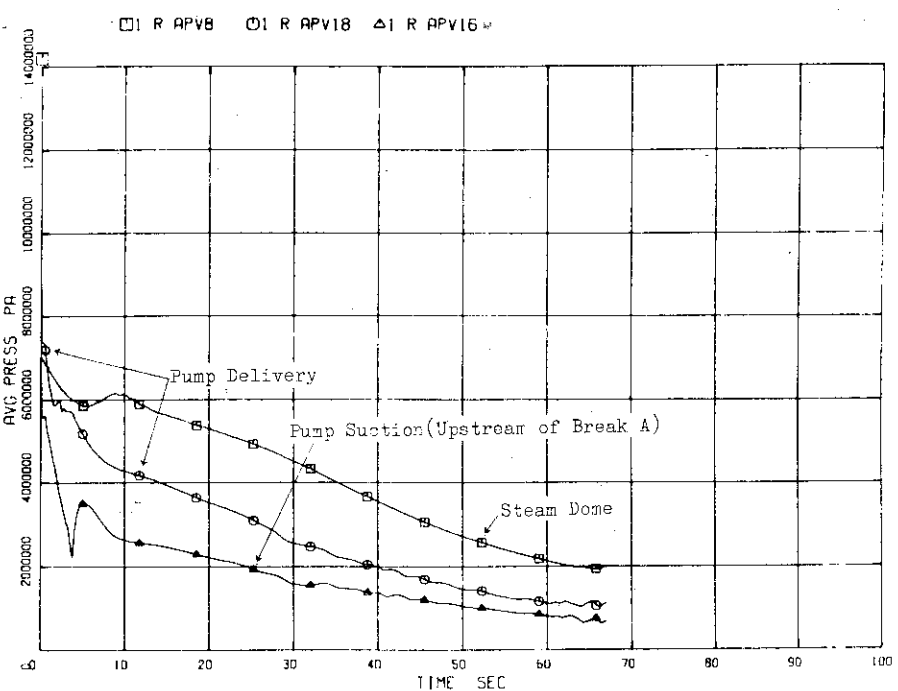


Fig.B.4 Calculated Broken Loop Pressure, Case 3

□I R JWJ53 OI R JXJ53

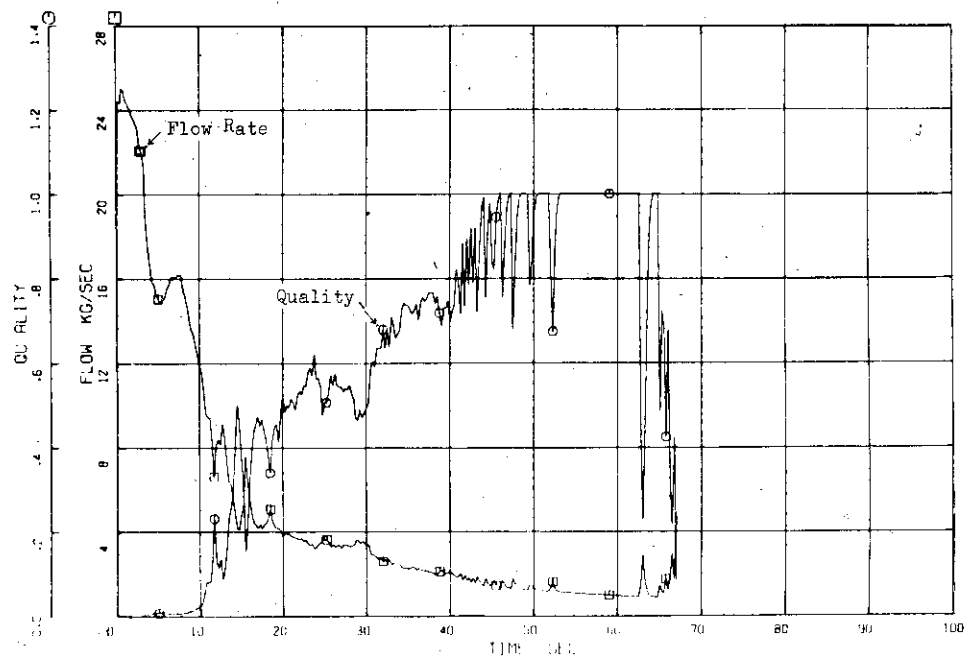


Fig.B.5 Calculated Vessel Side Break Flow, Case 3

□I R JWJ54 OI R JXJ54

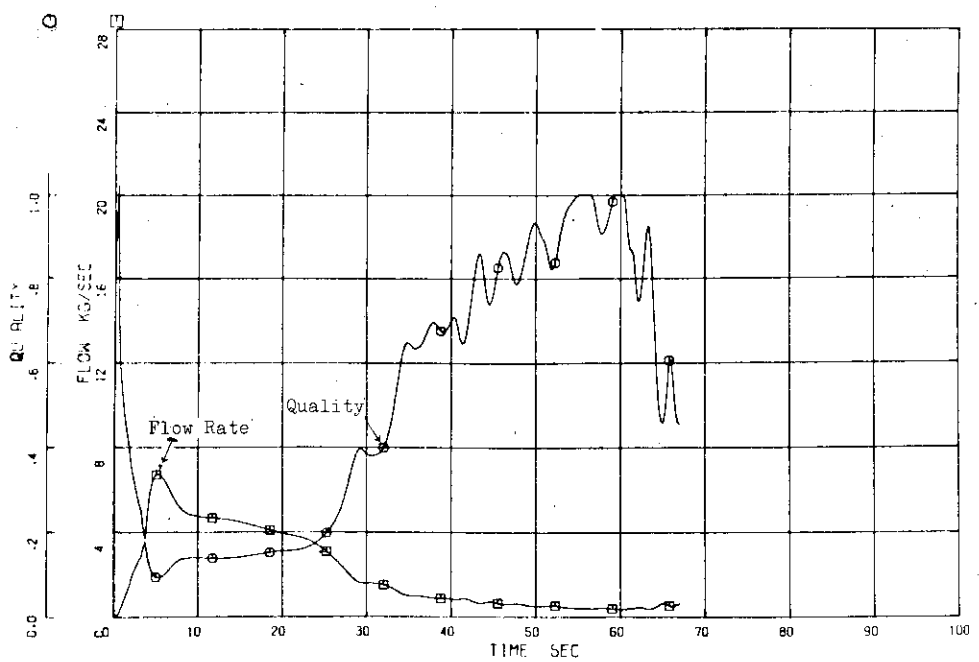


Fig.B.6 Calculated Pump Side Break Flow, Case 3

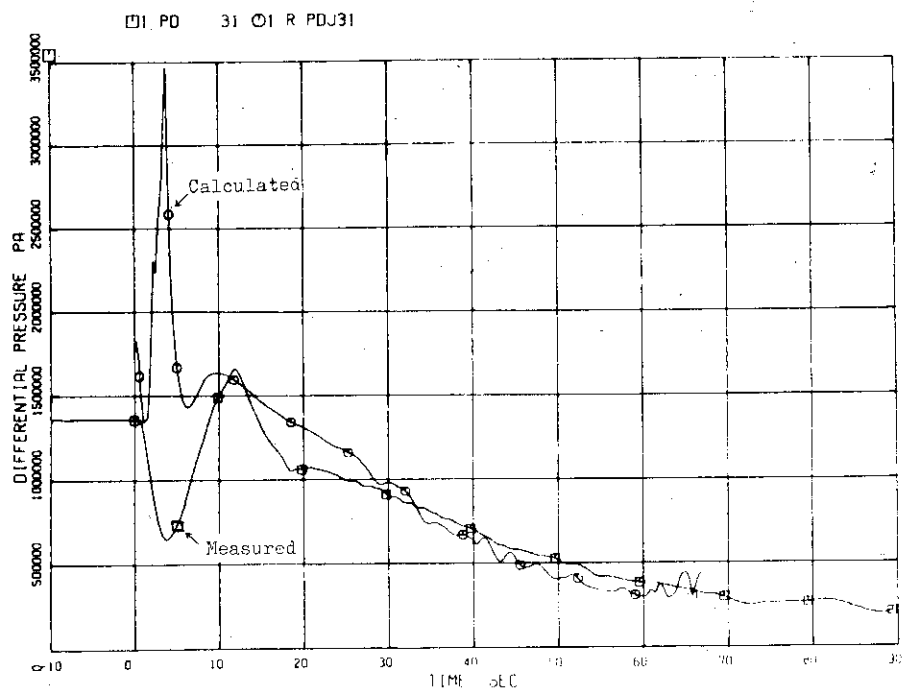


Fig.B.7 Broken Loop Recirculation Pump Head, Case 3

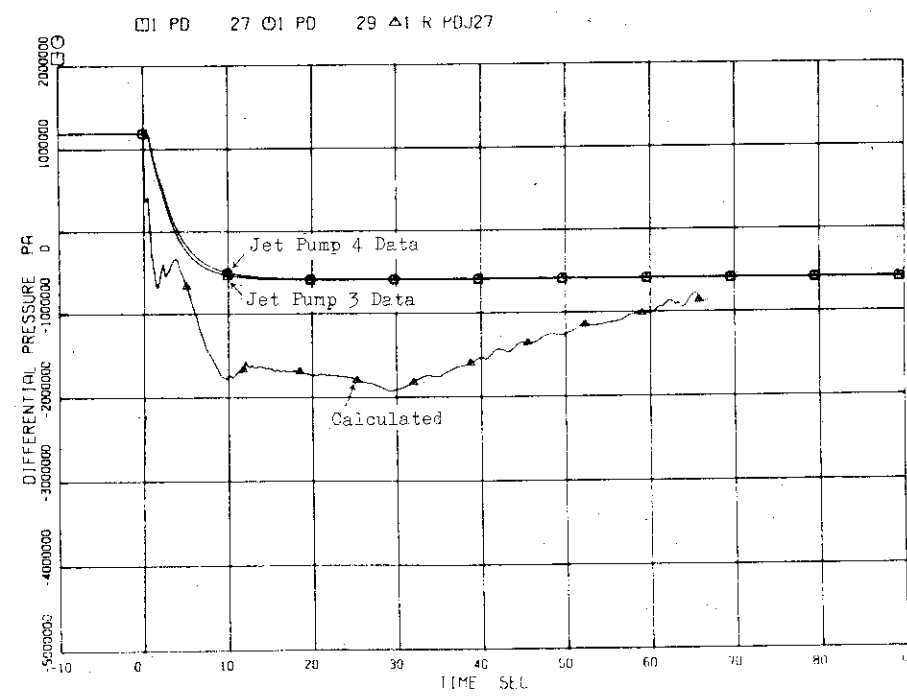


Fig.B.8 Broken Loop Jet Pump Drive-Suction Differential Pressure, Case 3

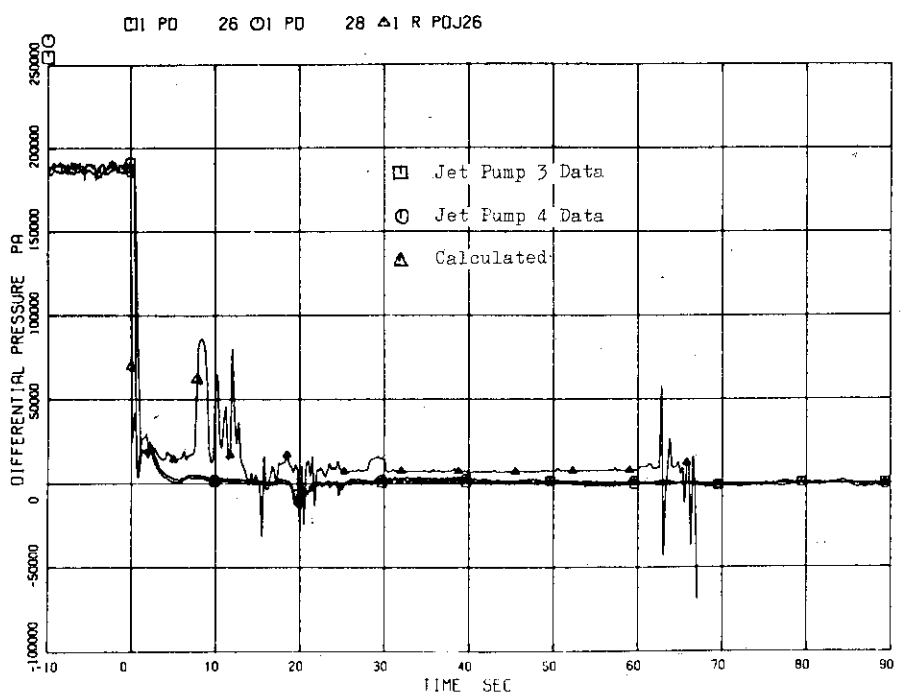


Fig.B.9 Broken Loop Jet Pump Discharge-Suction Differential Pressure, Case 3

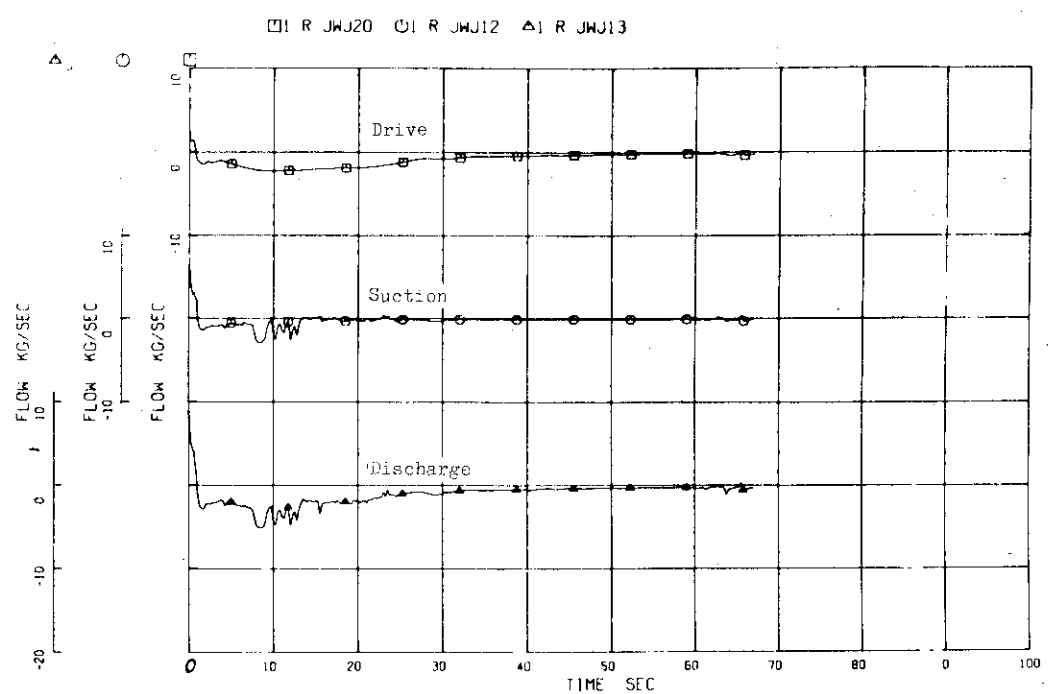


Fig.B.10 Calculated Broken Loop Jet Pump Flow Rates, Case 3

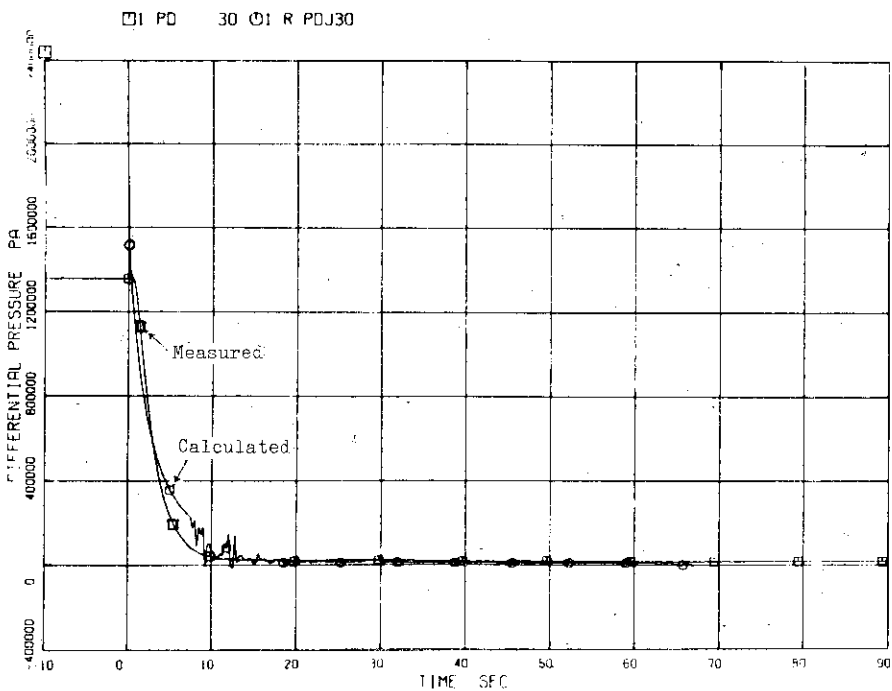


Fig.B.11 Intact Loop Recirculation Pump Head, Case 3

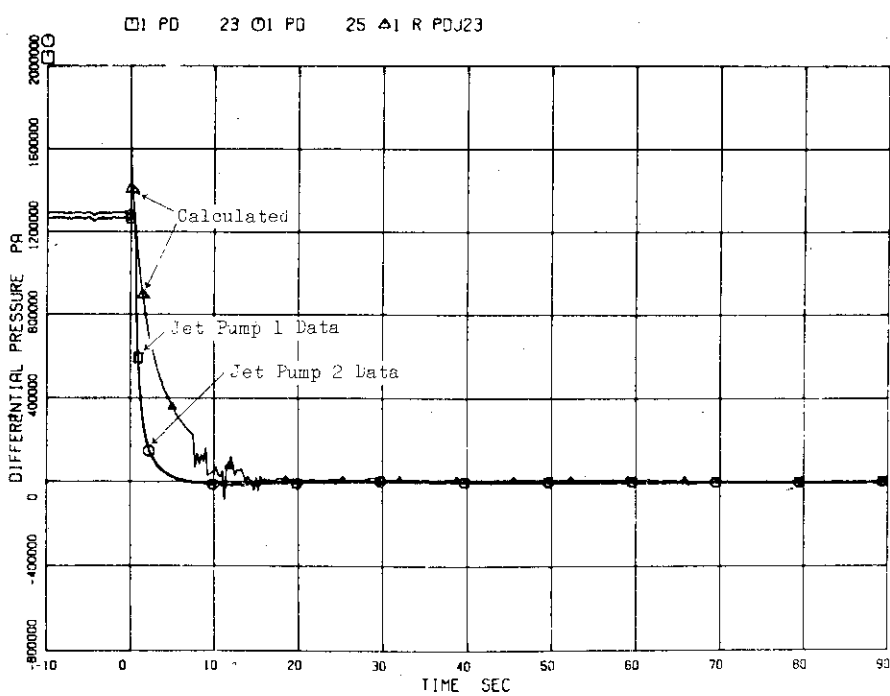


Fig.B.12 Intact Loop Jet Pump Drive-Suction Differential Pressure, Case 3

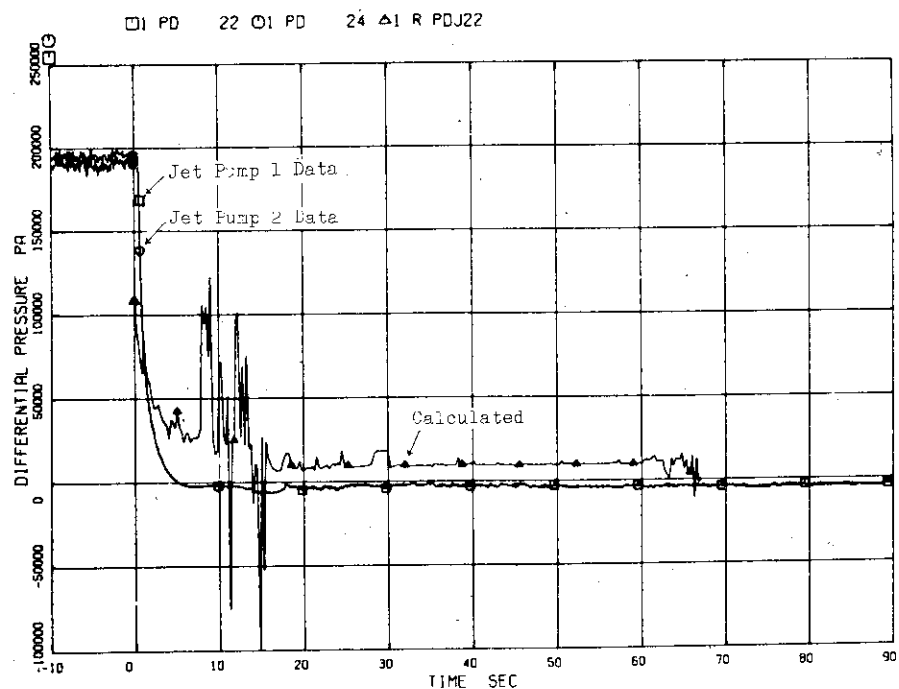


Fig.B.13 Intact Loop Jet Pump Discharge-Suction Differential Pressure, Case 3

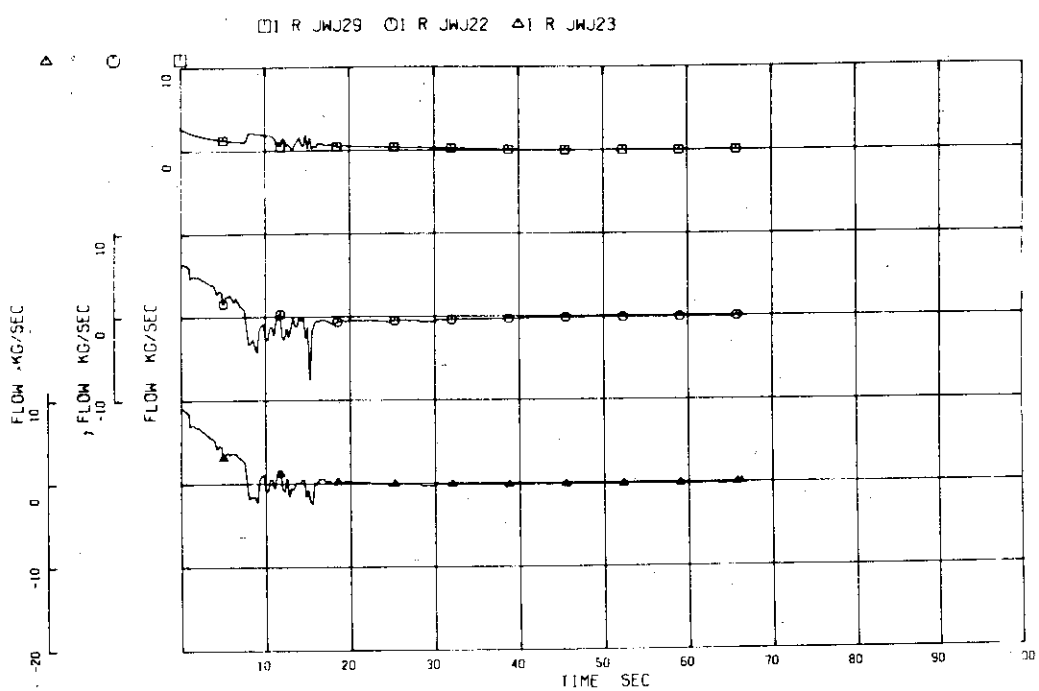


Fig.B.14 Calculated Intact Loop Jet Pump Flow Rates, Case 3

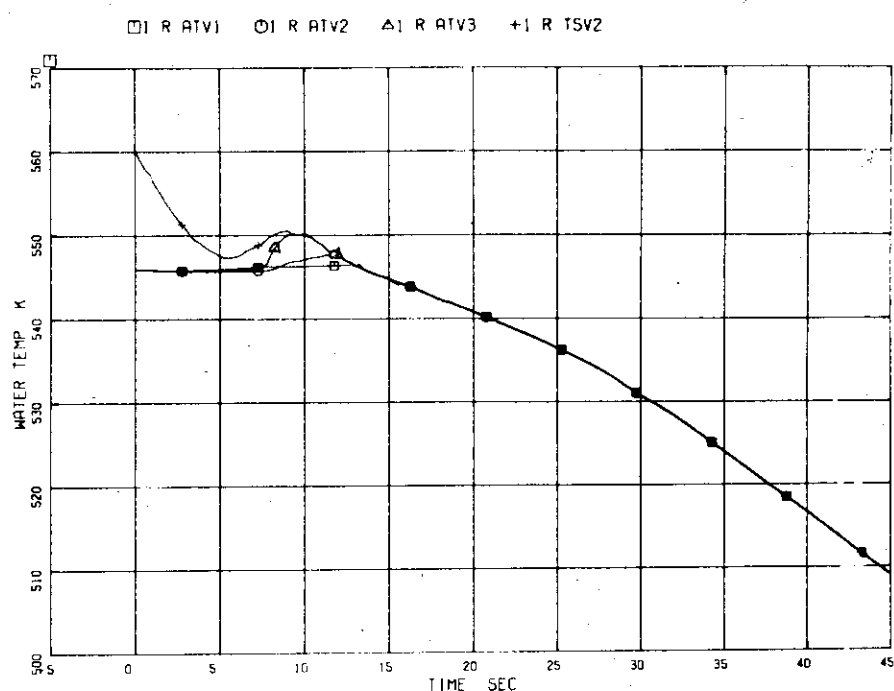


Fig.B.15 Calculated Lower Plenum Temperatures, Case 3

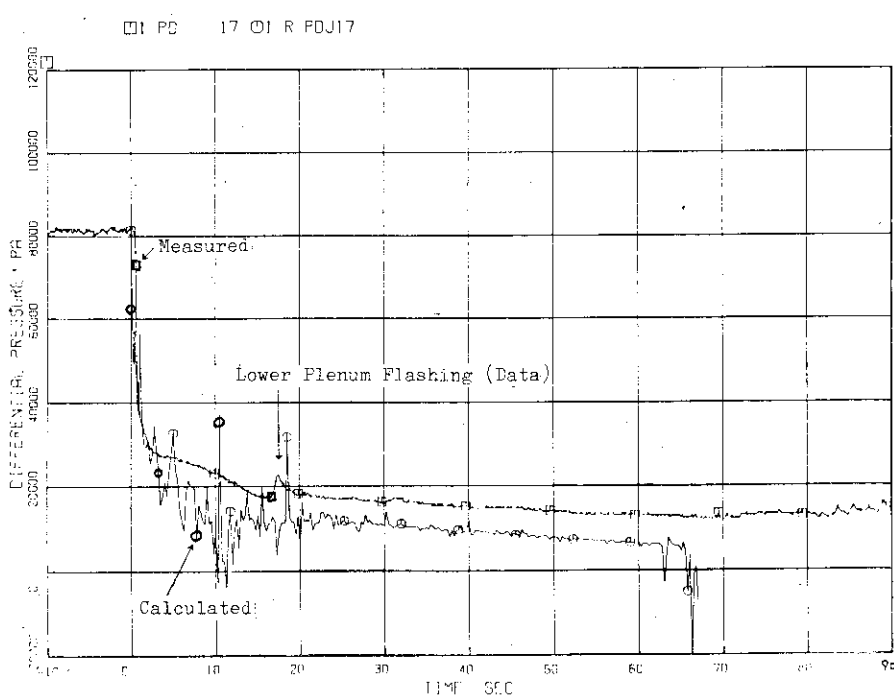


Fig.B.16 Differential Pressure Between Lower Plenum and Upper Plenum, Case 3

□1 R JHWJ3

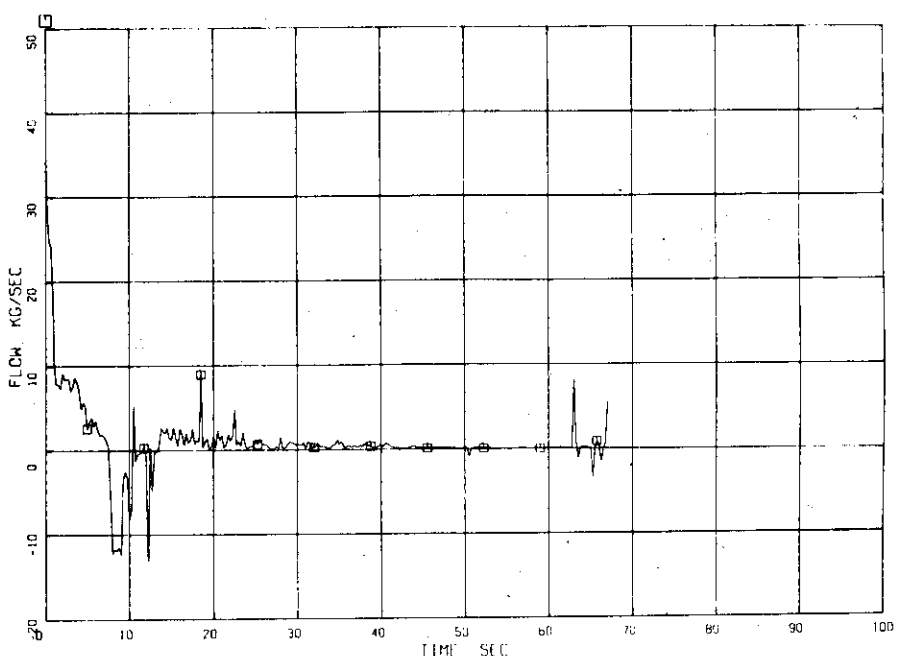


Fig.B.17 Calculated Core Inlet Flow Rate, Case 3

□1 PD 18 □1 R PDJ18

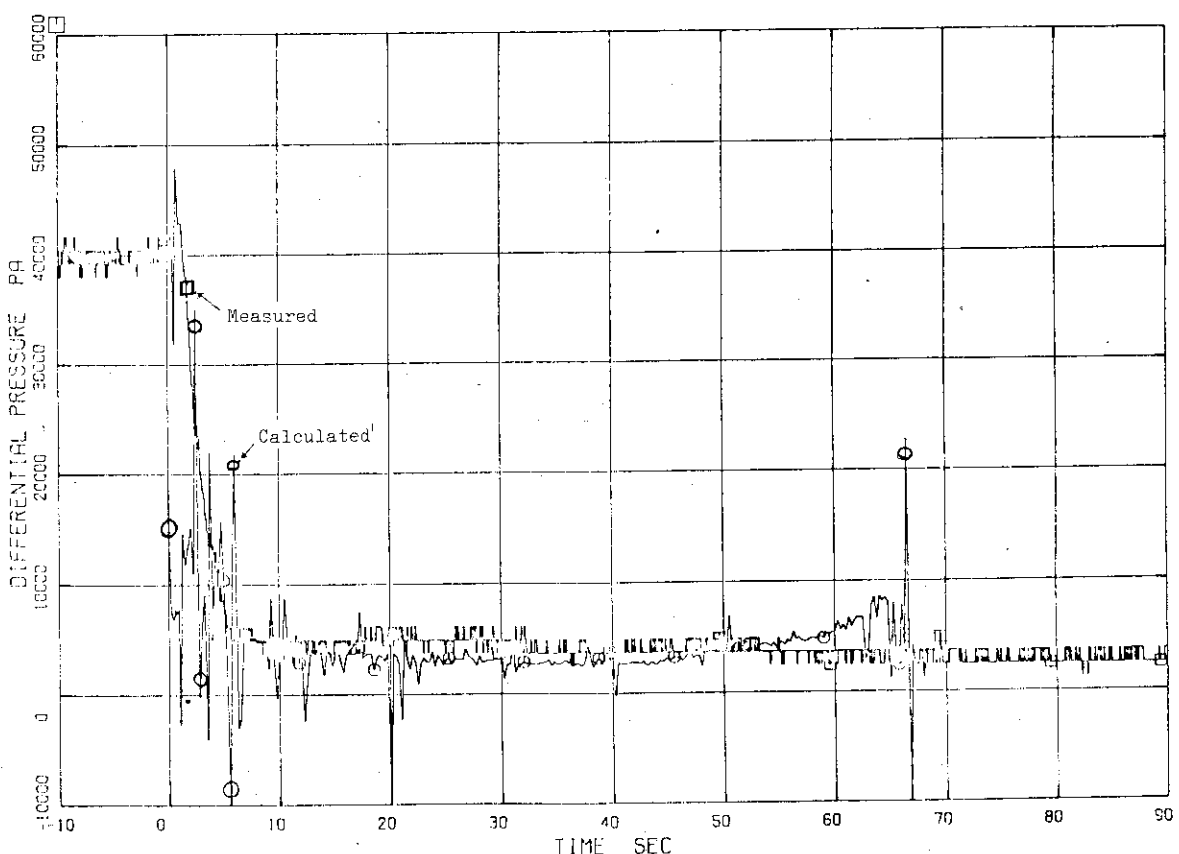


Fig.B.18 Differential Pressure Between Upper Plenum and Steam Dome, Case 3

□1 P0 21 O1 R P0J21

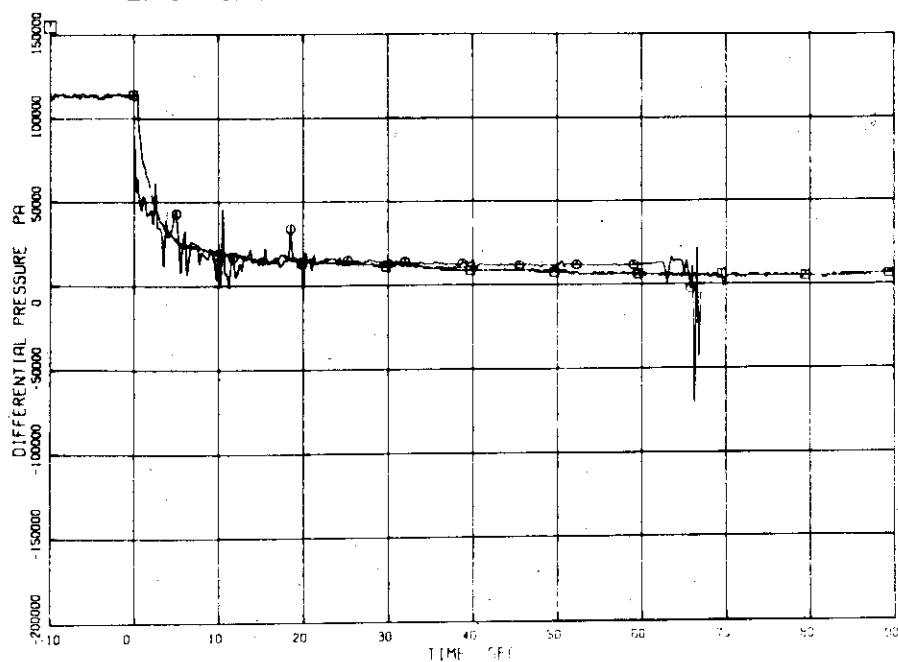


Fig.B.19 Differential Pressure Between Lower Plenum and Steam Dome, Case 3

□1 R MLV1 ○1 R MLV2 △1 R MLV3

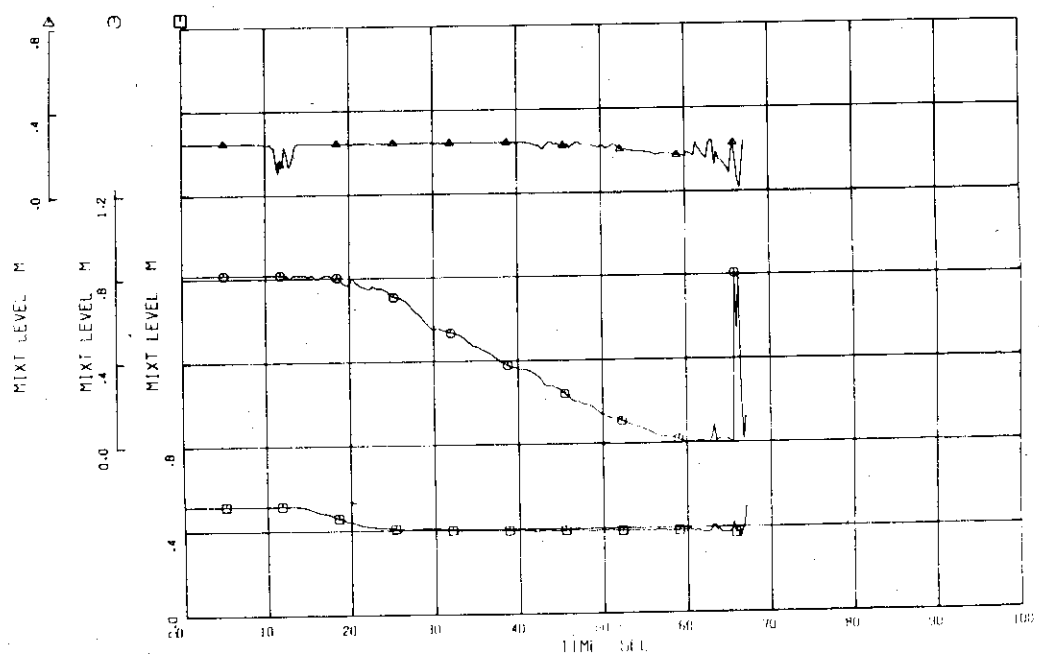


Fig.B.20 Calculated Mixture Levels in Lower Plenum, Case 3

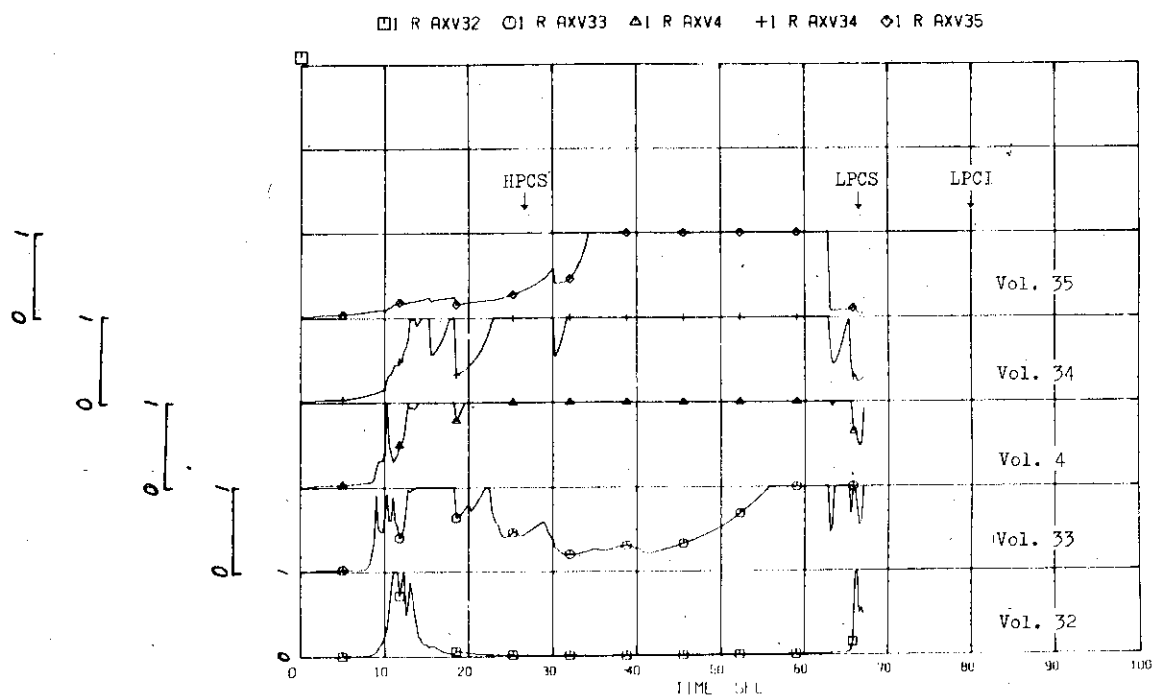


Fig.B.21 Calculated Qualities in Core, Case 3

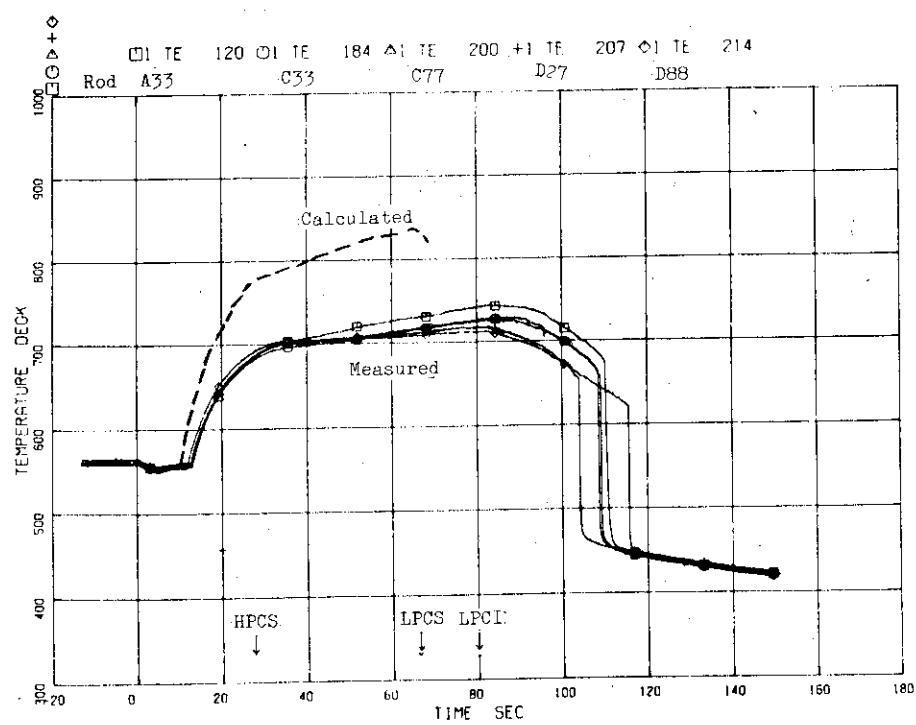


Fig.B.22 Heater Surface Temperature at Position 2 (Above Center), Case 3

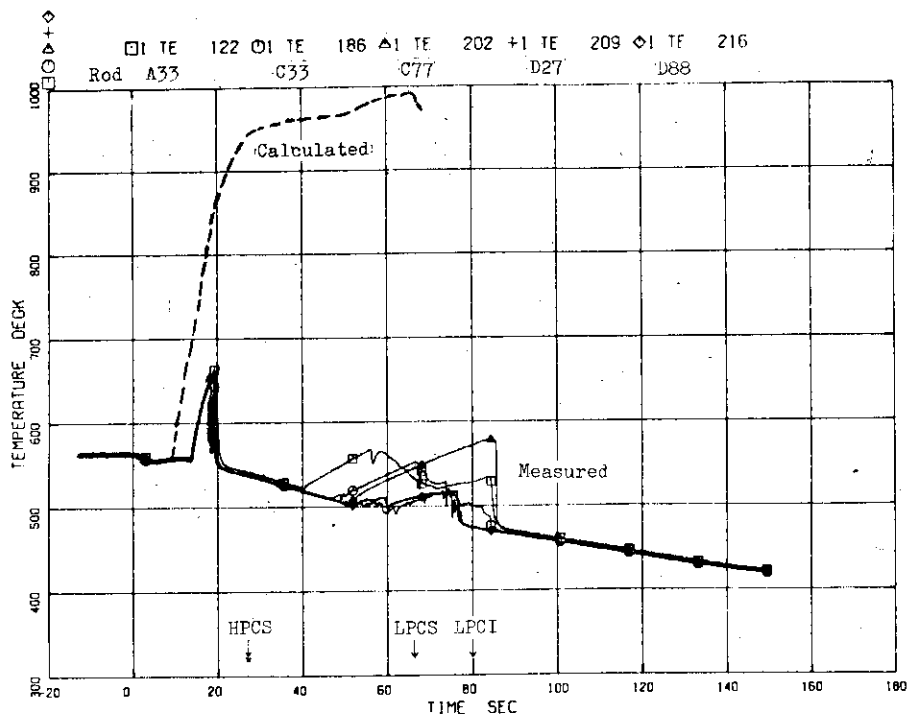


Fig. B.23 Heater Surface Temperature at Position 4 (Center), Case 3

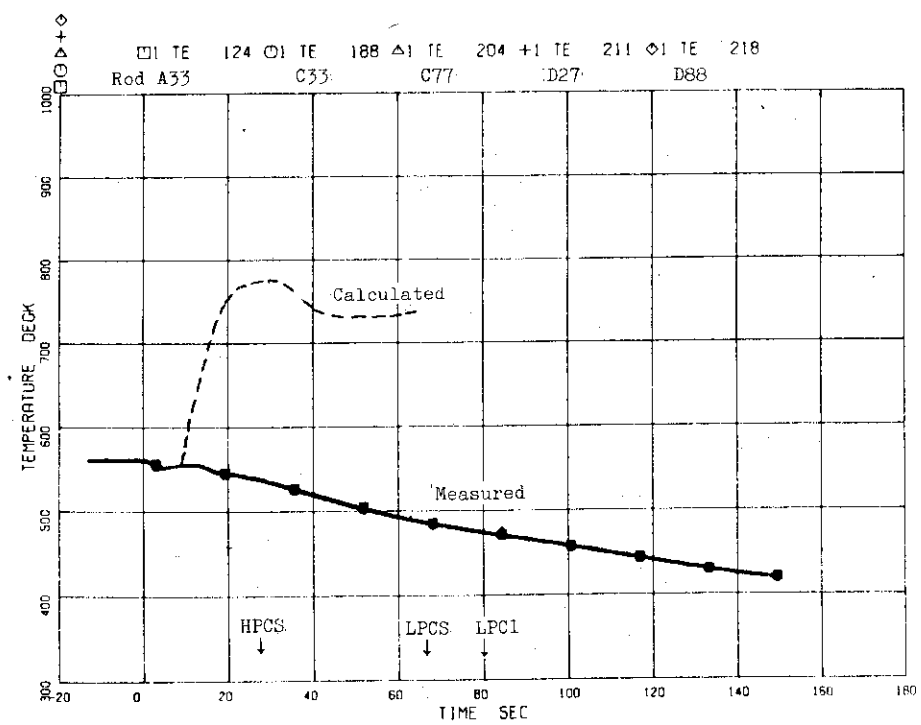


Fig. B.24 Heater Surface Temperature at Position 6 (Below Center), Case 3

□ I R WOVI

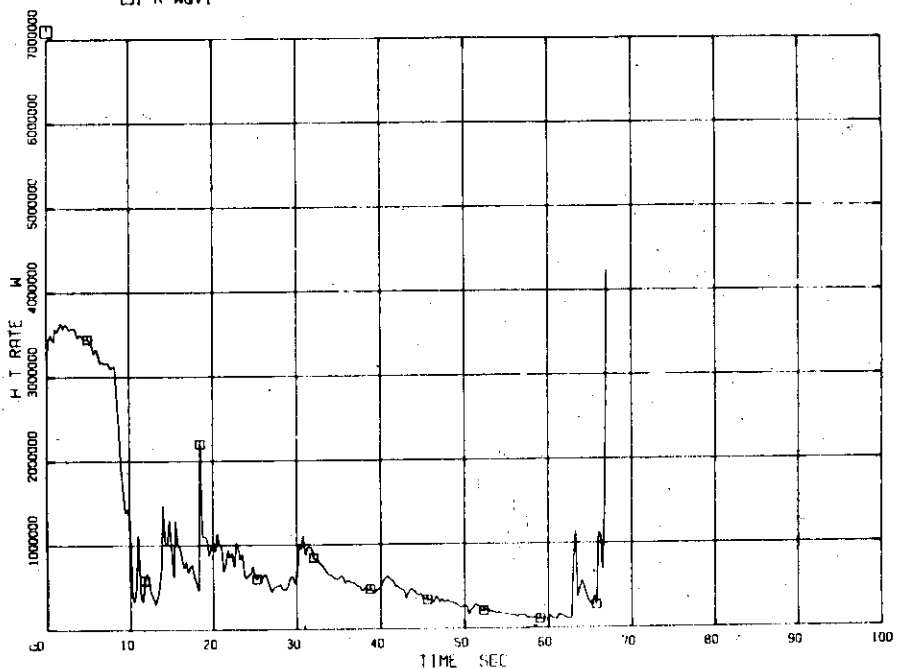


Fig.B.25 Calculated Total Core Heat Transfer Rate, Case 3

□ I R TMVS ○ I R TMVS

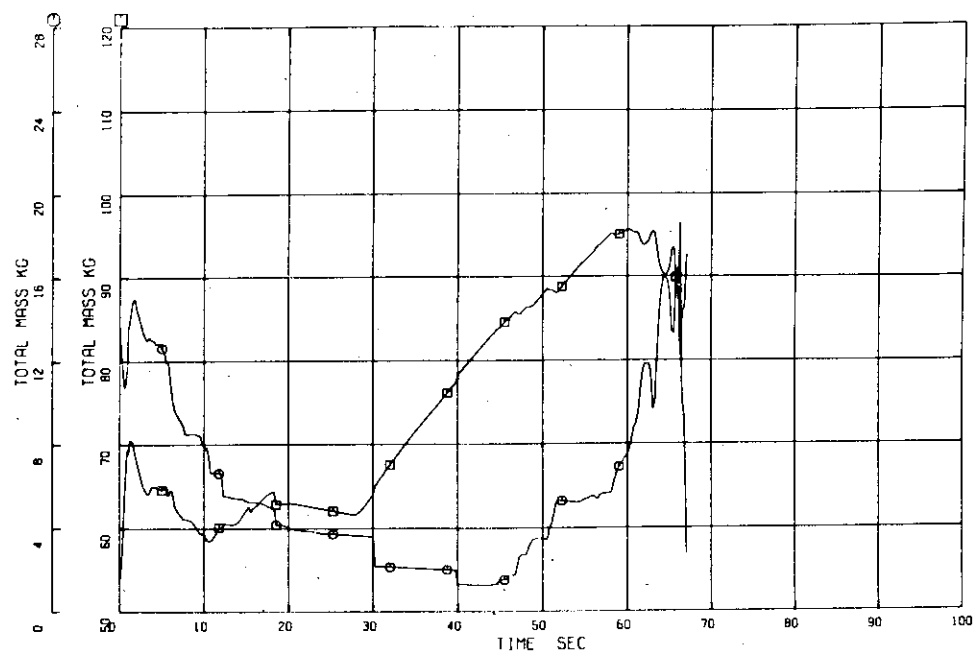


Fig.B.26 Calculated Total Masses in Upper Plenum and Separator, Case 3

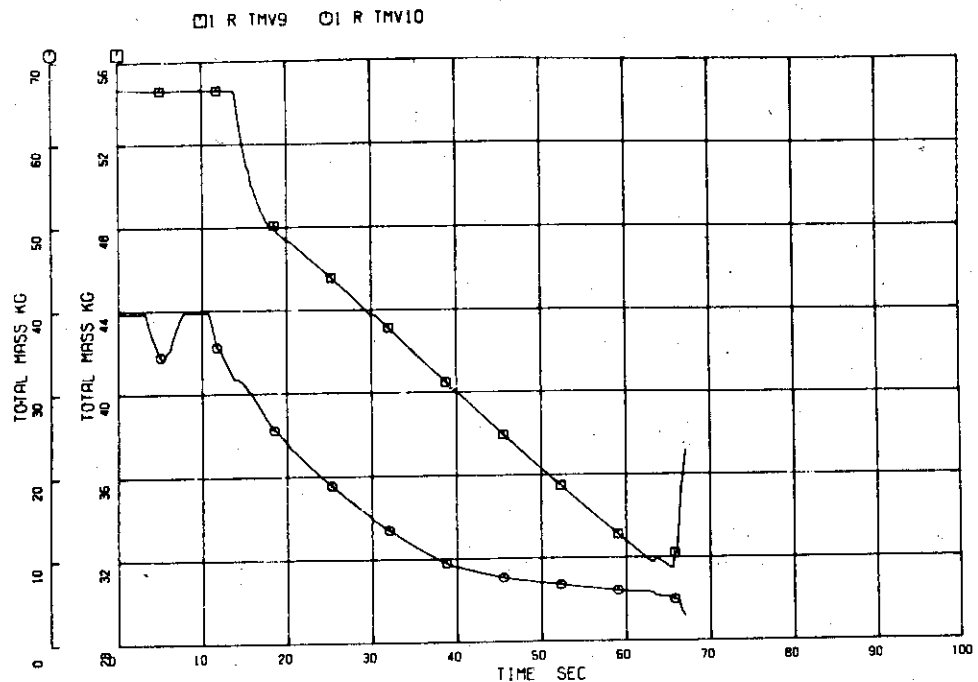


Fig.B.27 Calculated Total Masses in Bypass and Guide Tube, Case 3

## 付録C ケース1の入力リスト

LISTING OF INPUT DATA FOR CASE 1

```

1   *  

2   * ROSA-3 ANALYSIS BY RELAP4J  

3   * TITLE  

4   *  

5   *ROSA3K  

6   *  

7   ***PROBLEM DIMENSIONS***  

8   *  

9   * LDMP NTC NVOL NTDV NPMPC NLK NSLB NMAT NHTX  

10  * NEDI NTRP NBUS NJUN NCVK NFLL NGOM NCOR ISPROG  

11  010001 -2 9 5 16 35 3 0 54 2 4 3 5 50 20 7 11 0  

12  *  

13  ***PROBLEM CONSTANTS***  

14  * POWER OMEGA PQUITL PQUITH TQUITL TQUITH  

15  010002 3,267 1.0  

16  *  

17  ***PROGRAM OPTION***  

18  *  

19  *** INPUT OUTPUT  

20  *  

21  10005 0 0 0 *  

22  *  

23  10007 10 0.4 . 0.05 0.8 *  

24  ***EDIT VARIABLES***  

25  *  

26  D20000 AP 8 JW 48 JW 3 AX 4 SF 4 HC 4 ST 4 ST 34 ST 35 *  

27  *  

28  ***TIME STEP CONTROL CARDS***  

29  *  

30  * NMIN NMAJ NDMP NCHX DELTM OTMIN TLAST ENDCPU  

31  030010 25 2 2 -2 1.0-2 1.0-6 1. *  

32  030020 25 4 2 -2 1.0-2 1.0-6 10. *  

33  030030 25 8 2 -2 1.0-2 1.0-6 20.0 *  

34  030040 25 16 2 -2 1.0-2 1.0-6 40.0 *  

35  030050 50 16 2 -2 0.5-2 1.0-6 200.0 *  

36  *  

37  *  

38  ***DETAILED EDIT 030002*** = NOT USED =  

39  *  

40  ***WATER PACKING ETC, 030003 *** = NOT USED =  

41  *  

42  ***MIXTURE LEVEL SMOOTHING 030004 *** = NOT USED =  

43  *  

44  ***TRIP CONTROLS***  

45  *  

46  * IDTRP IUSIG IX1 IX2 SETPT DELAY  

47  040010 1 1 0 0 900, 0, * END BY TIME  

48  040020 2 1 0 0 .001 0, * START OF BREAK  

49  040030 3 1 0 0 .001 0, * FEED WATER PUMP ON  

50  040040 4 1 0 0 .001 0, * MAIN STM VALV. OPN  

51  040050 5 1 0 0 .001 0, * HPCS TIMER SET  

52  040060 6 1 0 0 .001 0, * LPCS TRIP  

53  040070 7 1 0 0 .001 0, * LPCI TRIP  

54  040080 8 1 0 0 .001 999, * ADS VALVE OPN  

55  040090 1 -8 6 0 14.7 0, * END BY LOW PRESS  

56  040100 1 10 1 0 2200, 0, * END BY HI CLD TEMP  

57  040110 9 1 0 0 .001 0, * MPRI PUMP TRIP  

58  040120 10 1 0 0 .001 0, * MPR2 PUMP TRIP  

59  040130 11 1 0 0 0, 0, * PWT TRIP  

60  040140 12 1 0 0 0, 999, * STM DISCH LIN TRP  

61  040150 13 1 0 0 .001 .5, * QSV TRIP  

62  040160 14 1 0 0 0, 999.0 * NO FLW THRU J34,J35  

63  *  

64  ***VOLUME DATA***  

65  * BASED ON PREDICTION  

66  *  

67  * IBUB IREAD P TEMP HORK V ZVOL ZM  

68  * (PSIA) (DEGF) (QLTY) (FT*3) (FT) (FT)  

69  050011 2 0 1035.8638 523, -1, 4,700 1,690 1,690 *  

70  050021 2 0 1035.1014 523, -1, 2,033 2,677 2,677 *  

71  050031 2 0 1028.4384 523, -1, 2,198 8,042 8,042 *  

72  050041 2 0 1026.4611 -1, .00436 2,875 6,647 6,647 *  

73  050051 2 0 1025.762 -1, .03739 4,383 2,31 2,31 *  

74  050061 2 0 1022.4560 -1, .03769 1,121 3,682 3,682 *  

75  050071 2 0 1021.11430 -1, 0, 13,16 4,050 .71 *  

76  050081 2 0 1021.0400 -1, .99999 4,287 1,140 1,14 *  

77  050091 2 0 1026.9901 523, -1, 2,523 3,579 3,579 *  

78  050101 2 0 1025.183 523, -1, 1,851 7,336 7,336 *  

79  050111 2 0 1023.4037 523, -1, 2,393 9,389 9,389 *  

80  050121 0 0 1019.8000 523, -1, 2,312 .374 .374 *  

81  050131 0 0 1038.8876 523, -1, 1,498 6,893 6,893 *  

82  050141 0 0 1034.1940 523, -1, .5953 .9090 .9090 *  

83  050151 0 0 1022.8279 523, -1, .649 4,884 4,884 *  

84  050161 0 0 1016.8353 523, -1, .8074 9,987 9,987 *  

85  050171 0 0 1148.7329 523, -1, .187 .955 .955 *  

86  050181 0 0 1278.0002 524, -1, .5854 11,464 11,464 *  

87  050191 0 0 1271.1893 524, -1, .3118 7,733 7,733 *  

88  050201 0 0 1019.8000 523, -1, .2312 .374 .374 *  

89  050211 0 0 1038.3708 523, -1, .1487 6,842 6,842 *  

90  050221 0 0 1034.3008 523, -1, .5429 .9600 .9600 *  

91  050231 0 0 1021.8594 523, -1, .4902 10,49 10,49 *  

92  050241 0 0 1156.2911 523, -1, .187 .955 .955 *  

93  050251 0 0 1282.9292 524, -1, .7164 15,29 15,29 *  

94  050261 0 0 1277.5811 524, -1, .3531 4,067 4,067 *  

95  050271 2 0 1021.3311 523, -1, 1,333 .5000 .5000 *  

96  050281 2 0 1021.670 523, -1, .214 2,936 2,936 *  

97  050291 2 0 1000, 0, 0, 1,036 2,343 2,343 *  

98  050301 0 0 1038.8876 523, -1, .1498 6,893 6,893 *  

99  050311 0 0 1038.3708 523, -1, .1487 6,842 6,842 *  

100 050321 2 0 1024.26 -1, .00305 .5824 1,347 1,347 *  

CARD ABOVE IS REPLACEMENT CARD.  

101 050321 2 0 1027.305 523,9 -1, .4708 1.0885 1.0885 * RSA00982  

102 050331 2 0 1026.805 529,7 -1, .6748 1.561 1.561 * RSA00983  

103 050341 2 0 1025.713 -1, .0249 .6748 1.561 1.561 * RSA00984  

104 050351 2 0 1025.256 -1, .0365 .4708 1.0885 1.0885 * RSA00985  

105 *  

106 * JTPMV FLOWA DIAMV ELEV IAMBL  

107 * (FT*2) (FT) (SLIP,VRTCL STK IND)  

108 050012 0 1.61 100, -.0594 *  

109 050022 0 .7594 .1059 1.63 *  

110 050032 0 .4865 .04341 4,160 *  

111 050042 0 .4325 .04341 4,964 *  

112 050052 0 1.898 1.64 11.61 *  

113 050062 0 .3045 .5548 13,92 *  

114 050072 0 .3250 .0 14,48 *  

115 050082 0 3,809 2,202 18,53 *  

116 050092 0 .7048 .276 .8593 *  

117 050102 0 .2523 .1307 4,4383 *  

118 050112 0 .2549 .09291 1,621 *  

119 050122 0 .03095 .1865 8,993 *  

120 050132 0 .02051 .1049 2, *  

121 050142 0 .04613 .2425 1,191 *  

122 050152 0 .02264 .1644 -.725 *  

123 050162 0 .0193 .1646 7,333 *  

124 050172 0 .1058 .4944 -8,288 *  

125 050182 0 .02161 .1653 -8,288 *  

126 050192 0 .02109 .1553 3,176 *  

127 050202 0 .03095 .1865 8,993 *  

128 050212 0 .02051 .1048 2,151 *  

129 050222 0 .04613 .2425 1,191 *  


```

130 050232 0 .02346 .1657 -7.333 \* RSA01240  
 131 050242 0 .1958 .4944 -6,288 \* RSA01250  
 132 050252 0 .02238 .1657 -6,288 \* RSA01260  
 133 050262 0 .02104 .1566 6,842 \* RSA01270  
 134 050272 0 2,480 1,045 13,94 \* RSA01280  
 135 050282 0 .8512 .3011 11,01 \* RSA01290  
 136 050292 0 .1114 .1229 14,48 \* RSA01300  
 137 050302 0 .02051 .1049 2,1 \* RSA01310  
 138 050312 0 .02051 .1048 2,151 \* RSA01320  
 139 050322 0 .4325 .04341 7,6135 \* RSA01321  
 CARD ABOVE IS REPLACEMENT CARD.  
 140 050322 0 .4325 .04341 4,964 \* RSA01322  
 141 050332 0 .4325 .04341 6,0525 \* RSA01323  
 142 050342 0 .4325 .04341 8,9605 \* RSA01324  
 143 050352 0 .4325 .04341 10,5215 \* RSA01325  
 144 \* RSA01330  
 145 \*\*\*LIQUID LEVEL 060000 \*\*\* = NOT USED = RSA01340  
 146 \* RSA01350  
 147 \*\*\*SLIP VELOCITY 060001 \*\*\* = NOT USED = RSA01360  
 148 \* RSA01370  
 149 \*\*\*WALLIS 060002 \*\*\* = NOT USED = RSA01380  
 150 \* RSA01390  
 151 \*\*\*WALLIS CROWLEY 060003 \*\*\* = NOT USED = RSA01400  
 152 \* RSA01410  
 153 \*\*\*DOWNCOMER PENETRATION 060004 \*\*\* = NOT USED = RSA01420  
 154 \* RSA01430  
 155 \*\*\*DOWNCOMER PENETRATION COEFF. 060005 \*\*\* = NOT USED = RSA01440  
 156 \* RSA01450  
 157 \*\*\* BUBBLE DATA CARDS \*\*\* RSA01460  
 158 \* RSA01470  
 159 \* RSA01480  
 160 \* ALPH VRUB RSA01490  
 161 \* (FT/SEC) RSA01500  
 162 060011 0.0 3. RSA01510  
 163 060021 0.8 3. \* RSA01520  
 164 060031 1.0 10,\* RSA01530  
 165 \* RSA01540  
 166 \*\*\*TIME DEPENDENT VOLUME 07XXXX \*\*\* = NOT USED = RSA01550  
 167 \* RSA01560  
 168 \*\*\*FLOW SMOOTHING 080001 THRU 080009 \*\*\* = NOT USED = RSA01570  
 \*\*\* JUNCTION DATA \*\*\* RSA01580  
 170 \* RSA01590  
 171 \* I1I2 IPUMP IVALVE WP AJUN ZJUN INERTIA(L/A) RSA01600  
 172 \* FROM TO (LB/SEC) (FT\*\*2) (FT (1/FT) RSA01610  
 173 080011 1 2 0 0 79,495 0,599 1,630 3,81 \* RSA01620  
 174 080021 2 3 0 0 79,495 0,0442 4,307 3,08 \* RSA01630  
 175 080031 3 32 0 0 76,485 0,135 4,964 7,343 \* RSA01640  
 176 080041 35 5 0 0 76,485 0,1363 11,61 6,478 \* RSA01650  
 177 080051 5 6 0 0 80,8 0,233 13,92 8,07 \* RSA01660  
 178 080061 6 7 0 0 80,8 0,1610 17,60 9,14 \* RSA01670  
 179 080071 7 8 0 0 3,1 0,206 18,53 0,567 \* RSA01680  
 180 080081 1 9 0 0 1,305 8,12-4 0,8593 3,510-2 \* RSA01690  
 181 080091 9 10 0 0 1,305 0,0208 4,4383 19,0 \* RSA01700  
 182 080101 10 5 0 0 4,315 0,1456 11,77 21,8 \* RSA01710  
 183 080111 11 12 0 0 27,7 0,0328 9,233 1,212-2 \* RSA01720  
 184 080121 12 13 0 0 13,85 9,011-3 8,993 2,708-2 \* RSA01730  
 185 080131 13 14 0 0 20,2 0,03280 2,100 4,313-2 \* RSA01740  
 186 080141 14 1 0 0 40,4 0,04610 1,312 1,413-2 \* RSA01750  
 187 080151 11 15 0 0 12,7 0,0207 3,078 9,041-2 \* RSA01760  
 188 080161 15 16 0 0 12,7 0,0207 -1,643 3,352-3 \*ESV RSA01770  
 189 080171 16 17 0 0 12,7 0,04616 -7,333 7,506-2 \* RSA01780  
 190 080181 17 18 0 0 12,7 0,03280 -8,186 5,654-2 \* RSA01790  
 191 080191 18 19 0 0 12,7 0,0207 3,176 9,870-2 \* RSA01800  
 192 080201 19 20 0 0 6,35 5,960-6 8,993 1,097-3 \* RSA01810  
 193 080211 21 20 0 0 27,9 0,03280 9,233 1,212-2 \* RSA01820  
 194 080221 20 21 0 0 13,75 9,011-3 8,993 2,708-2 \* RSA01830  
 195 080231 21 22 0 0 20,2 0,03280 2,151 4,054-2 \* RSA01840  
 196 080241 22 1 0 0 40,4 0,04616 1,312 1,415-2 \* RSA01850  
 197 080251 11 23 0 0 12,9 0,0207 3,078 5,047-2 \* RSA01860  
 198 080261 23 24 -1 0 12,9 0,04616 -7,333 4,463-2 \* RSA01870  
 199 080271 24 25 1 0 12,9 0,03280 -8,186 6,955-2 \* RSA01880  
 200 080281 25 26 0 0 12,9 0,0207 6,923 1,178-3 \* RSA01890  
 201 080291 26 21 0 0 6,45 5,960-4 8,993 1,192-3 \* RSA01900  
 202 080301 7 27 0 0 77,7 2,16 14,48 0,849 \* RSA01910  
 203 080311 27 28 0 0 80,8 0,757 13,94 1,907 \* RSA01920  
 204 080321 28 11 0 0 80,8 0,211 11,01 20,61 \* RSA01930  
 205 080331 3 10 0 0 3,01 3,97-3 4,59 55,5 \* RSA01940  
 206 080341 6 29 0 0 0,0 0,204 16,73 3,95 \* RSA01950  
 207 080351 29 27 0 0 4 0,0 0,0978 18,48 2,86 \* RSA01960  
 208 080361 12 30 0 0 13,85 9,011-3 8,993 2,708-2 \* RSA01970  
 209 080371 19 30 0 0 6,35 5,960-4 8,993 1,097-3 \* RSA01980  
 210 080381 30 14 0 0 20,2 0,03280 2,100 4,313-2 \* RSA01990  
 211 080391 20 31 0 0 13,75 9,011-3 8,993 2,708-2 \* RSA02000  
 212 080401 26 31 0 0 6,45 5,960-4 8,993 1,192-3 \* RSA02010  
 213 080411 31 22 0 0 20,2 0,03280 2,111 4,054-2 \* RSA02020  
 214 080461 0 5 2 0 0,0 0,0207 11,66 0,0 \*LPC1 RSA02030  
 215 080480 0 3 1 0 0,0 0,0346 13,39 0,0 \*HPCS RSA02040  
 216 080481 5 0 3 0 0,0 0,1-15 13,39 0,0 \* RSA02050  
 217 080491 0 27 4 0 0,0 0,01246 14,217 0,0 \*FW,HOT RSA02060  
 218 080501 8 0 3 2 0 0,0 0,1-15 19,67 0,0 \* RSA02070  
 219 080511 0 8 5 0 0,0 3-1 3,379-3 19,67 0,0 \*MSL RSA02080  
 220 080521 0 27 3 0 0,0 0,01246 14,217 0,0 \*FW,COLD RSA02090  
 221 080531 15 0 1 0 0,0 5,799-3 -1,643 3,039-2 \*BRK B RSA02100  
 222 080541 16 0 1 0 0,0 5,799-3 -1,643 7,546-2 \*BRK A RSA02110  
 223 080421 32 33 0 0 76,485 ,3342 6,0525 12,43 \* RSA02111  
 224 080431 33 4 0 0 76,485 ,3342 7,6135 13,63 \* RSA02112  
 225 080441 4 34 0 0 76,485 ,3342 8,9605 13,63 \* RSA02113  
 226 080451 34 35 0 0 76,485 ,3342 10,5215 12,43 \* RSA02114  
 227 \* RSA02120  
 228 \* FJUNE FJUNR JVERTL JCORE JCALC MMIX DIAMJ CONCO ICHOKE \*RSA02130  
 229 \* (FT) (CD) RSA02140  
 230 080012 0,622 0,713 0 0 0 0,0 1,0 1 \* RSA02150  
 231 080022 1,165 1 0 0 0 0,0 1,0 1 \* RSA02160  
 232 080032 0,879 0,879 0 0 0 0,0 1,0 1 \* RSA02170  
 233 080042 0,956 0,956 0 0 0 0,0 1,0 1 \* RSA02180  
 234 080052 1,055 1,076 0 0 0 0,0 1,0 1 \* RSA02190  
 235 080062 1,220 0,522 0 0 0 0,0 1,0 1 \* RSA02200  
 236 080072 1,661 1,661 0 0 0 0,0 1,0 1 \* RSA02210  
 237 080082 1,45 1,45 0 0 0 0,0 1,0 1 \* RSA02220  
 238 080092 1,83 2,40 0 0 0 0,0 1,0 1 \* RSA02230  
 239 080102 1,08 0,643 0 0 0 0,0 1,0 1 \* RSA02240  
 240 080112 0,74 1,24 1 0 0 0,0 1,0 1 \* RSA02250  
 241 080122 2,092 1,763 0 0 0 0,0 1,0 1 \* RSA02260  
 242 080132 5,166 7,859 0 0 0 0,0 1,0 1 \* RSA02270  
 243 080142 1,73 1,73 1 0 0 0,0 1,0 1 \* RSA02280  
 244 080152 1,46 1,97 1 0 0 0,0 1,0 1 \* RSA02290  
 245 080162 4,52 6,52 0 0 0 0,0 1,0 1 \* RSA02300  
 246 080172 15,26 17,29 0 0 0 0,0 1,0 1 \* RSA02310  
 247 080182 1,133 1,158 0 0 0 0,0 1,0 1 \* RSA02320  
 248 080192 2,903 0 0 0 0,0 0,0 1,0 1 \* RSA02330  
 249 080202 0,069 1,624 0 1 0 0,0 0,57 1 \* RSA02340  
 250 080212 0,74 1,24 1 0 0 0,0 1,0 1 \* RSA02350  
 251 080222 2,093 1,763 0 0 0 0,0 0,57 1 \* RSA02360  
 252 080232 3,674 2,718 0 0 0 0,0 0,57 1 \* RSA02370  
 253 080242 1,75 1,25 1 0 0 0,0 1,0 1 \* RSA02380  
 254 080252 3,79 4,31 1 0 0 0,0 1,0 1 \* RSA02390  
 255 080262 2,883 2,485 0 0 0 0,0 1,0 1 \* RSA02400  
 256 080272 6,607 6,632 0 0 0 0,0 1,0 1 \* RSA02410  
 257 080282 0,96 0,96 0 0 0 0,0 0,57 1 \* RSA02420  
 258 080292 0,069 1,624 0 1 0 0,0 0,57 1 \* RSA02430  
 259 080302 0,152 0,114 0 0 0 0,0 1,0 1 \* RSA02440  
 260 080312 0,278 0,328 0 0 0 0,0 1,0 1 \* RSA02450

261 080322 0,328 0,519 0 0 0 0,0 1,0 1 \*RSAD02460  
 262 080332 2,65 2,65 0 0 0 0,0 1,0 1 \*RSAD02470  
 263 080342 2,26 1,97 0 0 0 0,0 1,0 1 \*RSAD02480  
 264 080352 1,0 0,45 0 0 0 0,0 1,0 1 \*RSAD02490  
 265 080362 2,093 1,763 0 0 0 0,0 0,57 1 \*RSAD02500  
 266 080372 0,063 1,624 0 1 0 0,0 0,57 1 \*RSAD02510  
 267 080382 8,816 7,859 0 0 0 0,0 0,57 1 \*RSAD02520  
 268 080392 2,093 1,763 0 0 0 0,0 0,57 1 \*RSAD02530  
 269 080402 0,069 1,624 0 1 0 0,0 0,57 1 \*RSAD02540  
 270 080412 3,674 2,718 0 0 0 0,0 0,57 1 \*RSAD02550  
 271 080462 0,0 0,0 0 0 0 0,0 0,57 1 \*RSAD02560  
 272 080472 0,0 0,0 0 0 0 0,0 0,57 1 \*RSAD02570  
 273 080482 0,0 0,0 0 0 0 0,0 0,57 1 \*RSAD02580  
 274 080492 0,0 0,0 0 0 0 0,0 0,57 1 \*RSAD02590  
 275 080502 35,02 0,0 0 0 0 0,0 0,57 1 \*RSAD02600  
 276 080512 2,746 0,0 0 0 0 0,0 0,57 1 \*RSAD02610  
 277 080522 0,0 0,0 0 0 0 0,0 0,57 1 \*RSAD02620  
 278 080532 1,698 0,0 0 0 0 0,0 0,57 1 \*RSAD02630  
 279 080542 1,243 0,0 0 0 0 0,0 0,57 1 \*RSAD02640  
 280 080424 ,239 ,239 0 0 0 0,0 1, \* \*RSAD02650  
 281 080432 ,239 ,239 0 0 0 0,0 1, \* \*RSAD02660  
 282 080442 ,239 ,239 0 0 0 0,0 1, \* \*RSAD02670  
 283 080452 ,239 ,239 0 0 0 0,0 1, \* \*RSAD02680  
 284 \*  
 285 \* IHFCOR SRCOS IADJUN  
 286 \*  
 287 080013 0 \*  
 288 080023 0 \*  
 289 080033 2 \*  
 290 080043 1 \*  
 291 080053 0 \*  
 292 080063 0 \*  
 293 080073 0 \*  
 294 080083 0 \*  
 295 080093 0 \*  
 296 080103 0 \*  
 297 080113 0 \*  
 298 080123 0 \*  
 299 080133 0 \*  
 300 080143 0 \*  
 301 080153 0 \*  
 302 080163 0 \*  
 303 080173 0 \*  
 304 080183 0 \*  
 305 080193 0 \*  
 306 080203 0 1 \*  
 307 080213 0 \*  
 308 080223 0 \*  
 309 080233 0 \*  
 310 080243 0 \*  
 311 080253 0 \*  
 312 080263 0 \*  
 313 080273 0 \*  
 314 080283 0 \*  
 315 080293 0 1 \*  
 316 080303 0 \*  
 317 080313 0 \*  
 318 080323 0 \*  
 319 080333 0 \*  
 320 080343 0 \*  
 321 080353 0 \*  
 322 080363 0 \*  
 323 080373 0 1 \*  
 324 080383 0 \*  
 325 080393 0 \*  
 326 080403 0 1 \*  
 327 080413 0 \*  
 328 080463 0 \*  
 329 080473 0 \*  
 330 080483 0 \*  
 331 080493 0 \*  
 332 080503 0 1 \*  
 333 080513 0 1 \*  
 334 080523 0 1 \*  
 335 080533 0 1 \*  
 336 080543 0 1 \*  
 337 080423 3 \*  
 338 080433 3 \*  
 339 080443 3 \*  
 340 080453 3 \* \*  
 341 \*  
 342 \*  
 343 \*\*\* DIAL CARDS 082001 THRU 082036, 082011..082012..082020..082021\*\*\*  
 344 \*\*\* 082030 THRU 082032 \*\*\*  
 345 \*\*\* ARE NOT USED. \*\*\*  
 346 \*  
 347 \*\*\* PUMP DESCRIPTION \*\*\*  
 348 \*  
 349 \*  
 350 \* IPC ITMPM IRP IPM IMT PONGAR PRSAT PFLOW PHEAD PTORKR  
 351 \* (RPM) (RATIO) (GPM) (FT) (LB,FT)  
 352 090011 3 9 1 1 3600, ,972 132, 859,6 21,5 \*RSAD02690  
 353 090021 3 10 1 1 3600, ,972 132, 859,6 21,5 \*RSAD03000  
 354 \*  
 355 \*  
 356 \* PINRTA VRHO TORKF(3) TORKMR TORKF(1) TORKF(2) TORKF(4)  
 357 \* (LBM,FT2) (LBM/FT3) (LBF,FT)  
 358 090012 8,65 0, 2,15 \*  
 359 090022 8,65 0, 2,15 \*  
 360 \*  
 361 \*\*\* PUMP HEAD MULTIPLIER  
 362 \*  
 363 \* NPHM PHDM(1), PHDM(2),-----  
 364 \* (VOID) (NLTPLR)  
 365 090101 -11 0,0 ,0, .1, .0, .15 .05 ,24 ,8 ,3 ,96  
 366 090102 ,4 ,98 ,6 ,97 ,8 ,9 ,9 ,8 ,96 ,5  
 367 091003 1,0 ,0 ,0 ,0 ,0 ,0 ,0 ,0 ,0 ,0 ,0  
 368 \*  
 369 \*\*\* PUMP TORQUE MULTIPLIER \*\*\*  
 370 \*  
 371 \* NPTN PTKM(1),PTKM(2),-----  
 372 \* (VOID) (MLTPLR)  
 373 092001 -2 0,0 ,0, 1,0 0,0 \* NOT USED  
 374 \*  
 375 \*\*\* PUMP STOP DATA \*\*\*  
 376 \*  
 377 \* CAVCON FPUMP SPUMP  
 378 \* (SEC) (RPM) (RPM)  
 379 \*  
 380 \*\*\* PUMP MOTOR TORQUE \*\*\*  
 381 \*  
 382 \* NTMO PTMO(1), PTMO(2),-----  
 383 \* (RPM) (TORQUE)  
 384 \* \*\*\* NOT USED \*\*\*  
 385 \*  
 386 \*\*\* PUMP CURVE INPUT INDICATOR \*\*\*  
 387 \*  
 388 \* NC(1) NC(2) NC(3) NC(4)  
 389 \* 100000 0 0 16 0  
 390 \*  
 391 \*  
 392 \*\*\* PUMP HEAD OR TORQUE DATA CARDS \*\*\*

```

393 * IT IC N PHEAD(1) OR PTORK(1), PHEAD(2) OR PTORK(2) -----
395 103011 1 1 5 0.0 0.92 0.2 0.94 0.4 0.97 * RSA03700
396 103012 0 0.6 1.0 1.0 1.0 * RSA03710
397 103021 1 2 5 0.0 -0.2 0.25 0.0 0.4 0.12 * RSA03720
398 103022 0 0.5 1.0 1.0 1.0 * RSA03730
399 103031 1 3 5 -1.0 1.2 -0.8 1.0 -0.6 0.94 * RSA03740
400 103032 0 0.3 0.2 0.0 0.0 0.92 * RSA03750
401 103041 1 4 5 -1.0 1.2 -0.8 0.7 -0.5 0.33 * RSA03760
402 103042 0 0.2 0.16 0.0 0.0 0.26 * RSA03770
403 103051 1 5 5 0.0 0.94 0.2 1.06 0.5 1.23 * RSA03780
404 103052 0 0.7 1.3 1.0 1.45 * RSA03800
405 103061 1 6 5 0.0 -0.2 0.16 0.0 0.26 * RSA03810
406 103062 0 0.7 1.3 1.0 1.45 * RSA03820
407 103071 1 7 5 -1.0 0.2 -0.8 0.4 -0.5 0.65 * RSA03830
408 103072 0 0.2 0.84 0.0 0.0 0.94 * RSA03840
409 103081 1 8 5 -1.0 0.2 -0.8 -1.1 -0.5 -0.76 * RSA03850
410 103082 0 0.2 -0.3 0.0 -0.2 * RSA03860
411 103091 2 1 5 0.0 -0.46 0.2 -0.54 0.5 0.67 * RSA03870
412 103092 0 0.8 -0.46 0.1 0.2 -0.08 0.5 0.34 * RSA03880
413 103101 2 2 5 0.0 -0.1 0.2 0.0 0.2 0.34 * RSA03890
414 103102 0 0.8 0.65 1.0 1.0 * RSA03910
415 103111 2 3 5 -1.0 0.7 -0.8 0.68 -0.5 0.48 * RSA03920
416 103112 0 0.3 0.44 0.0 0.46 * RSA03930
417 103121 2 4 5 -1.0 0.7 -0.7 0.45 -0.4 0.38 * RSA03940
418 103122 0 0.2 -0.3 0.0 0.28 * RSA03950
419 103131 2 5 5 0.0 -0.66 0.2 -0.53 0.6 -0.3 * RSA03960
420 103132 0 0.8 -0.2 0.1 0.0 -0.1 * RSA03970
421 103141 2 6 5 0 0.28 0.2 0.22 0.5 0.1 * RSA03980
422 103142 0 0.8 0.0 1.0 -1.1 * RSA03990
423 103151 2 7 5 -1.0 -1.4 -0.8 -1.25 -0.5 -1.0 * RSA04000
424 103152 0 0.2 -0.8 0.0 -0.66 * RSA04010
425 103161 2 8 5 -1.0 -1.4 -0.6 -0.8 -0.5 -0.66 * RSA04020
426 103162 0 0.2 -0.3 0.0 -0.1 * RSA04030
427 * RSA04040
428 *** VALVE DATA CARDS ***
429 *
430 * ITCV IACV LATCH PCV CV1 CV2 CV3 * RSA04070
431 110010 13 0.0 0.0 0.0 0.0 0.0 * GSV TRIP * RSA04080
432 110020 12 0.0 0.0 0.0 0.0 0.0 * HSL BEFORE BREAK * RSA04090
433 110030 -14 0.0 0.0 0.0 0.0 0.0 * J 34 * RSA04100
434 110040 -14 0.0 0.0 0.0 0.0 0.0 * J 35 * RSA04110
435 *
436 *
437 *** LEAK TABLE CARDS ***
438 * NAREA SINK TAREA(1),TAREA(2),--- RSA04140
439 * IITLEAK (PSIA) RSA04150
440 120100 -3 2 14.7 0. 0. -1. 1. 2000. 1. * BREAK * RSA04160
441 120200 -2 12 14.7 0. 0. 2000. 0. * RSA04170
442 120300 -2 8 14.7 0. 0. 2000. 0. * RSA04180
443 *
444 *** FILL TABLE DATA ***
445 *
446 * NFILL ITFILL IX IY PORNX TEMP RSA04220
447 *
448 130100 -13 6 0 1 57.35 50. *HPCS RSA04230
449 130200 -7 7 0 1 57.35 50. *LPCI RSA04240
450 130300 -8 7 0 1 57.35 50. *FW,COLD RSA04250
451 130400 -11 3 0 1 108.0 401. *FW,HOT RSA04260
452 130500 -10 4 0 0 1049.52 550.6 *HSL RSA04270
453 *
454 * FILTBL(1),FILTBL(2),--- RSA04310
455 *
456 130101 0.0 0.0 27.6 0.0 28. 668. 29. 1259. 30. 1313. * RSA04340
457 130102 40. 1346. 66.1 1381. 65.4 1790. 68. 2395. *HPCS+LPCS RSA04345
458 130103 80. 2480. 103. 2673. 180. 2741. 999. 2831. * RSA04350
459 130201 0. 79.3 0. 80. 1396. 81. 1995. 82. 2074. *LPCI RSA04360
460 130202 105. 2553. 120. 2719. 160. 2936. 560. 2808. * RSA04361
461 130301 0. 1463. 14 1444. 1. 1001. 1. 7 346. 4. 218. *FW,COLD RSA04370
462 130302 10. 53. 14. 0. 999. 0. * RSA04380
463 130401 0. 0. 6 0. 1. 2544. 1.2 3403. 1.4 3674. *FW,HOT RSA04390
464 130402 2.6 3196. 3. 2640. 3.4 954. 3.8 302. 4.7 0. * RSA04395
465 130403 999. 0. * RSA04400
466 130501 0. -784. 1.2 -809. 1.5 -918. 1.9 -1631. 5. -1631. * RSA04403
467 130502 5.3 -809. 6. -211. 6.4 -16. * RSA04404
468 130503 6.7 0. 999. 0. *MSL(LB/FT2/5) RSA04406
469 *
470 *** KINETIC CONSTANTS ***
471 *
472 * NODEL KMUL BOVL RHOIN UDUF PROMPT LAMBDA TAU * RSA04420
473 *
474 140000 0 0. 0. * RSA04430
475 *
476 *
477 *
478 *** SCRAM TABLE ***
479 *
480 * NSCR ITSCR RSA04450
481 * TSCR(1),TSCR(2),--- RSA04530
482 141000 -14 2 0 1. 13. 1. 14. -926 16. .838 18. .693 *RUN70 RSA04540
483 141001 20. .594 22. .503 24. .423 28. .297 32. .204 * RSA04550
484 141002 36. .135 36.7 .125 80. .109 200. .09 * RSA04560
485 *
486 *** DENSITY REACTIVITY, DOPPLER TABLE, REACTIVITY COEFF, RSA04610
487 *** 1420XX:1430XX:140XX ARE NOT USED. RSA04620
488 *
489 *** HEAT SLAB DATA ***
490 *
491 * IVSL IGM IXLO IMCR AHTL AHTR VOLS HDM1 HDMR RSA04660
492 * IVSL ISB IMCL (FT1) (FT2) (FT3) (FT) RSA04670
493 150011 0 1 14 0 0.0 44.5 0.365 0.0 0.02740 * RSA04680
494 150021 0 2 14 0 0.0 64.97 0.5330 0.0 0.02740 * RSA04690
495 150031 0 3 13 0 0.0 24.45 0.2614 0.0 0.0 * RSA04700
496 150041 0 4 1 0 0.0 200.4 2.058 0.0 0.0 * RSA04710
497 150051 0 10 8 0 0.0 22.01 0.2194 0.0 0.0 * RSA04720
498 150061 4 10 8 0 -1E-13 -1E-13 -1E-15 0.0 0.0 * RSA04730
499 150071 10 28 11 0 3.362 3.362 0.4372 0.0 0.0 * RSA04740
500 150081 5 28 11 0 14.71 14.51 0.262 0.0 0.0 * RSA04750
501 150091 6 27 15 0 2.527 2.340 0.1163 0.0 0.0 * RSA04760
502 150101 6 29 2 0 4.780 5.058 0.09683 0.0 0.0 * RSA04770
503 150111 0 8 9 0 0.0 12.139 5.378 0.0 0.0 * RSA04780
504 150121 0 7 9 0 0.0 29.271 5.698 0.0 0.0 * RSA04790
505 150131 0 1 6 0 0.0 4.11 14.21 0.0 0.0 * RSA04800
506 150141 0 14 10 0 0.0 11.08 0.2450 0.0 0.0 * RSA04810
507 150151 0 9 1 19 0 9.887 8.677 0.4190 0.0 0.0 * RSA04820
508 150161 11 3 7 0 15.07 14.314 0.413 0.0 0.0 * RSA04830
509 150171 9 2 2 0 11.24 10.82 0.2171 0.0 0.0 * RSA04840
510 150181 10 11 13 0 27.8 31.23 4.47 0.0 0.0 * RSA04850
511 150191 3 10 8 0 3.119 3.258 0.03139 0.0 0.0 * RSA04860
512 150201 0 11 11 0 0.0 52.16 7.4 0.0 0.0 * RSA04870
513 150211 0 12 4 0 0.0 5.08 0.115 0.0 0.2 * RSA04880
514 150221 0 13 3 0 0.0 3.21 0.083 0.0 0.162 * RSA04890
515 150231 0 14 5 0 0.0 11.4 0.292 0.0 0.243 * RSA04900
516 150241 0 15 2 0 0.0 10.741 0.217 0.0 0.162 * RSA04910
517 150251 0 16 2 0 0.0 16.257 0.329 0.0 0.162 * RSA04920
518 150261 0 17 20 0 0.0 1.052 0.400 0.0 0.239 * RSA04930
519 150271 0 18 3 0 0.0 9.496 0.192 0.0 0.162 * RSA04940
520 150281 0 19 3 0 0.0 12.61 0.253 0.0 0.16 * RSA04950
521 150291 0 20 4 0 0.0 5.017 1.13 0.0 0.2 * RSA04960
522 150301 0 21 3 0 0.0 3.39 0.087 0.0 0.162 * RSA04970
523 150311 0 22 5 0 0.0 11.0 0.283 0.0 0.243 * RSA04980
524 150321 0 23 2 0 0.0 11.167 0.240 0.0 0.0 * RSA04990

```

525 150331 0 24 20 0 0.0 1,052 0.400 0.0 0.239 \*RSA05000  
 526 150341 0 25 3 0 0.0 16,221 0.328 0.0 0.162 \*RSA05010  
 527 150351 0 26 3 0 0.0 8,442 0.169 0.0 0.162 \*RSA05020  
 528 150361 0 27 17 0 0.0 3,150 2,337 0.0 0.0 \*RSA05030  
 529 150371 0 28 12 0 0.0 18,31 2,906 0.0 0.0 \*RSA05040  
 530 150381 7 29 8 0 14,75 14,46 0.338 0.0 0.0 \*RSA05050  
 531 150391 0 30 3 0 0.0 3,21 0.083 0.0 0.162 \*RSA05060  
 532 150401 0 31 3 0 0.0 3,39 0.087 0.0 0.162 \*RSA05070  
 533 #150411 6 7 16 0 3,538 2,724 0.06724 0.0 0.0 RSA05080  
 534 150411 0 8 1 0 0, 43.8 ,43, 0, 0, \* RSA05081  
 CARDS ABOVE IS REPLACEMENT CARD.  
 535 150411 0 32 1 0 0, 25.07 ,2574 0, 0, \* RSA05082  
 536 150421 0 32 1 0 0, 2,539 ,02676 0, 0, \* RSA05083  
 537 150431 0 33 1 0 0, 22.53 ,2314 0, 0, \* RSA05084  
 538 150441 0 33 1 0 0, 25.07 ,2574 0, 0, \* RSA05085  
 539 150451 0 33 1 0 0, 3,16 ,03245 0, 0, \* RSA05086  
 540 150461 0 34 1 0 0, 3,16 ,03245 0, 0, \* RSA05087  
 541 150471 0 34 1 0 0, 25.07 ,2574 0, 0, \* RSA05088  
 542 150481 0 34 1 0 0, 22.53 ,2314 0, 0, \* RSA05089  
 543 150491 0 35 1 0 0, 2,539 ,02676 0, 0, \* RSA05090  
 544 150501 0 35 1 0 0, 25.07 ,2574 0, 0, \* RSA05091  
 545 \* RSA05100  
 546 \* DHEL DHER CHNL CHNR ZBOT ZTOP PFR HTC \*RSA05110  
 547 \* (FT) (FT) (FT) (FT) (FT) \*\*NOT USED\*\* \*RSA05120  
 548 \* \* \* \* \* RSA05130  
 549 \*\*\* CORE SLAB DATA \*\*\*  
 550 \* \* ISLB NODT1 NODT2 NODT3 CLT1 @FRAC NEDIAM @FRAC \*RSA05140  
 551 \* \* (FT) (FT) \*RSA05150  
 552 \* \* (FT) \*RSA05165  
 553 160010 4 1 4 8 1,347 0, ,0532 ,30936 \* RSA05166  
 554 160020 41 1 4 8 1,77092 0, ,0532 ,05832 \* RSA05167  
 555 160030 42 1 4 8 0,7800 0, ,0532 ,01138 \* RSA05168  
 556 160040 43 1 4 8 1,6929 0, ,0532 ,1009 \* RSA05169  
 557 160050 44 1 4 8 1,77092 0, ,0532 ,1524 \* RSA05170  
 558 160060 45 1 4 8 0,9713 0, ,0532 ,02232 \* RSA05171  
 559 160070 46 1 4 8 1,77092 0, ,0532 ,1524 \* RSA05172  
 560 160080 47 1 4 8 1,77092 0, ,0532 ,1524 \* RSA05173  
 561 160090 48 1 4 8 1,6929 0, ,0532 ,1009 \* RSA05174  
 562 160100 49 1 4 8 1,07808 0, ,0532 ,01138 \* RSA05175  
 563 160110 50 1 4 8 1,77092 0, ,0532 ,05832 \* RSA05176  
 564 \* RSA05180  
 565 \*\*\* CORE SLAB FOR EM 16XXXXX NOT USED \*\*\* \*RSA05190  
 566 \* RSA05200  
 567 \* RSA05210  
 568 \*\*\* SLAB GEOMETRY DATA \*\*\* \*RSA05220  
 569 \* RSA05230  
 570 \* 01 IG NR JM NDX XO XR PF \*RSA05240  
 571 \* 02 IGP IM NDX (FT) (FT) \*RSA05250  
 572 \* (FT) (FT) \*RSA05260  
 573 170101 2 4 1 3 0,0 0,01001 0,0 \*CORE RSA05270  
 574 170102 0 2 1 3 0,00297 1,0 \*RSA05280  
 575 170103 0 3 1 3 0,003970 0,0 \*RSA05290  
 576 170104 0 4 3 0,004265 0,0 \*RSA05300  
 577 170201 1 1 5 1 0,0 0,0197 0,0 \*RSA05310  
 578 170301 1 1 5 1 0,0 0,018 0,0 \*RSA05320  
 579 170401 1 1 5 1 0,0 0,02 0,0 \*RSA05330  
 580 170501 1 1 5 1 0,0 0,23 0,0 \*RSA05340  
 581 170601 1 1 5 1 0,0 0,509 0,0 \*RSA05350  
 582 170701 1 1 5 1 0,0 0,0263 0,0 \*RSA05360  
 583 170801 1 1 5 1 0,0 0,009843 0,0 \*RSA05370  
 584 170901 1 1 5 1 0,0 0,18 0,0 \*RSA05380  
 585 171001 1 1 5 1 0,0 0,1 0,0 \*SHROUD RSA05390  
 586 171101 1 1 5 1 0,0 0,13 0,0 \*SHROUD RSA05400  
 587 171201 1 1 5 1 0,0 0,148 0,0 \*RSA05410  
 588 171301 2 3 1 7 0,0 0,001148 0,0 \*RSA05420  
 589 171401 0 3 1 5 1 0,0 0,004790 0,0 \*RSA05430  
 590 171501 0 4 1 5 1 0,0 0,004265 0,0 \*RSA05440  
 591 171601 2 3 1 7 1 0,0 0,008203 0,0 \*LEAD RSA05450  
 592 171701 0 6 1 5 1 0,0 0,004922 0,0 \*RSA05460  
 593 171801 0 4 1 5 1 0,0 0,00328 0,0 \*RSA05470  
 594 171901 1 1 5 1 0,0 0,04779 0,0 \*RSA05480  
 595 172001 1 1 5 1 0,0 0,01312 0,0 \*RSA05490  
 596 172101 1 1 5 4 0,0 0,5742 0,0 \*RSA05500  
 597 172201 1 1 5 1 0,0 0,03937 0,0 \*RSA05510  
 598 172301 1 1 5 1 0,0 0,0472 0,0 \*RSA05520  
 599 172401 1 1 5 1 0,0 0,3790 0,0 \*RSA05530  
 600 \* RSA05540  
 601 \*\*\* THERMAL CONDUCTIVITY DATA \*RSA05550  
 602 \* RSA05560  
 603 \* RSA05570  
 604 \* RSA05580  
 605 \* NPK TPK(1),TPK(2) ---- \*RSA05590  
 606 \* (DEGF) (BTU/FFTHRF) \*RSA05600  
 607 \* RSA05610  
 608 180101 -5 572, 16,7 932, 16,2 1292, 15,7 1652, 15,2 \* BN \*RSA05620  
 609 180102 1832, 15,5 0,0, 10,1 212, 8, 4712, 6,72 \*RSA05630  
 610 180201 -9 68, .10,1 212, 8, 4712, 6,72 \*RSA05640  
 611 180301 1 32, 3,36 0,0, 8,98 200, 9,08 400, 10,1 600, 11,1 \*INCONEL 600 \*RSA05650  
 612 180401 -9 70, 8,98 200, 9,08 400, 10,1 600, 11,1 \*INCONEL 600 \*RSA05660  
 613 180501 800, 12,0 1000, 13,2 1200, 14,3 1400, 15,5 \*RSA05670  
 614 180603 1600, 16,7 0,0, 8,98 200, 9,08 400, 10,1 600, 11,1 \*SUS \*RSA05680  
 615 180501 -2 32, 9,41 932, 12,1 0,0, 8,98 200, 9,08 400, 10,1 600, 11,1 \*SUS \*RSA05690  
 616 180601 -11 392, 15,4 372, 11,9 752, 9,92 932, 8,13 \*MGO \*RSA05700  
 617 180602 1112, 6,77 1292, 5,81 1472, 5,08 1832, 3,99 \*RSA05710  
 618 180603 2192, 3,63 2252, 3,87 2912, 4,23 \*RSA05720  
 619 180701 1 32, 8,42 \*RSA05730  
 620 \* RSA05740  
 621 \* RSA05750  
 622 \*\*\* VOLUMETRIC HEAT CAPACITY \*\*\* \*RSA05760  
 623 \* RSA05770  
 624 \* NCP TPC(1),TPC(2) ---- \*RSA05780  
 625 \* (DEGF) (BTU/FFT3) \*RSA05790  
 626 \* RSA05800  
 627 190101 -4 680, 5,28 950, 5,98 1562, 7,55 2300, 9,47 \* BN \*RSA05810  
 628 190201 -3 68, 57,4 212, 55,6 4712, 57,4 \*RSA05820  
 629 190301 -4 680, 5,28 950, 5,99 1562, 7,56 2300, 9,47 \* BN \*RSA05830  
 630 190401 -9 70, 55,7 200, 58,3 400, 60,9 600, 63,6 \*INC600 \*RSA05840  
 631 190402 800, 66,2 1000, 69,3 1200, 73,5 1400, 76,2 \*RSA05850  
 632 190403 1600, 78,3 0,0, 8,98 200, 9,08 400, 10,1 600, 11,1 \*SUS \*RSA05860  
 633 190501 1 32, 59,3 0,0, 8,98 200, 9,08 400, 10,1 600, 11,1 \*MGO \*RSA05880  
 634 190601 1 32, 50,3 0,0, 8,98 200, 9,08 400, 10,1 600, 11,1 \*MGO \*RSA05890  
 635 190701 1 32, 54,3 0,0, 8,98 200, 9,08 400, 10,1 600, 11,1 \*MGO \*RSA05900  
 636 \* RSA05910  
 637 \* RSA05920  
 638 \*\*\* LINEAR EXPANSION COEFF., HEAT EXCHANGER DATA \*RSA05930  
 639 \*\*\* 20XXXX, 21XXXX ARE NOT USED, \*RSA05940  
 640 \*\*\* OTHER INPUT OPTIONS ARE NOT USED, \*\*\* \*RSA05950  
 641 \*\*\* \*\*\*\* END OF INPUT DATA CARDS \*\*\*\* \*RSA05960  
 642 \*\*\* \*\*\*\* END OF INPUT DATA CARDS \*\*\*\* \*RSA05970  
 643 \*\*\* \*\*\*\* END OF INPUT DATA CARDS \*\*\*\* \*RSA05980  
 644 \*\*\* \*\*\*\* END OF INPUT DATA CARDS \*\*\*\* \*RSA05990  
 645 \* LAST DATA CARD

## 付録D ケース3の入力リスト

LISTING OF INPUT DATA FOR CASE 3

```

1   *          *RSA00010
2   * ROSA-3 ANALYSIS BY RELAP4J *RSA00020
3   * TITLE *RSA00030
4   *      *RSA00040
5   *ROSA3K *RSA00050
6   *      *RSA00060
7   *      *RSA00070
8   *      *RSA00080
9   * LDMP NTC NVOL NTOV NPMPC NLK NSLB NMAT NHTX *RSA00090
10  *      NEDT NTRP NBUB NJUN NCKV NELL NGDM NCOR ISPROG *RSA00100
11  010001 -2 9 6 16 35 3 0 54 2 4 3 5 50 20 7 11 0 *RSA00110
12  *      *RSA00120
13  *      *RSA00130
14  *      *RSA00140
15  *      *RSA00150
16  *      *RSA00160
17  *      *RSA00170
18  *      *RSA00180
19  *      *RSA00190
20  *      RSA00200
21  10005 0 0 0 *RSA00210
22  *      RSA00220
23  10007 10 0.4 0.05 2.0 *RSA00230
24  *      *RSA00240
25  *      *RSA00250
26  020000 AP 8 JW 48 JW 3 AX 4 SF 4 HC 4 ST 4 ST 34 ST 35 *RSA00260
27  *      *RSA00270
28  *      *RSA00280
29  *      *RSA00290
30  *      NMN NMAJ NDMP NCHK DELTM DTMIN TLAST ENDCPU *RSA00300
31  030010 10 5 2 -2 1.0-2 1.0-6 1, *RSA00310
32  030020 25 4 2 -2 1.0-2 1.0-6 10, *RSA00320
33  030030 25 8 2 -2 1.0-2 1.0-6 20.0 *RSA00330
34  030040 25 20 2 -2 1.0-2 1.0-6 90, *RSA00340
35  030050 50 20 2 -2 0.5-2 1.0-6 100, *RSA00350
36  030060 125 16 2 -2 0.2-2 1.0-6 200, *RSA00355
37  *      *RSA00360
38  *      *RSA00370
39  ***DETAILED EDIT 030002*** = NOT USED = *RSA00380
40  *      *RSA00390
41  ***WATER PACKING ETC, 030003 *** = NOT USED = *RSA00400
42  *      *RSA00410
43  ***MIXTURE LEVEL SMOOTHING 030004 *** = NOT USED = *RSA00420
44  *      *RSA00430
45  ***TRIP CONTROLS*** *RSA00440
46  *      *RSA00450
47  *      IDTRP IDSIG IX1 IX2 SETPT DELAY *RSA00460
48  040010 1 0 0 0 0, *END BY TIME *RSA00470
49  040020 2 1 0 0 .001 0, *START OF BREAK *RSA00480
50  040030 3 1 0 0 .001 0, *FEED WATER PUMP ON *RSA00490
51  040040 4 1 0 0 .001 0, *MAIN STM VALV OPN *RSA00500
52  040050 5 1 0 0 .001 0, *HPCS TIMER SET *RSA00510
53  040060 6 1 0 0 .001 0, *LPCS TRIP *RSA00520
54  040070 7 1 0 0 .001 0, *LPC1 TRIP *RSA00530
55  040080 8 1 0 0 .001 999, *ADS VALVE OPN *RSA00540
56  040090 1 -4 8 0 14.7 0, *END BY LOW PRESS *RSA00550
57  040100 1 10 1 0 2200, 0, *END BY HI CLD TEMP *RSA00560
58  040110 9 1 0 0 .001 0, *MPR1 PUMP TRIP *RSA00570
59  040120 10 1 0 0 .001 0, *MPR2 PUMP TRIP *RSA00580
60  040130 11 1 0 0 0, 0, *PWT TRIP *RSA00590
61  040140 12 1 0 0 0, 0, *STM DISCH LIN TRIP *RSA00600
62  040150 13 1 0 0 .001 .5 0SV TRIP *RSA00610
63  040160 14 1 0 0 0.0, 999.0 *NO FLW THRU J34,J35 *RSA00620
64  *      *RSA00630
65  ***VOLUME DATA*** *RSA00640
66  *      BASED ON PREDICTION *RSA00645
67  *      *RSA00650
68  *      IBUS IREAD P TEMP HORX V ZVOL ZM *RSA00660
69  *      (PSIA) (DEGF) (GLTY) (FT**3) (FT) (FT) *RSA00670
70  050011 2 0 1033.8638 523, -1, 4.729 1.690 1.690 *RSA00680
71  050021 0 0 1033.1014 523, -1, 2.033 2.677 2.677 *RSA00690
72  050031 2 0 1026.4345 523, -1, 1.3124 1.8042 1.8042 *RSA00700
73  050041 2 0 1026.4041 523, -1, .00436 2.175 6.647 6.647 *RSA00710
74  050051 2 0 1026.7762 523, -1, .03739 4.383 2.31 2.31 *RSA00720
75  050061 2 0 1022.4560 523, -1, .03769 1.121 3.682 3.682 *RSA00730
76  050071 2 0 1021.1430 523, -1, 13.16 4.050 .71 .71 *RSA00740
77  050081 2 0 1021.0400 523, -1, .99999 4.287 1.140 1.14 *RSA00750
78  050091 2 0 1026.9901 523, -1, 2.523 3.579 3.579 3.579 *RSA00760
79  050101 2 0 1025.1833 523, -1, 1.851 7.336 7.336 7.336 *RSA00770
80  050111 2 0 1023.4037 523, -1, 2.393 9.389 9.389 9.389 *RSA00780
81  050121 0 0 1019.8000 523, -1, 2.312 .374 .374 *RSA00790
82  050131 0 0 1038.8876 523, -1, 1.498 6.893 6.893 6.893 *RSA00800
83  050141 0 0 1034.1940 523, -1, 1.593 .9090 .9090 .9090 *RSA00810
84  050151 0 0 1022.8279 523, -1, 1.649 4.884 4.884 4.884 *RSA00820
85  050161 0 0 1016.8353 523, -1, .8074 9.987 9.987 9.987 *RSA00830
86  050171 0 0 1148.7329 523, -1, .187 .955 .955 .955 *RSA00840
87  050181 0 0 1278.0002 524, -1, .5854 11.464 11.464 11.464 *RSA00850
88  050191 0 0 1271.1898 524, -1, .3118 7.733 7.733 7.733 *RSA00860
89  050201 0 0 1019.8000 523, -1, 2.312 .374 .374 *RSA00870
90  050211 0 0 1038.3700 523, -1, 1.487 6.842 6.842 6.842 *RSA00880
91  050221 0 0 1034.3000 523, -1, 1.5429 9.600 9.600 9.600 *RSA00890
92  050231 0 0 1021.8590 523, -1, 1.4902 10.49 10.49 10.49 *RSA00900
93  050241 0 0 1156.2914 523, -1, 1.87 .955 .955 .955 *RSA00910
94  050251 0 0 1282.9292 524, -1, 1.764 15.29 15.29 15.29 *RSA00920
95  050261 0 0 1177.5811 524, -1, 1.3551 4.067 4.067 4.067 *RSA00930
96  050271 0 0 1021.5311 523, -1, 1.333 1.0400 1.0400 1.0400 *RSA00940
97  050281 0 0 1021.1870 523, -1, 2.5 2.936 2.936 2.936 *RSA00950
98  050291 0 0 1000, 0, 0, 1.034 2.343 2.343 2.343 *RSA00960
99  050301 0 0 1038.8876 523, -1, 1.498 6.893 6.893 6.893 *RSA00970
100 050311 0 0 1038.3700 523, -1, 1.487 6.842 6.842 6.842 *RSA00980
101 050401 2 0 1026.26 -1, .00305 .5824 1.347 1.347 *RSA00981
102 CARD ABOVE IS REPLACEMENT CARD, *RSA00982
103 050321 2 0 1027.305 523.9 -1, .4708 1.0885 1.0885 *RSA00983
104 050331 2 0 1026.805 529.7 -1, .6748 1.561 1.561 *RSA00984
105 050341 2 0 1025.715 -1, .0249 .6748 1.561 1.561 *RSA00985
106 050351 2 0 1025.256 -1, .0365 .4708 1.0885 1.0885 *RSA00990
107 *      JTPMV FLOWA DIAMV ELEV IAMBL *RSA01000
108 *      (FT**2) (FT) (SLIP,VTRCL STK IND) *RSA01010
109  050012 0 1.61 100, -.0594 *RSA01020
110  050022 0 .7594 1.059 1.63 *RSA01030
111  050032 0 .4865 .04341 4.160 *RSA01040
112  050042 0 .04325 .04341 4.964 *RSA01050
113  050052 0 1.898 1.64 11.61 *RSA01060
114  050062 0 .3045 .5548 13.92 *RSA01070
115  050072 0 3.250 .0 14.68 *RSA01080
116  050082 0 3.809 2.202 18.53 *RSA01090
117  050092 0 .7048 .276 .8593 *RSA01100
118  050102 0 .2523 .1307 4.4383 *RSA01110
119  050112 0 .2549 .09291 1.621 *RSA01120
120  050122 0 .13095 .1865 8.99 *RSA01130
121  050132 0 .02611 .1049 2.1 *RSA01140
122  050142 0 .02613 .14225 1.191 *RSA01150
123  050152 0 .02664 .14 .725 *RSA01160
124  050162 0 .02383 .1646 -.7.333 *RSA01170
125  050172 0 .1958 .4944 -8.288 *RSA01180
126  050182 0 .02161 .1658 -8.288 *RSA01190
127  050192 0 .02109 .1555 3.174 *RSA01200
128  050202 0 .03095 .1865 8.99 *RSA01210
129  050212 0 .02051 .1048 2.151 *RSA01220

```

130 050222 0 .04613 ,2425 1.191 \*RSA01230  
 131 050232 0 .02346 ,1657 -7.333 \*RSA01240  
 132 050242 0 .1958 ,4944 -8.288 \*RSA01250  
 133 050252 0 .02238 ,1657 -8.288 \*RSA01260  
 134 050262 0 .02104 ,1566 6.842 \*RSA01270  
 135 050272 0 .2486 ,13645 13.94 \*RSA01280  
 136 050282 0 .8512 ,3018 11.01 \*RSA01290  
 137 050292 0 .4414 ,1229 14.48 \*RSA01300  
 138 050302 0 .02051 ,1049 2.1 \*RSA01310  
 139 050312 0 .02051 ,1048 2.151 \*RSA01320  
 140 050042 0 .4325 ,04341 7.6135 \*RSA01321  
 CARD ABOVE IS REPLACEMENT CARD.  
 141 050322 0 ,4325 ,04341 4.964 \*RSA01322  
 142 050332 0 ,4325 ,04341 6.0325 \*RSA01323  
 143 050342 0 ,4325 ,04341 8.9605 \*RSA01324  
 144 050352 0 ,4325 ,04341 10.9215 \*RSA01325  
 145 \* RSA01330  
 146 \*\*\*LIQUID LEVEL 060000 \*\*\* = NOT USED = \*RSA01340  
 147 \* RSA01350  
 148 \*\*\*SLIP VELOCITY 060001 \*\*\* = NOT USED = \*RSA01360  
 149 \* RSA01370  
 150 \*\*\*WALLIS 060002 \*\*\* = NOT USED = \*RSA01380  
 151 \* RSA01390  
 152 \*\*\*WALLIS CROWLEY 060003 \*\*\* = NOT USED = \*RSA01400  
 153 \* RSA01410  
 154 \*\*\*DOWNCOMER PENETRATION 060004 \*\*\* = NOT USED = \*RSA01420  
 155 \* RSA01430  
 156 \*\*\*DOWNCOMER PENETRATION COEFF, 060005 \*\*\* = NOT USED = \*RSA01440  
 157 \* RSA01450  
 158 \*\*\* BUBBLE DATA CARDS \*\*\* \*RSA01460  
 159 \* RSA01470  
 160 \* RSA01480  
 161 \* ALPH VBUU \*RSA01490  
 162 \* (FT/SEC) \*RSA01500  
 163 060011 0.0 3, \*RSA01510  
 164 060021 0.8 -3, \* WILSON \*RSA01520  
 165 060031 1.0 10,+6 \*RSA01530  
 166 \* RSA01540  
 167 \*\*\*TIME DEPENDENT VOLUME 07XXXX \*\*\* = NOT USED = \*RSA01550  
 168 \* RSA01560  
 169 \*\*\*FLOW SMOOTHING 080001 THRU 080009 \*\*\* = NOT USED = \*RSA01570  
 170 \*\*\* JUNCTION DATA \*\*\* \*RSA01580  
 171 \* RSA01590  
 172 \* I1M1 I1M2 IPUMP I1VALVE WP AJUN ZJUN INERTIA(L/A) \*RSA01600  
 173 \* FROM TO {LB/SEC) (FT+2) (1/FT) (1/FT)  
 174 080011 1 2 0 0 79.495 0.599 1.630 3.81 \*RSA01610  
 175 080021 2 3 0 0 79.495 0.0442 4.307 3.08 \*RSA01620  
 176 080031 3 32 0 0 76.485 0.135 4.964 7.343 \*RSA01640  
 177 080041 35 5 0 0 76.485 0.1363 11.61 6.478 \*RSA01650  
 178 080051 5 6 0 0 80.8 0.233 13.92 8.07 \*RSA01660  
 179 080061 6 7 0 0 80.8 0.1610 17.60 9.14 \*RSA01670  
 180 080071 7 8 0 0 3.1 0.206 18.53 0.567 \*RSA01680  
 181 080081 1 9 0 0 1.305 8.12-4 0.8593 3.510+2 \*RSA01690  
 182 080091 9 10 0 0 1.305 0.0208 4.4383 19.0 \*RSA01700  
 183 080101 10 5 0 0 4.315 0.1456 11.77 21.8 \*RSA01710  
 184 080111 11 12 0 0 27.7 0.0326 9.233 1.212+2 \*RSA01720  
 185 080121 12 13 0 0 13.85 9.011-3 8.993 2.708+2 \*RSA01730  
 186 080131 13 14 0 0 20.2 0.03280 2.100 4.313+2 \*RSA01740  
 187 080141 14 1 0 0 40.4 0.04616 1.312 1.415+2 \*RSA01750  
 188 080151 11 15 0 0 12.7 0.0207 3.078 5.041+2 \*RSA01760  
 189 080161 15 16 0 0 12.7 0.0207 -1.643 1.352+3 +GSV \*RSA01770  
 190 080171 16 17 -2 0 12.7 0.04616 -7.333 7.506+2 \*RSA01780  
 191 080181 17 18 0 0 12.7 0.03280 -8.186 5.654+2 \*RSA01790  
 192 080191 18 19 0 0 12.7 0.0207 3.176 9.816+2 \*RSA01800  
 193 080201 19 13 0 0 6.35 5.960-4 8.993 1.097+3 \*RSA01810  
 194 080211 21 20 0 0 20.2 0.03280 1.633 1.212+2 \*RSA01820  
 195 080221 20 21 0 0 15.5 9.011-3 8.993 2.708+2 \*RSA01830  
 196 080231 21 22 0 0 20.2 0.03280 2.151 4.054+2 \*RSA01840  
 197 080241 22 1 0 0 40.4 0.04616 2.212 1.415+2 \*RSA01850  
 198 080251 11 23 0 0 12.9 0.0207 3.078 5.047+2 \*RSA01860  
 199 080261 23 24 -1 0 12.9 0.04616 -7.333 4.463+2 \*RSA01870  
 200 080271 24 25 0 0 12.9 0.03280 -8.186 5.655+2 \*RSA01880  
 201 080281 25 26 0 0 12.9 0.0207 6.923 1.178+3 \*RSA01890  
 202 080291 26 21 0 0 6.45 5.960-4 8.993 1.192+3 \*RSA01900  
 203 080301 7 27 0 0 77.7 2.16 14.48 0.849 \*RSA01910  
 204 080311 27 28 0 0 80.8 0.757 13.94 1.907 \*RSA01920  
 205 080321 28 11 0 0 80.8 0.231 11.01 20.61 \*RSA01930  
 206 080331 3 10 0 0 3.01 3.97-3 4.59 55.5 \*RSA01940  
 207 080341 6 29 0 0 3 0.0 0.204 16.73 3.95 \*RSA01950  
 208 080351 29 27 0 0 4 0.0 0.0974 14.48 2.86 \*RSA01960  
 209 080361 12 30 0 0 13.85 9.011-3 8.993 2.708+2 \*RSA01970  
 210 080371 19 30 0 0 6.35 5.960-4 8.993 1.097+3 \*RSA01980  
 211 080381 30 14 0 0 20.2 0.03280 2.100 4.313+2 \*RSA01990  
 212 080392 20 31 0 0 13.75 9.011-3 8.993 2.708+2 \*RSA02000  
 213 080401 26 31 0 0 6.45 5.960-4 8.993 1.192+3 \*RSA02010  
 214 080411 31 22 0 0 20.2 0.03280 2.151 4.054+2 \*RSA02020  
 215 080461 0 5 2 0 0.0 0.0207 11.66 0.0 \*LPC1 RSA02030  
 216 080471 0 5 1 0 0.0 0.01246 15.39 0.0 \*HPCS RSA02040  
 217 080481 5 0 3 0 0.0 0.1-13 13.39 0.0 \*SMA02050  
 218 080491 0 27 4 0 0.0 0.01246 14.217 0.0 \*FW,HOT RSA02060  
 219 080501 8 0 3 2 0 0.0 0.1-15 19.67 0.0 \*MSL RSA02070  
 220 080511 0 8 5 0 -3.1 3.379-3 19.67 0.0 \*FW,COLD RSA02080  
 221 080521 0 27 3 0 3.1 0.01246 14.217 0.0 \*FW,COLD RSA02090  
 222 080531 15 0 1 0 0.0 0.759-3 -11.643 5.03942 \*BRK B RSA02100  
 223 080541 16 0 0 0.0 0.759-3 -11.643 7.54642 \*BRK A RSA02110  
 224 080542 32 33 0 0 76.485 .3342 0.0525 12.43 \*RSA02111  
 225 080543 32 4 0 0 76.485 .3342 7.6135 13.63 \*RSA02112  
 226 080441 34 6 0 0 76.485 .3342 8.9605 13.63 \*RSA02113  
 227 080451 34 35 0 0 76.485 .3342 10.3215 12.43 \*RSA02114  
 228 \* RSA02120  
 229 \* FJUNF FJUNI JVERTL JCHDKE JCALC MMIX DIAMU CONCO ICHOKE \*RSA02130  
 230 \* (FT) (CD)  
 231 080012 0.622 0.713 0 0 0 0 0 0 1.0 1 \*RSA02140  
 232 080022 1.165 1. 0 0 0 0 0 0 1.0 1 \*RSA02150  
 233 080032 0.879 0.879 0 0 0 0 0 0 1.0 1 \* RSA02160  
 234 080042 .956 .956 0 0 0 0 0 0 1.0 1 \* RSA02170  
 235 080052 1.055 1.076 0 0 0 0 0 0 1.0 1 \* RSA02180  
 236 080062 1.220 0.532 0 0 0 0 0 0 1.0 1 \* RSA02190  
 237 080072 1.661 1.661 0 0 0 0 0 0 1.0 1 \* RSA02200  
 238 080082 1.45 1.45 0 0 0 0 0 0 1.0 1 \* RSA02220  
 239 080092 1.83 2.40 0 0 0 0 0 0 1.0 1 \* RSA02230  
 240 080102 1.08 0.643 0 0 0 0 0 0 1.0 1 \* RSA02240  
 241 080112 0.74 1.24 1 0 0 0 0 0 1.0 1 \* RSA02250  
 242 080122 2.093 8.815 0 0 0 2 0 0 1.0 1 \* RSA02260  
 243 080132 8.816 7.859 0 0 0 0 0 0 1.0 1 \* RSA02270  
 244 080142 1.75 1.25 1 0 0 0 0 0 1.0 1 \* RSA02280  
 245 080152 1.46 1.97 1 0 0 0 0 0 1.0 1 \* RSA02290  
 246 080162 6.52 6.52 0 0 0 0 0 0 1.0 1 \* RSA02300  
 247 080172 15.26 17.29 0 0 0 0 0 0 1.0 1 \* RSA02310  
 248 080182 1.133 1.158 0 0 0 0 0 0 1.0 1 \* RSA02320  
 249 080192 2.903 2.903 0 0 0 0 0 0 1.0 1 \* RSA02330  
 250 080202 0.059 1.654 0 1 0 0 0 0 1.0 1 \* RSA02340  
 251 080212 0.1 1.64 1 0 0 0 0 0 1.0 1 \* RSA02350  
 252 080222 2.093 8.815 0 0 0 2 0 0 1.0 1 \* RSA02360  
 253 080232 5.674 2.718 0 0 0 0 0 0 1.0 1 \* RSA02370  
 254 080242 1.75 1.25 1 0 0 0 0 0 1.0 1 \* RSA02380  
 255 080252 3.797 4.31 1 0 0 0 0 0 1.0 1 \* RSA02390  
 256 080262 2.883 2.485 0 0 0 0 0 0 1.0 1 \* RSA02400  
 257 080272 6.607 6.632 0 0 0 0 0 0 1.0 1 \* RSA02410  
 258 080282 0.96 0.96 0 0 0 0 0 0 1.0 1 \* RSA02420  
 259 080292 0.069 1.624 0 1 0 0 2 0 0 1.0 1 \* RSA02430  
 260 080302 0.152 0.114 0 0 0 0 0 0 1.0 1 \* RSA02440

261 080312 0.278 0.328 0 0 0 0 0 0.0 1.0 i \*RSA03450  
 262 080322 0.328 0.319 0 0 0 0 0 0.0 1.0 i \*RSA03460  
 263 080332 2.65 2.60 0 0 0 0 0 0.0 1.0 i \*RSA03470  
 264 080342 2.16 1.97 0 0 0 0 0 0.0 1.0 i \*RSA03480  
 265 080352 1.10 0.45 0 0 0 0 0 0.0 1.0 i \*RSA03490  
 266 080362 7.093 8.815 0 0 0 0 0 0.0 1.0 i \*RSA03500  
 267 080372 0.069 1.624 0 1 0 0 0 0.0 1.0 i \*RSA03510  
 268 080382 8.816 7.859 0 0 0 0 0 0.0 1.0 i \*RSA03520  
 269 080392 2.093 8.815 0 0 0 0 0 0.0 1.0 i \*RSA03530  
 270 080402 0.069 1.624 0 1 0 0 0 0.0 1.0 i \*RSA03540  
 271 080412 3.674 2.718 0 0 0 0 0 0.0 1.0 i \*RSA03550  
 272 080462 0.0 0.0 0 0 0 -3 0 0.0 1.0 i \*RSA03560  
 273 080472 0.0 0.0 0 0 0 -3 0 0.0 1.0 i \*RSA03570  
 274 080482 0.0 0.0 0 0 0 -3 0 0.0 1.0 i \*RSA03580  
 275 080492 0.0 0.0 0 0 0 -3 0 0.0 1.0 i \*RSA03590  
 276 080502 35.02 0.0 0 0 1 2 -2 0 0.0 1.0 i \*RSA03600  
 277 080512 2.746 0.0 0 0 1 2 -2 0 0.0 1.0 i \*RSA03610  
 278 080522 0. 0.0 0 0 0 -3 0 0.0 1.0 i \*RSA03620  
 279 080532 0.849 0.0 0 0 1 0 0 0.0 0.57 i \*RSA03630  
 280 080542 ,8715 0.0 0 0 1 0 0 0.0 0.57 i \*RSA03640  
 281 080422 .239 ,239 0 0 0 0 0 0. 1. 1 \* RSA02641  
 282 080432 .239 ,239 0 0 0 0 0 0. 1. 1 \* RSA02642  
 283 080442 .239 ,239 0 0 0 0 0 0. 1. 1 \* RSA02643  
 284 080452 .239 ,239 0 0 0 0 0 0. 1. 1 \* RSA02644  
 285 \*  
 286 \* 180COR SRCOS IADJUN \*  
 287 \*  
 288 080013 0 \* \*  
 289 080023 0 \* \*  
 290 080033 0 \* \*  
 291 080043 1 \* \*  
 292 080053 0 \* \*  
 293 080063 0 \* \*  
 294 080073 0 \* \*  
 295 080083 0 \* \*  
 296 080093 0 \* \*  
 297 080103 0 \* \*  
 298 080113 0 \* \*  
 299 080123 0 \* \*  
 300 080133 0 \* \*  
 301 080143 0 \* \*  
 302 080153 0 \* \*  
 303 080163 0 \* \*  
 304 080173 0 \* \*  
 305 080183 0 \* \*  
 306 080193 0 \* \*  
 307 080203 0 1 \*  
 308 080213 0 \* \*  
 309 080223 0 \* \*  
 310 080233 0 \* \*  
 311 080243 0 \* \*  
 312 080253 0 \* \*  
 313 080263 0 \* \*  
 314 080273 0 \* \*  
 315 080283 0 \* \*  
 316 080293 0 1 \*  
 317 080303 0 \* \*  
 318 080313 0 \* \*  
 319 080323 0 \* \*  
 320 080333 0 \* \*  
 321 080343 0 \* \*  
 322 080353 0 \* \*  
 323 080363 0 \* \*  
 324 080373 0 1 \*  
 325 080383 0 \* \*  
 326 080393 0 \* \*  
 327 080403 0 1 \*  
 328 080413 0 \* \*  
 329 080463 0 \* \*  
 330 080473 0 \* \*  
 331 080483 0 \* \*  
 332 080493 0 \* \*  
 333 080503 0 1 \*  
 334 080513 0 1 \*  
 335 080523 0 1 \*  
 336 080533 0 1 \*  
 337 080543 0 1 \*  
 338 080423 3 \*  
 339 080433 3 \*  
 340 080443 3 \*  
 341 080453 3 \*  
 342 \*  
 343 \*  
 344 \*\*\* DIAL CARDS 082001 THRU 082006, 082011,082012,082020,082021\*\*\* \*RSA03200  
 345 \*\*\* 082030 THRU 082032 \*\*\* \*RSA03210  
 346 \*\*\* ARE NOT USED. \*\*\* \*RSA03220  
 347 \*\*\* \*RSA03230  
 348 \*\*\* PUMP DESCRIPTION \*\*\* \*RSA03240  
 349 \* \*RSA03250  
 350 \* \*RSA03260  
 351 \* IPC ITPMP IRP IPM INT POMGAR PRSAT PFLOW PHEAD PTORKR \*RSA03270  
 352 \* (RPM) (PATLQ) (GPM) (FT) (LBF,FT) \*RSA03280  
 353 090011 3 9 1 1 3600, .972 132, 859.6 21.5 \*RSA03290  
 354 090021 3 10 1 1 3600, .972 132, 859.6 21.5 \*RSA03300  
 355 \* \*RSA03310  
 356 \* \*RSA03320  
 357 \* PINRTA VRHOI TORKF(3) TORKMR TORKF(1) TORKF(2) TORKF(4) \*RSA03330  
 358 \* (LBM,FT2) (LBM,FT3) (LBF,FT) \*RSA03340  
 359 090012 8.65 0, 2.15 \* \*RSA03350  
 360 090022 8.65 0, 2.15 \* \*RSA03360  
 361 \* \*RSA03370  
 362 \*\*\* PUMP HEAD MULTIPLIER \*RSA03380  
 363 \* NPHM PHDM(1), PHDM(2),----- \*RSA03390  
 364 \* (VOID) (NLTPLR) \*RSA03400  
 365 091001 -11 0, .0, .1, .0, .15, .05, .24, .8, .3, .96 \*RSA03420  
 366 091002 .4, .98, .6, .97, .8, .9, .9, .8, .96, .5 \*RSA03430  
 367 091003 1.0, .0 \*RSA03440  
 368 \* \*RSA03450  
 370 \*\*\* PUMP TORQUE MULTIPLIER \*\*\* \*RSA03460  
 371 \* NPTM PTKM(1)-PTKM(2),----- \*RSA03470  
 372 \* (VOID) (MLTPLR) \*RSA03480  
 373 092001 -2 0, 0.0 1.0 0.0 \* NOT USED \*RSA03490  
 375 \* \*RSA03500  
 376 \*\*\* PUMP STOP DATA \*\*\* \*RSA03510  
 377 \* CAVCON FPUMP SPUMP \*RSA03520  
 378 \* (SEC) (RPM) (RPM) \*RSA03530  
 379 \* (SEC) (RPM) (RPM) \*RSA03540  
 380 \* \*RSA03550  
 381 \*\*\* PUMP MOTOR TORQUE \*\*\* \*RSA03560  
 382 \* NTMO PTMO(1), PTMO(2),----- \*RSA03570  
 383 \* (RPM) (TORQUE) \*RSA03580  
 384 \* \*NOT USED\*\*\* \*RSA03590  
 385 \* \*RSA03600  
 386 \* \*RSA03610  
 387 \* \*RSA03620  
 388 \*\*\* PUMP CURVE INPUT INDICATOR \*\*\* \*RSA03630  
 389 \* \*RSA03640  
 390 \* NC(1) NC(2) NC(3) NC(4) \*RSA03650  
 391 100000 0 0 16 0 \*RSA03660  
 392 \* \*RSA03670  
 \* \*RSA03680

393 \*\*\* PUMP HEAD OR TORQUE DATA CARDS \*\*\*  
 394 \*  
 395 \* IT IC N PHEAD(1) OR PTORK(1), PHEAD(2) OR PTORK(2) -----  
 396 103011 1 1 5 0.0 0.92 0.2 0.94 0.4 0.97 \*RSA03690  
 397 103012 0.6 1.0 1.0 1.0 \*RSA03700  
 398 103021 1 2 5 0.0 -0.2 0.25 0.0 0.4 0.12 \*RSA03710  
 399 103022 0.7 0.5 1.0 1.0 \*RSA03720  
 400 103031 1 3 5 -1.0 1.2 -0.8 0.98 -0.6 0.94 \*RSA03730  
 401 103032 -0.3 0.92 0.0 0.92 \*RSA03740  
 402 103041 1 4 5 -1.0 1.2 -0.8 0.7 -0.5 0.33 \*RSA03750  
 403 103042 -0.2 0.16 0.0 0.26 \*RSA03760  
 404 103051 1 5 5 0.0 0.94 0.2 1.06 0.5 1.23 \*RSA03770  
 405 103052 0.7 1.3 1.0 1.45 \*RSA03780  
 406 103061 1 6 5 0.0 .26 .4 .7 .7 \*RSA03790  
 407 103062 0.9 1.1 1.1 1.1 \*RSA03800  
 408 103071 1 7 5 1.0 0.2 -0.8 0.4 -0.5 0.65 \*RSA03810  
 409 103072 -0.2 0.84 0.0 0.94 \*RSA03820  
 410 103081 1 8 5 -1.2 -0.8 -1.1 -1.5 -0.26 \*RSA03830  
 411 103082 -2 -3 0 .2 .54 .5 .67 \*RSA03840  
 412 103091 2 1 5 .0 .46 .2 .54 .5 .67 \*RSA03850  
 413 103092 .8 .86 1. 1. \*RSA03860  
 414 103101 2 2 5 0.0 -0.1 0.2 0.08 0.5 0.34 \*RSA03870  
 415 103102 0.8 0.65 1.0 1.0 \*RSA03880  
 416 103111 2 3 5 -1.0 0.7 -0.8 0.68 -0.5 0.48 \*RSA03890  
 417 103112 -0.3 0.44 0.0 0.46 \*RSA03900  
 418 103121 2 4 5 -1. 7 .7 .45 -.4 .38 \*RSA03910  
 419 103122 -.2 .32 .0 .28 \*RSA03920  
 420 103131 2 5 5 0.0 -0.66 0.2 -0.53 0.6 -0.3 \*RSA03930  
 421 103132 0.8 -0.2 1.0 -0.1 \*RSA03940  
 422 103141 2 6 5 .0 .28 .2 .22 .5 .1 \*RSA03950  
 423 103142 .8 .0 1. -.1 \*RSA03960  
 424 103151 2 7 5 -1.0 -1.4 -0.8 -1.25 -0.5 -1.0 \*RSA04000  
 425 103152 -0.2 -0.8 0.0 -0.66 \*RSA04010  
 426 103161 2 8 5 -1. -1.4 -.6 -.8 -.5 -.66 \*RSA04020  
 427 103162 -.2 -.3 .0 -.1 \*RSA04030  
 428 \*  
 429 \*\*\* VALVE DATA CARDS \*\*\*  
 430 \*  
 431 \* ITCV IACV LATCH PCV CV1 CV2 CV3 \* 0SV TRIP \* RSA04040  
 432 110010 13 0. 0. 0. 0. 0. \* MSL BEFORE BREAK \* RSA04050  
 433 110020 12 0. 0. 0. 0. 0. \* J 34 \* RSA04060  
 434 110030 -14 0. 0. 0. 0. 0. \* J 35 \* RSA04070  
 435 110040 -14 0. 0. 0. 0. 0. \* RSA04080  
 436 \*  
 437 \*\*\* LEAK TABLE CARDS \*\*\*  
 438 \* NAREA SINK TAREAK(1),TAREAK(2),---- \* RSA04130  
 439 \* ITLEAK (PSIA) \* RSA04140  
 440 \* 120100 -3 2 14.7 0. 0. -1 1, 2000, 1, \* BREAK \* RSA04150  
 441 120200 -2 12 14.7 0. 0. 2000, 0, \* RSA04160  
 442 120300 -2 8 14.7 0. 0. 2000, 0, \* RSA04170  
 443 \* RSA04180  
 444 \* RSA04190  
 445 \*\*\* FILL TABLE DATA \*\*\*  
 446 \*  
 447 \* NFILL ITFILL IX IY PORX TEMP \* RSA04200  
 448 \* RSA04210  
 449 130100 -13 6 0 1 57.35 50, \*HPCS RSA04220  
 450 130200 -9 7 0 1 57.35 50, \*LPC1 RSA04230  
 451 130300 -8 7 0 1 57.35 50, \*FW+COLD RSA04240  
 452 130400 -11 3 0 1 1087.8 401, \*FW+HOT RSA04250  
 453 130500 -10 4 0 0 1.0 555.2 \*FSL RSA04260  
 454 \* RSA04270  
 455 \* FILTBL(1),FILTBL(2),---- \* RSA04280  
 456 \* RSA04290  
 457 130101 0.0 0.0 27.6 0.0 28, 668, 29, 1253, 30, 1313, \* RSA04300  
 458 130102 40, 1346, 66.1, 1381, 66.4, 1790, 68, 2385, \*HPC5+LPC5 RSA04310  
 459 130103 80, 2480, 103, 2671, 130, 2741, 99, 2831, \* RSA04320  
 460 130201 0, 0, 19.3, 0, 80, 1398, 81, 1992, 82, 2074, \*LPC1 RSA04330  
 461 130202 105, 2553, 120, 2719, 160, 2936, 560, 2808, \*LPC1 RSA04340  
 462 130203 0, 0, 1463, 1, 1444, 1, 1001, 1, 7, 346, 4, 218, \*FW+COLD RSA04350  
 463 130204 10, 33, 14, 0, 599, 0, \* RSA04360  
 464 130401 0, 0, 16, 0, 1, 2544, 1.2 3403, 1.4 3674, \*FW+HOT RSA04370  
 465 130402 2.6 3196, 3, 2640, 3.4 954, 3.8 302, 4.7 0, \* RSA04380  
 466 130403 999, 0, RSA04390  
 467 130501 0, -784, 1.2 -809, 1.5 -918, 1.9 -1631, 5, -1631, \* RSA04400  
 468 130502 5.3 -809, 6, -211, 6.4 -16, \* RSA04410  
 469 130503 6.7 0, 999, 0, \*MSL RSA04420  
 470 \* RSA04430  
 471 \*\*\* KINETIC CONSTANTS \*\*\*  
 472 \*  
 473 \* NODEL KMUL BOVL RHOIN UDUF PROMPT LAMBDA TAU \* RSA04440  
 474 \* RSA04450  
 475 140000 0 0, 0, \* RSA04460  
 476 \* RSA04470  
 477 \* RSA04480  
 478 \* RSA04490  
 479 \*\*\* SCRAM TABLE \*\*\*  
 480 \*  
 481 \* NSCR ITSCR \* RSA04500  
 482 \*  
 483 141000 -14 2 0, 1, 13, 1, 14, 926 16, 838 18, 693 \*RUNTO\*RS04540  
 484 141001 20, .594 22, .503 24, .423 25, .297 32, .204 \* RSA04550  
 485 141002 36, .135 36.7 125 80, .109 200, .09 \* RSA04560  
 486 \*  
 487 \*\*\* DENSITY REACTIVITY, DOPPLER TABLE, REACTIVITY COEFF, \* RSA04610  
 488 \*\*\* 1420XX+1430XX+140XXX ARE NOT USED, \* RSA04620  
 489 \* RSA04630  
 490 \* RSA04640  
 491 \* RSA04650  
 492 \* IVSL IGM0 IML0 IMCR AHTL AHTR VOLS HDML HDMR \* RSA04660  
 493 \* IVSR ISR ISB IMCL (FT2) (FT2) (FT3) (FT) (FT) \* RSA04670  
 494 150011 0 1 14 0 0.0 44.5 0.365 0.0 0.02740 \* RSA04680  
 495 150021 0 2 14 0 0.0 64.97 0.5330 0.0 0.02740 \* RSA04690  
 496 150031 0 3 13 0 0.0 24.45 0.2614 0.0 0. \* RSA04700  
 497 150041 0 4 1 0 0.0 200, 2.058 0.0 0.0, \* RSA04710  
 498 150051 0 10 8 0 0.0 22.01 0.2194 0.0 0.0 \* RSA04720  
 499 150061 4 10 8 0 1E-13 1E-13 1E-15 0.0 0.0 \* RSA04730  
 500 150071 10 28 11 0 3.362 3.362 0.372 0.0 0.0 \* RSA04740  
 501 150081 5 28 11 0 14.71 14.51 0.262 0.0 0.0 \* RSA04750  
 502 150091 6 27 15 0 2.527 2.340 0.1163 0.0 0.0 \* RSA04760  
 503 150101 6 29 2 0 4.780 5.058 0.09685 0.0 0.0 \* RSA04770  
 504 150111 0 8 9 0 0.0 12,139 5.378 0.0 0.0 \* RSA04780  
 505 150121 0 7 9 0 0.0 29,271 5.698 0.0 0.0 \* RSA04790  
 506 150131 0 1 6 0 0.0 4.17 14.14 0.0 0.0 \* RSA04800  
 507 150141 0 14 18 0 0.0 11.08 0.2450 0.0 0.0 \* RSA04810  
 508 150151 9 1 19 0 9,887 8,877 0.4190 0.0 0.0 \* RSA04820  
 509 150161 11 9 7 0 19.07 14,314 0.13 0.0 0.0 \* RSA04830  
 510 150171 9 2 2 0 11.24 10,82 0.471 0.0 0.0 \* RSA04840  
 511 150181 10 11 10 0 27.8 31.23 4.47 0.0 0.0 \* RSA04850  
 512 150191 3 10 8 0 5,119 5,118 0.0139 0.0 0.0 \* RSA04860  
 513 150201 11 11 0 0.0 52.16 7.4 0.0 0.0 \* RSA04870  
 514 150211 0 12 4 0 0.0 5.08 0.115 0.0 0.2 \* RSA04880  
 515 150221 0 8 3 0 0.0 3.21 0.083 0.0 0.162 \* RSA04890  
 516 150231 0 14 5 0 0.0 11.4 0.292 0.0 0.243 \* RSA04900  
 517 150241 0 15 2 0 0.0 10,741 0.217 0.0 0.162 \* RSA04910  
 518 150251 0 16 2 0 0.0 16,257 0.329 0.0 0.162 \* RSA04920  
 519 150261 0 17 20 0 0.0 1,052 0.400 0.0 0.239 \* RSA04930  
 520 150271 0 18 3 0 0.0 5,496 0.192 0.0 0.162 \* RSA04940  
 521 150281 0 19 3 0 0.0 12,61 0.253 0.0 0.16 \* RSA04950  
 522 150291 0 20 4 0 0.0 5,017 1.13 0.0 0.2 \* RSA04960  
 523 150301 0 21 3 0 0.0 3.39 0.087 0.0 0.162 \* RSA04970  
 524 150311 0 22 5 0 0.0 11.0 0.283 0.0 0.243 \* RSA04980

